

anexă

534.505

ANEXA.1. STUDII SPECIFICE PENETRARII DINAMICE CU CON

335 G

1.1. PRINCIPIUL METODEI, A PARATURA SI TEHNOLOGIA DE EXECUTIE A SONDAJELOR DE PENETRARE DINAMICA CU CON

1.1.1. Prinzipiul metodei și domeniul de utilizare

Încercarea de penetrare dinamică cu con, denumită astfel pentru a o deosebi de penetrarea dinamică standard, constă în introducerea în teren a unei sonde prevăzută la partea inferioară cu un vîrf conic, sub efectul lucrului mecanic dezvoltat de un berbec în cădere. Pe parcursul încercării se înregistrează numărul de lovitură "Nz" necesar înfierberii conului pe o adâncime constantă "Z" de 10 sau 20 cm.

Datorită simplicității execuției și a varietății mari de echipament folosit, metoda s-a utilizat în ultimii 50 de ani pe tot cuprinsul globului pentru investigarea preliminară și finală a terenului de fundare și pentru urmărirea comportării în timp a acestuia.

Datorită varietății mai mari a aparatelor folosite, utilizarea experienței dobândite în diverse țări, în domeniul aplicării metodii și a prelucrării rezultatelor, este destul de dificilă, mai ales în ceea ce privește interpretarea cantitativă. La cel de al III-lea Simpozion European de cercetare a terenului prin penetrare (Amsterdam 1982), s-a luat decizia de a se forma un comitet tehnic al I.S.S.M.F.E. însărcinat de a se prezenta la cel de al II-lea Congres de Mecanică pămînturilor și procedee de fundare (San Francisco, 1985). Un proiect de standard internațional pentru încercarea de penetrare dinamică cu con, după ce în prealabil în 1977, subcomitetul european al încercării de penetrare a publicat recomandări pentru un standard european, completat în 1981 cu recomandări pentru penetrometrul ușor [122] ; [123].

Grupul însărcinat cu probleme de penetrare dinamică consideră că un standard rigid și însemnat pierderea experienței și a cunoștințelor cîștigate la nivel național și internațional în decursul ultimilor 50 de ani, pe lîngă consecințe economice negative, dar consideră în același timp, ca fiind un pas necesar și folositor pentru o mai bună comunicare a informațiilor, o mai bună înțelegere a diferențelor față de procedeele de încercare curente și o mai bună corelare a activității în diverse țări.

[43].

1.1.2. Aparatură utilizată pe plan mondial

Tinând seama de răspândirea metodei penetrării dinamice cu con, nu este surprinzătoare varietatea considerabilă a echipamentelor utilizate. Ele sunt dependente de parametrii principali (masa berbec, înălțime de cădere, diametru con), și de unele elemente constructive care vizează modul de antrenare a berbecului, de înregistrare a numărului de lovitură pentru înaintarea conului pe adâncime constantă "Z", eliminarea frecării prin manta de protecție etc. [113 ; 124].

Parametrul cel mai important al penetrometrelor dinamice fiind lucrul mecanic dezvoltat de berbec, care implicit depinde de masa acestuia, clasificarea penetrometrelor, stabilită de Comitetul Tehnic al I.S.S.M.F.E., este prezentată în tabelul 1.1. [127]

Tabelul 1.1. Clasificarea penetrometrelor dinamice cu con

Tipul penetrometrului	Simbol	Masa berbec - kg -
ușor	PDU(DPL)	$m \leq 10$
mijlociu	PDM(DPM)	$10 < m \leq 40$
greu	DPG(DPH)	$40 < m \leq 60$
supergreu	PDSG(DPSH)	$m > 60$

NOTA: Simbolul din paranteză este cel utilizat de Comitetul Tehnic I.S.S.M.F.E.

Penetrometrele dinamice ușoare sunt acționate de regulă manual, iar cele mijlocii, grele și supergrele sunt prevăzute, în majoritatea cazurilor, cu acționare mecanică a berbecului. [127 ; 28]

Penetrometrele dinamice cu con, fără manta de protecție sunt cele mai răspîndite, întrucât prezintă avantaje datorită simplității tehnologiei de execuție a sondajului și costul redus, dar reclamă multă atenție la prelucrarea rezultatelor, frecarea pe coloana de tije ducând la creșterea artificială a rezistenței de penetrare. De menționat ca în R.S. România nu sunt asemenea penetrometre care sugerează autorului abandonarea acestui aspect. În Canada și S.U.A. se utilizează penetrometre cu con pierdut pentru ușurarea recuperării coloanei de tije, operație dificilă în cazul sondajelor de adâncime efectuate cu penetrometrele clasice - cu con fix [28].

Din analiza datelor cuprinse în tabelul (1.2.) întocmit pe baza chestionarului lansat de Comitetul Tehnic al I.S.S.M.F.E. rezultă că parametrii penetrometrelor ușoare și grele utilizate în diverse țări sunt apropiati, majoritatea respectând îndeaproape

prescripțiile.

Tabel 1.2. Sinteză sumară a răspunsurilor la chestionarul
Comitetului Tehnic al I.S.S.M.F.E. [122]

Tara	Penetrometre utilizate				Recoman-	Dimensiuniile co-	Dimens.			Masa	Inăl-
	BPL	DPM	DPH	DPSR			tate	D	D	Lun-	ber-
	DPU	PDM	PDG	PDSG	de	metru și grade	in	ex-	ter-	ter-	de-
Belgia	x	-	-	-	-	22,5 25,2 35,1	60°	0	20	1,0	10,0
Cehoslovaquia	x	-	-	-	DIN4094 DIN4094	35,7 43,7	90 90	6	22 32	1,0 2,0	10,0 50,0
Danemarca	-	-	-	x	DPB*	51,0	90	-	32	1,0 2,0	63,5
Finlanda	x	-	-	-	BPL* Standard final	35,7 45,0	90 90	-	22 32	1,0	10,0
Franta	-	x	-	x	-	62,0	90	-	40	1,0 96; 120	32; 64
R.F.G.	-	x	-	x	-	10,0	90	-	40	1,0 90	30,; 60
	-	-	-	x	-	45,0	90	-	32	1,0	63,5
	-	-	-	-	-	35,7	90	-	22	1,0	30,0
	-	-	x	x	-	43,7	90	-	32	1,0	50-100
Grecia	-	-	-	-	DIN4094 DIN4094	25,2 35,7 35,7 43,7	90 90 90 90	6	22 32 32 32	1,0 1,0 2,0	10,0
Norvegia	-	-	-	x	DPB*	51,0	90	-	32	1,0 2,0	63,5
Africa de Sud	x	-	-	x	-	20,0 50,0	60 60	-	15 29	1,0 1,5	8,0
Spania	x	-	-	x	BPL* - 40x 40 645 DPA/DPB*	35,7 40x 40 62/51	90 90 90 90	-	22 32 40 45	1,0 1,0 1,0 1,0	10,0 63,5
Suedia	-	-	-	x	MFA* DPB*	45,0 51,0	90 90	-	32 32	1,0 2,0	63,5
Elveția	-	x	-	-	-	35,7	30 90	-	22 25	1,2	30; 20
	-	-	x	-	-	43,7	30 90	15	32	1,2	50
	-	-	-	x	-	62,5; 60,0	90 90	26	42 38	1,5 2,0	63,0 60,0
	-	-	-	-	-	-	-	-	-	-	76; 50

*) recomandările standardului european

**Tabelul 1.3. Caracteristicile penetrometrelor dinamice
Recomandări ale standardului Internațional**

Caracteristici	Tipul penetrometrului			
	DPL(PDU)	DPM(PDM)	DPH(PDG)	DPSH(PDSG)
-masa berbecului,kg	10±0,1	30±0,3	50±0,5	63±0,5
-înălțimea de cădere,m	0,5±0,01	0,5±0,01	0,5±0,01	0,75±0,02
-masa nicovalei și a tijei de ghidaj kg	6	18	18	30
-reculul maxim %	50	50	50	50
-raportul dintre înălțimea și diametrul berbecului (D)	>1 < 2	>1 < 2	>1 < 2	>1 < 2
-diametrul nicovalei (d) mm	100 < d < 0,5	100 < d < 0,5	100 < d < 0,5	100 < d < 0,5D
-lungimea tijei,m	1±0,1 %	11-2+ +0,1%	1-2+ +0,1%	1-2±0,1 %
-masa maximă a tijiei kg/m	3	6	6	8
-deviația tijiei(max) pe primii 5 m %	0,4	0,4	0,4	0,4
-deviația tijiei(max) sub adinc.de 50 m	0,8	0,8	0,8	0,8
-excentricitatea tijiei max. mm	0,2	0,2	0,2	0,2
-diametrul exterior al tijiei, mm	22±0,2	32±0,3	32±0,3	32±0,2
-diametrul interior al tijiei, mm	6±0,2	9±0,2	9±0,2	-
-unghiul la virf, grade	90	90	90	90
-supraf.conului cmp	10	10	15	20
-diam.conului,mm	35,7±0,3	35,7±0,3	43,7±0,3	59,5±0,5
-diam.minim al conului uzat,mm	34	34	42	49
-lungimea părții verticale a conului,mm	35,7±1	35,7±1	43,7±1	50,5±2
-unghiul de teșire a părții super.a conului,grade	11,9±0,1	11,9±0,1	11,9±0,1	11,9±0,4
-lungimea conului tip,mm	17,9±0,1	21,0±0,1	25,3±0,1	-
-lungimea maximă a uzurii con.tip.,mm	3	3	4	5
-nr.de lovituri pe fiec.con.penetrat,cm	locm; Nlo	locm; Nlo	locm; Nlo	locm; Nlo
-intervalul standard de lovituri	3-50	3-50	3-50	5-50
-lucrul mecanic specific pe lov.kg/mp	50	150	167	238

Tabelul.14. Sinteză utilizării penetrării dinamice în alte țări (în baza lucrărilor prezentate la ESCOPT 1 și 2).

Nr. crt.	T a r a	Tipul penetrometrului			
		DPL(PDU)	DPM(PDM)	DPH(DPG)	DPSH(PDSG)
1.	Algeria	x	x	-	x
2.	Benin	x	x	-	-
3.	Burundi	-	x	-	-
4.	Camerun	x	-	-	-
5.	Repubica Centralăfricană	x	-	--	--
6.	Gabon	x	-	-	--
7.	Guineea	x	-	--	-
8.	India	x	-	-	x
9.	Coasta de Fildeș	-x	-	-	-
10.	Japonia	-	-	-	x
11.	Madagascar	x	-	-	-
12.	Mali	x	x	-	-
13.	Maroc	x	x	-	x
14.	Martinica	x	x	-	-
15.	Noua Caledonie	-	x	-	x
16.	Nigeria	-	x	-	x
17.	România	x	x	x	-
18.	Tunisia	-	x	-	--
19.	Turcia	-	-	-	x
20.	Anglia și teritoriile aferente	x	-	-	-
21.	Volta Superioară	x	-	-	--
22.	Zair	x	-	-	-

standardului german DIN 4094 [124].

In schimb parametrii penetrometrelor mijlocii și supergrele variază între limite destul de largi, unele având masa berbecului și/sau finalitatea de cădere identică cu ale penetrometrului dinamic standard.

Unul din obiectivele vizate de recomandările standardului internațional este uniformizarea principalilor parametri ai

celor patru tipuri de penetrometre (tabelul 1.3.) a călașăi în așa fel încit să se apropie de cele ale echipamentelor utilizate în mod frecvent în plan mondial [122].

Tabelul 1.5. Sinteză utilizării standardizării și interpretarea penetrării

Tara	Penetrometrul utilizat					Recomandare sau standard	Caracteristici geotehnice			Capacitatea portantă	
	DPL DPU	DPM PDM	DPH PDG	EPSH PDSG	Calitatea		pământ.	pămînt.	coezive	Te-ren	Pi-loți
Belgia	x	-	x	-	x	-x-	x	x	x	x	-
Bulgaria	-	x	x	x	x	-	x	x	x	x	x
Cehoslovacia	x	x	x	-	x	-	x	x	-	x	x
Danemarca	x	-	x	x	x	-	x	-	-	-	x
Finlanda	x	-	-	x	x	-	x	x	-	x	-
Franta	-	x	x	x	-	-	x	x	x	-	x
P.R.G.	x	x	x	x	x	-	x	x	x	-	-
R.E.G.	x	-	x	x	-	-	x	x	x	-	-
Grecia	x	-	x	-	x	-	x	x	x	-	-
Ungaria	-	-	x	-	-x-	-	x	x	-	x	-
Italia	x	-	-	x	-	-	x	x	-	x	-
Norvegia	-	-	-	x	x	-	x	-	-	-	x
Polonia	x	-	-	x	-x	-	x	x	x	-	-
Portugalia	x	-	-	-	-	-	x	-	-	-	-
Africa de Sud	-x	-	-	x	-	-	x	x	x	x	x
Spania	x	-	-	x	-x-	-	x	x	x	x	x
Elveția	x	x	x	x	-	-	x	x	x	x	x
Anglia	-	-	-	x	-	-	x	x	-	-	-
U.R.S.S.	-	x	-	x	x	-	x	x	-	x	x
Suedia	-	-	-	x	-x-	-	x	x	-	x	x

Din datele prezentate în tabelul (1.2.) cu cele cuprinse în (tabelele 1.4. și 1.5.) ; întocmite de Comitetul Tehnic în baza chestionarului și a lucrărilor prezentate la cele două Simpozioane europene (Stockholm, 1974 și Amsterdam, 1982) rezultă că cele mai

utilizate penetrometre sint cele usoare si supergrele si ca in majoritatea tariilor cercetarea este efectuată in baza standardelor proprii ori străine sau in baza recomandărilor standardului european [122 ; 123].

Aparatura utilizată în R.S.România, produsă de I.M.E.C. București, are la bază în mare parte proiectele elaborate în cadrul unor contracte de cercetare utilizate de colectivul de fundații de la I.P.T.V.Timișoara și ICCPDC - Filiala Timișoara. Ea este prezentată în "Instrucțiunile privind cercetarea terenurilor prin sondajele de penetrare dinamică cu con" C 176-84 [127] instrucțiuni elaborate de același colectiv, având caracteristicile prezentate în tabelul 1.6.

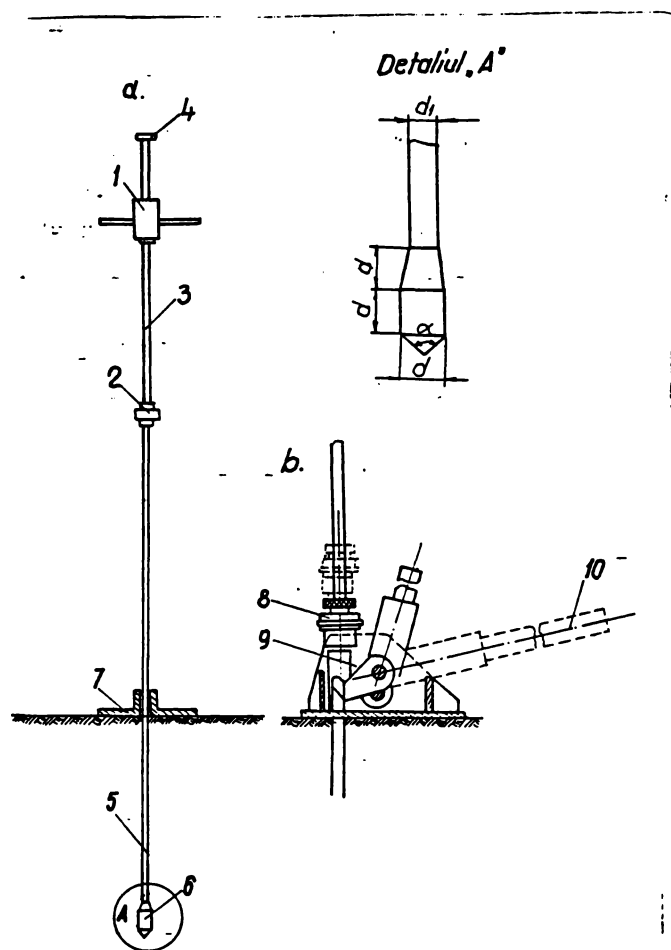
Tabelul 1.6. Principalele caracteristici ale penetrometrelor dinamice cu con folosite în R.S.România

Tipul penetrometrului	Simbol	Conul			Tijs Diam. d.l. [mm]	Berbecul	
		Diam. d [mm]	Secț. A [cm ²]	Unghi la vîrf [grade]		Masa M.l. [kg]	Inalț. de cădere h(cm)
ușor	PDU	35,6	10	90	22	10	50
mijlociu	PDM	43,7	15	90	32	35	50
greu	PDG	43,7	15	90	32	50	50

În (fig.1.1 și 1.2) sunt prezentate penetrometrul dinamic ușor cu acționare manuală și penetrometrul mijlociu și greu cu acționare mecanică echipat cu motor termic sau electric în funcție de posibilitățile existente pe amplasamentul cercetat, aparatul fiind prezentat cu instalație electrică de înregistrare a numărului de lovitură.

La ora actuală în R.S.România o serie de unități de proiectare și execuție au în dotare P.D.U. cu acțiune manuală utilizare în special pentru testarea calității lucrărilor de îmbunătățire ale terenurilor slabă de fundare, lucrări care reclamă cercetarea terenului pe adâncimi relativ reduse (max. 6-8 m), atinse ușor cu acest tip de penetrometru.

Penetrometrele mijlocii și grele sunt mai puțin utilizate, deși ele sunt foarte utile pentru studiul condițiilor de fundare pe amplasamente pe care predomină pământurile necoezive atât pentru evaluarea unor caracteristici geotekhnice ale terenului cît și pentru stabilirea potențialului de lichefiere.



-1.1. -Penetrometr dinamic ușor

1. berbec ; 2-nicovală ; 3.tija de ghidaj ;
4.limitator de cursă ; 5-tijă ; 6.con de penetrare
7. placă de bază ; 8.dispozitiv de prindere ;
9. braț ; 10. pîrghie

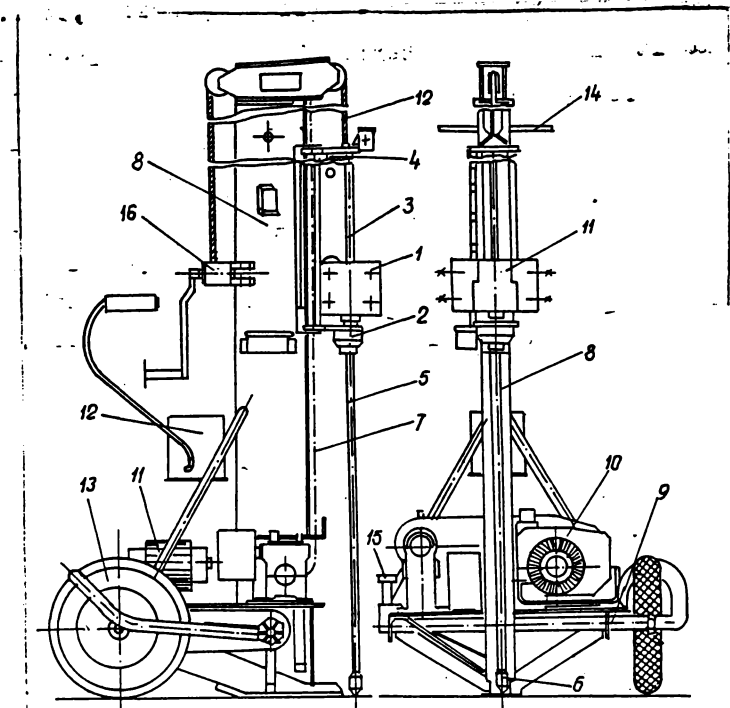


Fig.1.2. Penetrometru dinamic mijlociu și greu cu actionare mecanică

- 1.Berbec ; 2.Nicovală cu dispozitiv de fixare ;
- 2.Tija de ghidaj ; 4.Folă declanșare ; 5.Tijă;
- 6.Con de penetrare ; 7.Lanț de antrenare berbec
- 8.Catarg de ghidare cu talpă ; 9.Talpă de rezemare, lo Motor termic, 11.Motor electric, 12.
- instalația electrică de comandă și numărare lovitură, 13.Roți cu camera de aer, 14.Mînere, 15.Rozete pentru calare, 16.Troliu manual, 17.Cablu ridicare

1.1.3. Tehnologia de executie a sondajelor de penetrare

In general incercarea incepe de la suprafața terenului și mai rar de la talpa săpăturii sau de la pardoseala subsolului în funcție de scopul pentru care se execută cercetarea (prospectare, verificarea terenului de fundare în groapa de fundație sau în subsolul unei construcții existente). Incercarea se poate executa și în gaură de foraj.

Efectuarea unui sondaj de penetrare dinamică cu con comportă următoarele operațiuni:

Pregătirea încercării de penetrare dinamică cu con constă în nivelarea suprafeței terenului, așezarea aparatului în poziție de lucru, montarea primei tije și asigurarea verticalității acestuia.

Pentru asigurarea verticalității pe primii 0,50 ... 1,0 m se aplică lovitură ușoare cu berbecul de la înălțimea de 20-25 cm. În continuarea infigerea coloanei de tije se face lăsind să cadă berbecul de la înălțimea prevăzută prin construcția aparatului.

Efectuarea încercării propriu-zise constă în aplicarea loviturilor cu frecvență de 15-30 lov/min. asupra tijelor, prin căderea liberă a berbecului de la înălțimea constantă și înregistrarea numărului de lovitură pentru înaintarea conului penetrometrului cu 10 sau 20 cm; Se poate înregistra și adâncimea de infiagere sub un număr constant de lovitură (căzături ale berbecului)

Pe măsura infigerii, coloana de tije se prelungesc prin introducerea unui tronson de tije între nocovală și coloana infiptă în teren.

Extragerea echipamentului de sondare constă în recuperarea coloanei de tije cu ajutorul unui extractor de regulă manual și mai rare mecanic.

Tehnologia este lucru pentru penetrometrele dinamice utilizate în T.S.R. sunt descrise în instrucțiunile tehnice 0176-84 [50] și anume :

- desfacerea legăturii dintre ultima tijă infiptă în teren și nocovala penetrometrului ;
- îndepărțarea penetrometrului ;
- extragerea din teren a coloanei de tije a penetrometrului cu ajutorul extractorului (fig.1.1.)
- demontarea tijelor pe măsura extragerii lor din teren
- curățirea și conservarea tijelor (în special a filetelor de imbinare)

Volumul lucrărilor de cercetare a terenului prin penetrare dinamică cu con depinde de scopul urmărit, în sensul posibilității de utilizare a metodei pentru cercetare, a terenului de fundare sau testarea unor lucrări de consolidare a terenurilor slabe de fundare.

Inregistrarea rezultatelor. Rezultatele încercării de penetrare dinamică cu con (numărul de lovitură "Nz" necesar pentru parcurgerea unei adâncimi "z" de către conul de penetrare) se vor înregistra în fișă de înregistrare.

Pe baza datelor inscrise în fișă se întocmește diagrama de penetrare în care pe abscisa se trasează numărul de lovitură "Nz" pentru infiagerea conului cu adâncimea "z" (lo cm), iar pe ordonată adâncimea în metri.

In primul caz, volumul încercărilor depinde de amplitudinea și natura construcțiilor, de natura terenului de fundare și de gradul de cunoaștere ale acestuia prin studii anterioare sau prin procedee de investigație clasice (foraje, puțuri, sănături) sau de cercetare "în situ".

1.1.4. Prelucrarea și interpretarea rezultatelor

Cu datele "Nz" înregistrate, la efectuarea sondajului, de penetrare dinamică cu con, se trasează diagrama de penetrare și

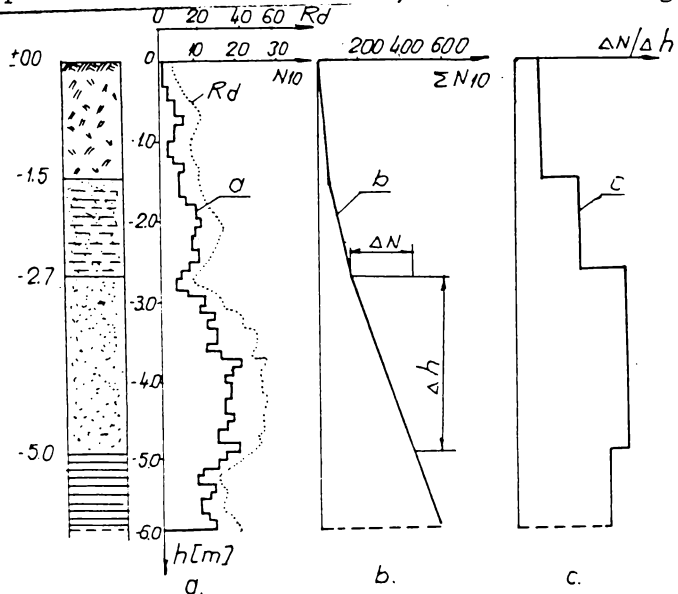


Fig.1.3. - Diagramme de penetrare

- a) - diagrama de penetrare dinamică cu con și variația pă rezistenței dinamice calculate ; b)-diagrama integrală ; c)-diagrama diferențială

sub o lovitură a berbecului se determină rezistența la penetrare dinamică cu con, R_d , care reprezintă rezistență opusă de teren la înaintarea conului de penetrare sub acțiunea lucrului mecanic, constant realizat prin cădere berbecului. Se calculează cu relația :

$$R_d = \frac{1}{A} \frac{G_1^2 \cdot h}{\pi (G_1 + G_2)} \text{ daN/cm}^2 \quad (1.1.)$$

în care : G_1 - este greutatea berbecului (daN);

G_2 - greutatea tijelor (inclusiv nicovală, tija de ghidaj și con) la adâncimea respectivă (daN);

A - aria secțiunii transversale a conului (cm^2);

se calculează rezistența dinamică R_p [127], cărei diagrame de variație se poate reprezenta prin suprapunere peste diagrama de penetrare (fig.1.3.a)

De asemenea la stabilirea diferențelor orizonturi litologice, sunt de mare folos diagrame integrale (fig.1.3.b) sau diferențiale (fig.1.3.c.)

În funcție de pătrunderea penetrometrului

h = înălțimea de cădere a berbecului (cm);

e = pătrunderea conului pentru o singură lovitură (cm).

Diagrama de penetrare corelată cu diagrama etalon construită pe baza sondei juluie de penetrare dinamică din vecinătatea forajului de referință, oferă o serie de elemente calitative asupra amplasamentului cercetat. Astfel, rezultatele se utilizează la:

- extrapolarea identificării litologice făcute prin sondaj;

- verificarea uniformității litologice pe suprafață unui amplasament;

- repararea diferențelor orizontului litologic;

- rezultatele sondajelor de penetrare se pot utiliza și pentru:

- verificarea compactării depozitelor naturale și artificiale pe baza unor diagrame etalon obținute în condiții controlate;

- testarea calității lucrărilor de îmbunătățire ale terenurilor slabe de fundare;

- aprecierea potențialului de lichefiere ale nisipurilor;

- identificarea pământurilor sensibile la umedezi;

- evaluarea capacitații portante a pilotilor în corelație cu capacitatea determinată prin încercări de probă.

Prelucrarea datelor obținute prin penetrarea dinamică cu care se face ținând seama de factorii care influențează rezultatele încercării.

În cazul în care prelucrarea calitativă se reducă la comparația diagramei de penetrare cu diagrama etalon, nu este necesar să se lucreze cu valori corelate.

Pentru aprecierea caracteristicilor geoteknice (I_p , I_c , E, ϕ etc) se utilizează corelații stabilite prin prelucrări statistice.

În ideea sporirii volumului informațiilor oferite de sondajele de penetrare dinamică cu foarte avantajosă din punct de vedere tehnici și economic și a creșterii preciziei acestora, se consideră necesară continuarea cercetărilor pentru stabilirea unor corelații specifice încercării, sau a unor corelații cu alte metode de cercetare "la față locului" (penetrarea statică, penetrarea dinamică standard, încercarea radiometrică, etc) care permit prelucrarea datelor pe baza relațiilor existente pentru aceste încercări, precum și unele cercetări experimentale cu privire la penetrarea dinamică făcută prin protejarea tijei cu manta.

1.1.5. Tendințe actuale de perfecționare a aparaturii

Rezistența de penetrare se exprimă prin " N_z " poate fi influențată de o serie de factori legați de echipament și pro-

cedeul de execuție, precum și factorii dependenti de condițiile litologice de pe amplasament. În prima categorie a factorilor sus amintiți se înscriv :

- deformarea coloanei de tije ;
- frecarea pe coloana de tije ;
- frecvența de batere ;
- intreruperile în batere ;
- aplicarea energiei de batere.

Perfecționarea aparaturii de penetrare dinamică cu con și implicit a tehnologiei de execuție a montajului de penetrare constituie o preocupare veche a unor colective de specialiști de la diverse unități din RSR (INCERC, IPRCTIM, ISPIF București, ICB, I.P.Timișoara, ICPIAUC București, IMEC etc). De către în anii cincizeci a existat doar PDU realizat prin autodotare, la ora actuală IMEC execută cele trei tipuri, PDU, PDL și PDG, căror caracteristici indicate în CL76-1984 sunt aproape identice cu cele din recomandările standardului internațional (diferă doar de masa berbecului la PDM - vezi tabelul 1.3.)

De asemenea există preocupare pentru realizarea unui PDSG utilizabil și în varianta PLG prin modificarea masei berbecului.

Realizarea în 1978 a PLG și PDG cu acționare mecanică (fig. 1.2.) dotat cu instalație electrică de numărare a dus la reducerea substanțială a unor factori de influență dependenți de utilaj. Astfel, catargul menține verticalitatea tijelor, este asigurată valoarea constantă a energiei de batere berbecul fiind declanșat numai la atingerea finalității prestate și este asigurată frecvența constantă a loviturilor. De asemenea este evitată eroarea la înregistrarea numărului de lovituri "Nz".

In ultimul timp există preocupări (ICCPDC - Filiala Timișoara și pentru sporirea preciziei măsurătorilor la penetrarea dinamică cu con, respectiv înălțarea subiectivismului, prin folosirea unor echipamente electronice, care înregistrează automat sub formă de diagramă, numărul de lovituri pe fiecare treaptă discretizată "z" de adâncime, cu mărime prestată, precum și lucrul mecanic consumat pentru înfigerea conului de penetrare pe aceeași adâncime.

1.2. CERCETARI CU PRIVIRE LA FUNDAMENTAREA TEORETICA A SONDAJULUI DE PENETRARE

1.2.1. Studii cu privire la suprafetele de rupere a terenului

Pînă în prezent nu s-a găsit o rezolvare teoretică atotcuprinzătoare cu privire la starea de efort și deformație produsă în teren prin introducerea penetrometrului cu vîrf conic, aceasta datorindu-se naturii complexe a fenomenelor.

Pentru simplificare, mulți cercetători au propus să se considere solicitarea de compresiune pură, fără să se țină seama de aporțul refulării laterale, însă se obține rezistența de penetrare pe con mai ridicate decât în situația reală care corespunde combinației presiune-refulare ce necesită o energie minimă de pătrundere a conului.

În pămînturile necoezive are loc comprimarea (îndesarea) terenului urmată de ruperea acestuia. În funcție de starea de îndesare predomină un fenomen sau altul. La pămînturile afinate se produce comprimarea puternică înainte de apariția ruperii spre deosebire de pămînturile îndesate la care se atinge repede stadiul de rupere pe lîngă comprimarea relativ redusă a acestuia. La pămînturile foarte îndesate apare o reașezare a granulelor explicabilă numai prin sfârîmarea acestora.

În ultima instanță, rezultă că rezistența de penetrare pe vîrf depinde de rezistența la forfecare și de compresibilitatea terenului, care și ele depind în cazul nisipurilor de starea de îndesare, expusă de regulă prin gradul de îndesare (I_D).

La penetrometrele fără manta de protecție frecarea pe tijă poate influența mărimea rezistenței de penetrare. Influența frecării se face puțin simțită deasupra nivelului apei subterane ca urmare a diametrului sporit al vîrfului față de tijă, astfel că pereții găurii nu se prăbușesc, fenomen bazat pe încleștarea granulelor și a coeziunii aparente, fiind mult mai pronunțată în nisipuri sub nivelul apelor.

În pămînturile coeziive, atât timp cât acestea nu sunt saturate, fenomenele sunt similare. În cazul cînd sunt saturate, situația foarte des întîlnită, atunci datorită vitezei mari de penetrare rezultate sunt influențate de apa din porii care din cauza permeabilității reduse nu se scurge destul de repede. Apar astfel presiuni suplimentare în apa din porii care împiedică comprimarea respectiv creșterea rezistenței la forfecare a terenului. Odată procesul de îndesare consumat, terenul devine practic incompreșabil pe o anumită porțiune avînd forme unui bulb în jurul vîrfului, iar în continuare pe măsură ce crește încărcarea statică sau dinamică, se intră în stadiul de rupere, însoțit exclusiv de deformații plastice în interiorul bulbului. În această situație

rezistența la vîrf (statică sau dinamică) corespunde chiar cu presiunea critică sub care se produce ruperea terenului.

Sub acțiunea solicitărilor statice se produce o înadesare slabă, astfel că în calcule este posibil să se folosească unghiul de frecare corespunzător terenului netulburat.

In cazul solicitării dinamice înainte de a intră în stadiul de rupere, terenul necoeziv se îndeașă mai puternic decât sub solicitarea statică, astfel că trebuie să se ia în considerare creșterea gradului de înadesare, respectiv a unghiului de frecare intericară, pe măsura apropierii în interiorul bulbului, de vîrful sondei [53].

Alura suprafețelor de rupere este mult controversată de cercetători care din acest punct de vedere se împart în trei grupe [55].

Prima grupă pleacă de la teoria elastică a stării de eforturi în teren și presupune suprafețe de lumenare plane (fig.1.4.)

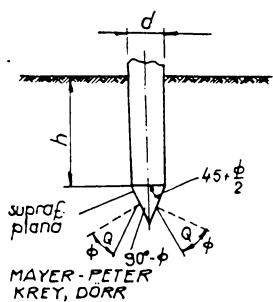


Fig.1.4. Suprafața de lumenare plane

De asemenea, de către cele trei grupe este că nu

se ține seama de starea de efort și de deformăție strânsă.

A doua grupă consideră suprafețele de alumenare sub formă de spirale logaritmice la extremități cu suprafețe plane tangențiale (fig.1.5.)

A treia grupă consideră drept suprafețe de alumenare spirale logarithmice care se reîntoarcă pe tijă, situație care corespunde cel mai bine cu realitatea [55] (fig.1.6.)

Deținându-jul ipotezelor conside-

rate de către cele trei grupe este că nu se ține seama de starea de efort și de deformăție strânsă.

Spatial, penetrarea unui con metalic în masa unui pămînt, dacă pămîntul se consideră ca un corp elastic și omogen poate fi tratată ca o solicitare axială simetrică, pentru care însă o exprimare fizico-matematică a fenomenelor nu a fost clarificată.

Pentru starea plană și pentru un teren considerat omogen elastic este și fără forță masivă, Shōjiro Hata [25] explică ruperea la penetrare prin distribuție deformațiilor plastice după suprafețe de minimă rezistență ce delimitază anumite zone, care ating la nivelul traversat starea critică de penetrare.

Pentru un mediu dispers, pur-coeziv și în care conul metalic de penetrare nu este introdus complet ($h \leq h_c$), suprafețele de minimă rezistență la starea limită de solicitare la penetrare, pentru nivelul h_1 sunt figurate după limitele ABCD din (fig.1.7)

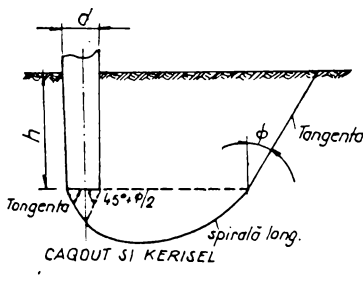
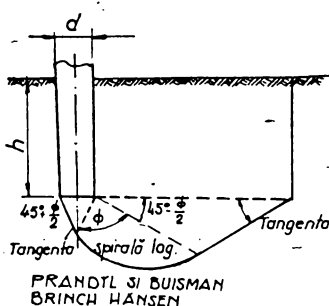


Fig.1.5. Suprafețe de alunecare spirală logaritmice

Zonile delimitate de suprafețe A, B, C, D, la starea de echilibru limite și determinate după teoria impingerei pasive a lui Rankine sunt descrise de prismele AOB, BCC și OCD.

Admitând unghiul dintre suprafețele de alunecare

de $\frac{\pi}{4} + \frac{\phi}{2}$ și da-

că $\phi = 0$ (pămînt pur coeziu), rezultă unghiiurile $\frac{\pi}{4}$ care delimită suprafețele prismelor AOB, și OCD. Zona mediană, cunoscută sub denumirea de "zona rezistențelor pasive a lui Prandtl" este delimitată de unghiul α .

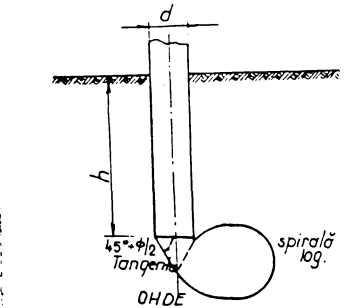
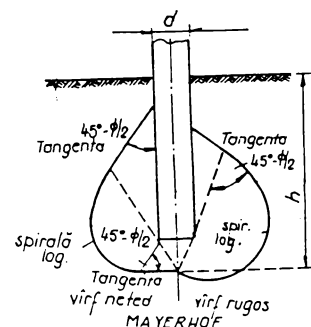
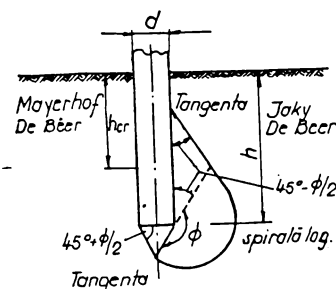


Fig.1.6. Suprafețe de alunecare spirală logaritmice care se închid de pețija penetrometrului.

La acțiunea de penetrare a vîrfului conic în masa terenului

pe generația rea conului se dezvoltă efortul unitar de penetrare, P . În mediu pur coeziu, componentele rezultantăii efortului reactiv al terenului (care constituie rezistență pasivă) sănt eforturile unitare normale σ și tangențiale c .

Ecuatia de echilibru dintre eforturi de acțiune și cel de reacție, la starea limită de rupere, după direcția efortului P , este:

$$P = \sigma + c \quad (1.2.)$$

Efortul normal unitar dezvoltat în zona OCD, la contactul cu conul metalic și la starea limită de solicitare la penetrare se deduce din relația lui R.Hill [25].

$$\sigma = 2c \theta = \text{const.} \quad (1.3.)$$

în care; θ este unghiul ce delimită ză, în zone considerată omogenă prisme după ale căror suprafețe de contact se dezvoltă eforturile unitare ce generează deformații plastice. Pentru un mediu pur coeziu din zona OCD, ecuația stabilită în coordonate cilindrice pentru cazul solicitării axiale simetric este:

$$\sigma = c(1 + 2\alpha) \quad (1.4)$$

Introducând valoarea lui σ în ecuația (1.2.) se obține:

$$P = 2c(1 + \alpha) = \frac{P}{\pi c^2} = R_p \quad (1.5)$$

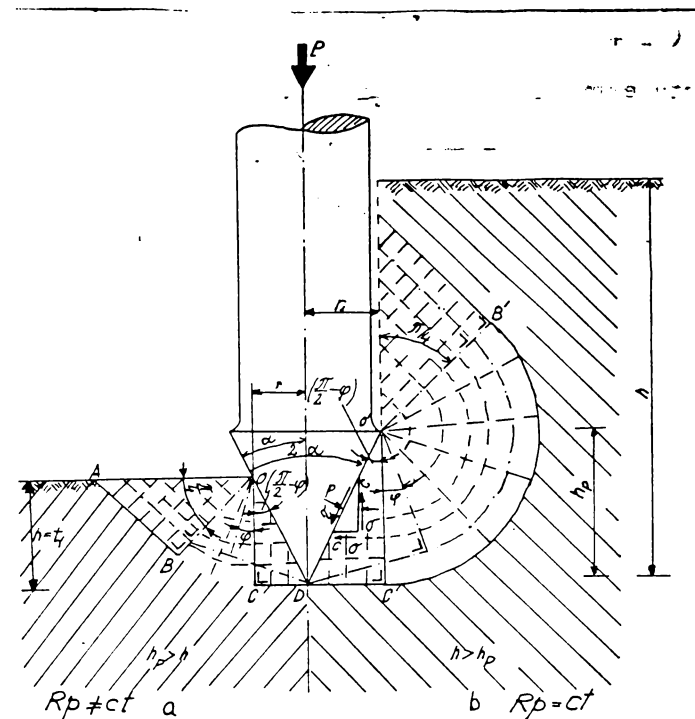


Fig.1.7. Suprafețe de minimă rezistență generată prin pătrunderea conului de penetrare în pământuri coeziive a) - penetrarea de suprafață; b) - penetrarea de adâncime

Pentru un mediu coeziu din zona OCD situată la adâncimea h (fig.1.7.b) efortul σ la starea limită de solicitare este :

$$\sigma = c (1 + \frac{\gamma l}{2} + 2\alpha) \quad (1.6.)$$

Inlocuind această expresie în relația (1.2.) rezultă :

$$P = R_p = 2c (1 + \frac{\gamma l}{2} + \alpha) \quad (1.7)$$

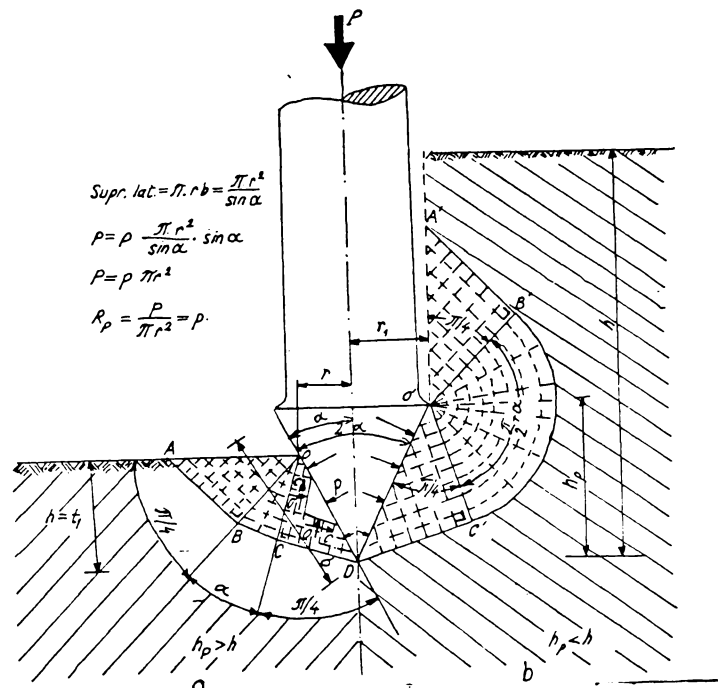


Fig.1.8. -- Suprafețe de minimă rezistență generală de pătruncere a canalului pe penetrare în pământuri slab-coeziive
a - ptr. penetrare de suprafață
b - ptr. penetrare de adâncime

Pentru terenurile slab coeziive cu fricare intericară (fig. 1.8). Valoarea efortului unitar dezvoltat în prisma OCD sunt :

• pentru $h \leq h_c$ (fig.1.8.a.) rezultă :

$$\sigma = c (1 + 2\alpha + 2\phi) \quad (1.8.)$$

• pentru $h > h_c$ (fig.1.8.b.) rezultă :

$$\sigma = c(1 + 2\alpha + \frac{\gamma l}{2} + 2\phi) \quad (1.9)$$

Intr-un astfel de mediu componentele eforturilor unitare dezvoltate pe suprafață conică la încercarea limită de penetrare sunt :

$$P = G + c \sin 2 \left(\frac{\pi}{4} - \phi \right) \quad (1.10)$$

$$T = c \cos 2 \left(\frac{\pi}{4} - \phi \right) \quad (1.11)$$

Valoarea lui R_p în cazul cînd $h > h_c$ pe baza relației lui Coulomb este :

$$R_p = p + T \operatorname{ctg} x = c \left[1 + 2\alpha + 2\phi + \frac{\pi}{4} + \sin 2 \left(\frac{\pi}{4} - \phi \right) \cos 2 \left(\frac{\pi}{4} - \phi \right) \operatorname{ctg} x \right] \quad (1.12)$$

Din analiza relațiilor stabilite de Shorijo Hata rezultă că rezistența la penetrare, considerind pămîntul lipsit de forță masică, depinde de caracteristicile rezistenței la forfecare ϕ și c .

După recomandările geotehnicienilor belgieni și olandezi [94] se poate admite că penetrometrul, element lung și cu secțiune redusă constituie prin similitudine un model de fundație care provoacă în teren solicitări similare cu cele ale pilotilor sau puțurilor de diametru redus, suficient încastrate în straturile portante. În consecință este logic să se considere că rezistențele la vîrful penetrometrului, corespund într-o primă aproximație cu presiunea de rupere la fază pilotului.

În cazul unui strat incompresibil pătrunderea conului de penetrare în teren produce refularea laterală a terenului cînd eforturile ating o anumită limită. Practic acest efort este foarte puțin influențat de mărimea suprafeței conului din care cauză rezultatele penetrării se pot aplica direct la calculul capacitatei portante a pilotilor.

În cazul unui teren instantaneu compresibil se produce o micșorare de volum datorită modificării structurii, motiv pentru care efortul de rupere crește cu creșterea suprafeței conului.

Cînd penetrometrul pătrunde în teren, rezistența pe vîrf corespunde presiunii de rupere fiind, în consecință, funcție de caracteristicile rezistenței la forfecare ϕ și c ; frâcarea laterală este legată de aceleasi caracteristici, mărimea forței de frâcare fiind influențată și de coeziunea datorită aderenței terenurilor coeziive pe suprafața coloanei de tije, astfel :

$$R_p = F(\phi, c); \quad F_f = F_1(\phi, c) \quad (1.13)$$

Ruperea terenului la pătrunderea penetrometrului se produce sub acțiunea unei sarcini critice care se poate calcula asimilînd penetrometrul cu o fundație de adîncime și ținînd cont de natura încărcării aplicate în funcție de tipul acestuia.

1.2.2. Studii cu privire la unele relații teoretice pentru calculul rezistenței dinamice

Penetrometrele dinamice se pot considera piloți la scară redusă (model) astfel încât o serie de teorii legate de explicația fenomenelor care iau naștere la introducerea piloților prin baterie precum și cele legate de capacitatea portante se pot aplica și carecare aproximare și la penetrometre.

La penetrometrele dinamice se aplică formulele dinamice deduse pentru determinarea capacitații portante a piloților. Formulele au la bază relația lucrului mecanic [55] :

$$KG_1H = R_d e + 0,5 R_d \Delta l_p + 0,5 R_d \Delta l_t \quad (1.14)$$

în care : K - gradul de influență a loviturii la înfigerea dinamică ;

G_1 - greutatea berbecului, [daN];

H - înălțimea de cădere, [cm];

R_d - rezistență dinamică de pătrundere, [daN];

e - refuzul pilotului (penetrometrului) [cm];

Δl_p - deformarea elastică a pilotului (penetrometrului) [cm];

Δl_t - deformarea elastică a terenului, [cm]

Cei patru termeni din relația (1.14) au următoarea semnificație :

$K.G_1.H$ - lucru mecanic dezvoltat de berbecul în cădere liberă la o singură lovitură ;

$R_d.e$ - energia utilă pentru învingerea rezistenței de pătrundere ;

$0,5 R_d \Delta l_p$ - pierderea energiei datorită comprimării elastice a pilotului (penetrometrului) ;

$0,5 R_d \Delta l_t$ - pierderea energiei datorită deformării elastice a terenului.

În funcție de ipotezele simplificate adoptate de diversi cercetători s-au obținut o serie de relații care se pot grupa în patru categorii sau metode după cum urmează :

a) Relații în care se ține seama de pătrunderea remanentă (refuzul pilotului) și parțial de deformarea elastică a acestuia, Astfel se cunosc relațiile stabilite de Redtenbacher, Stern, Weissbach, Rankine, Eytelwein, Ritter, Brix, Jenbu, Gerschanov și formula Engineering - News-Record [55].

O relație foarte simplă a fost stabilită de mai mulți cercetători și se scrie sub forma :

$$R_d = \frac{G_1 \cdot H}{e} \cdot \frac{1}{K_3} \quad (1.15)$$

în care :

- după Brix - Janbau, $K_3 = \frac{(G_1 + G_2)^2}{G_1 \cdot G_2}$

- după Ritter $K_3 = \frac{G_1 + G_2}{G_1}$

Formula stabilită de Ritter, pentru calculul rezistenței dinamice de formulă olandeză :

$$R_d = \frac{G_1^2 \cdot H}{e \cdot (G_1 + G_2)} \quad (1.15.a)$$

în care : G_2 - greutatea pilotului (penetrometrului).

După Caquot, formula olandeză este cea mai apropiată de realitate cu condiția să se țină seama de scrutarea elastică a pilotului (penetrometrului).

Pentru a exprima adeverata rezistență de rupere a terenului (rezistență corespunzătoare unei încărcături statice) s-a convenit să se introducă la numitor în loc de "e" valoarea $e + \Delta l_p$, formula olandeză modificată în acest fel purtând numele de formula Engineering - News Record (E-N-R) :

$$R_d = \frac{G_1 \cdot H}{e + \Delta l_p} \cdot \frac{G_1}{G_1 + G_2} \quad (1.15.b.)$$

In practică este destul de greu să se determine termenul Δl_p .

b) Relații care ține seama de pătrunderea remanentă și de deformarea elastică a pilotului și a terenului.

Deformarea totală elastică se măsoară sau se ia în considerare prin coeficienții corespunzători determinați experimental. Din această categorie poate fi amintită relația lui Hiley [8].

c) Formula care determină capacitatea portantă cu ajutorul diagramei de variație a presiunii de pilot [55].

Valoarea rezistenței dinamice se poate determina ușor pornind de la teoria conservării impulsului cu luarea în considerare a fenomenelor care se produc în timpul impactului [8].

$$R_d = \frac{G_1 \cdot H}{(1+a)e} \cdot \frac{1}{1 + \frac{c}{e}} (1 + n^2 \cdot a) \quad (1.16)$$

unde pe lîngă notațiile din relația (1.14) intervin :

$$a = \frac{G_2}{G_1}$$

n - coeficient care ține seama că impactul este parțial elastic ;
 e - coeficient prin care se ține seama de pierderea energiei prin tijă penetrometrului în terenul înconjurător.

In relația (1.16) avem notat :

$\frac{G_1 \cdot H}{(1+a)e}$ - reprezintă rezistența terenului de ciocnire perfect neelastica;

$\frac{1}{1 + \frac{c}{e}}$ - reprezintă factorul de corecție adimensional (< 1) care ține seama de energia pierdută (disipată);

$(1 + n^2 \cdot a)$ - este factorul de corecție adimensional (> 1) care ia în considerare elasticitatea impactului.

Relația (1.16) se poate scrie și sub forma :

$$R_d = \frac{G_1 \cdot H}{e+c} \frac{1 + n^2 \cdot a}{1+a} \quad (1.16.a)$$

Dacă se notează cu $H_o = \frac{H \cdot c}{e+c}$; H_o - fiind înălțimea de cădere a masăi berbecului pentru care refuzul $e = 0$, se obține pentru rezistență dinamică, relația :

$$R_d = \frac{G_1}{(1+a)e} (H - H_o)(1 + n^2 \cdot a) \quad (1.17)$$

Multe din formulele existente derivă din una din formulele generale (1.16 ; 1.16.a și 1.17) fiind diferenții doar coeficienții de corecție.

Formula olandeză consideră $n = 0$, ceea ce corespunde pentru o ciocnire perfect neelastica și $c = 0$ ce presupune inexistența deformațiilor elastice și a pierderilor de energie. Când refuzul scade sub 1 cm s-a constatat că simplificările mai sus amintite introduc erori mari în calculul rezistenței dinamice, totuși se utilizează în majoritatea cazurilor din cauza simplității sale.

Formula Engineering - News - Record presupune $n = 1$, ciocnire perfect elastică și $c = 2,5$ ce corespunde pentru o energie excesiv pierdută, pentru ca compensa ipoteza ciocnirii elastice.

Formula lui Hiley [8] ia în considerare următorii factori de corecție :

$$0 < c < 0,5$$

$0 < n < 0,5$ pentru piloți ;

$0 < n < 0,7$ pentru penetrometre ;

Comparând aceste valori a factorilor de corecție, cu cele folosite frecvent, se constată că se pot obține cîteodată valori prea mari pentru rezistență dinamică R_d și această din următoare motive :

- formula lui Hiley a fost stabilită pentru piloți pe cînd energia pierdută la penetrometre este mult mai mică ;

- echipamentele de acționare sunt astfel concepute încît se pierde puțină energie în timpul căderii berbecului.

Formulele Bredten - Backer și Kreuter [8] sunt apropiate de formula generală (1.17) cu $n = 0$ (Bredten - Backer) sau $n = 1$ (Kreuter). Ele dă valori mai mici în cazul penetrării, dar folosirea lor este mai cîmplicată, din cauza lui H_0 .

Mai mulți autori au comparat forța critică dedusă cu ocazia încercării de penetrare, de pe o parte rezistență terenului la înfigere (penetrare statică) și pe de altă parte rezistență sa la lovitură (penetrare dinamică) obținind rezultate învecinate.

In 1952, Buisson, a formulat concluzii bazate pe un număr foarte mare de cazuri (20), Dacă ne notează cu F_p rezistența la penetrare statică și cu F_d rezistență dinamică specifică calculată cu formula plană fără coeficient de siguranță și necorectată se constată că între cele două mărimi există corelație dependentă de natura terenului și mărimea refuzului.

In tabelul 1.7. este dat raportul celor două mărimi pentru anumite terenuri.

Tabelul 1.7. Valorile ale F_p respectiv F_d pentru anumite terenuri

Natura terenului	Mărimea refuzului "e" (cm)	F_p/F_d
Nisipuri, terenuri mărname și calcaroase	$> 2,5$	$\approx 0,75$
Diverse terenuri lipsite de fragmente mari	$0-2,5$	$0,75-1,0$
Nisipuri grosiere și pietriș	-	$\geq 1,0$
Pământuri mărname sau argiloase	-	$0,3 - 0,5$

Experiențele lui L. Herminier și Teheng din 1964-65 [94] au conformat concluziile lui Buisson. În majoritatea cazurilor pentru obținerea rezistenței statice la vîrful penetrometrului s-a convenit să se afecteze rezistența dinamică, calculată cu formula olandeză necorectată, cu un coeeficient cuprins între $0,5 - 0,75$. În mod excepțional acest coeeficient poate coborî pînă la $0,31$ (terenuri afinate sau cu consistență redusă) sau poate urca pînă la $0,1$ (teren grosier cu frecare laterală ridicată).

Capacitatea portantă a pilotilor calculată cu formulele dinamice este nesigură fiindcă anumite influențe cum ar fi frecarea pe manta, comportarea elastică a terenului sau a pilotului, ori nu se iau în considerare ori se iau numai parțial. Menzenbach [94] susține că pentru un refuz "e" ideantic, capacitatea portantă a pilotului este influențată de natura terenului.

Capacitatea portantă calculată cu formula de baterie se utilizează la ora actuală numai în cazul pîmânturilor necocizive și numai pentru comparație, respectiv pentru stabilirea raportului față de încercările de probă (Dn. 1c54 Schenck 1963).

Din considerantele azișămatcăre aceste formule nu pot fi folosite decît pentru comparațea rezultatelor obținute cu diferite penetrometre dinamice cu con.

Unii cercetători au urmarit răspindirea rezistenței dinamice la penetrometre, determinănd cu diferite formule de baterie pentru cazul penetrometrului dinamic, ușor și greu.

În Institutul din Aachen s-au efectuat experiențe cu penetrometre dinamice cu con pînă la adîncimea de $4,0 \text{ m}$ în condiții controlate [55] și s-au aplicat 12 formule dinamice pentru determinarea forței dinamice R'_d , din care s-a calculat presiune dinamică R'_d pe suptăfața conului de penetrare. În fig.(1.c) sunt prezentate domeniile în care se înscriv valorile lui R'_d .

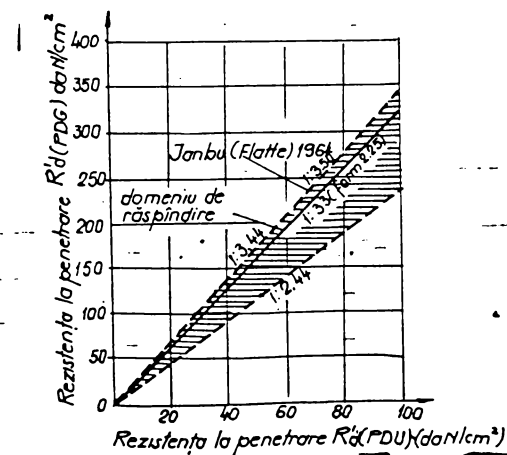


Fig.1.9. Rezistența de penetrare R'_d (PDU)(daN/ cm^2). Domeniile în care se înscriv valoile R'_d pentru un PDU și PDG.

S-a observat că formula norvegiană Janbu aparținînd grupei "a" se plasează în pertea mijlocie și superioară a domeniului de răspindire

Melzer [55] compară rezultatele obținute cu penetrometrul dinamic mijlociu și greu folosind formula de baterie cea mai simplă și anume :

$$R_d = \frac{G_1 \cdot H}{e} \quad (1.18)$$

din care rezultă rezistența dinamică la penetrare

$$R_d' = \frac{R_d}{A} = \frac{G_1 \cdot H}{A \cdot e} \quad (1.19)$$

Raportul între rezistențele dinamice a două penetrometre se poate scrie sub forma :

$$a_{1,2} = \frac{R_d'_{d1}}{R_d'_{d2}} = \frac{R_{d1} \cdot A_2}{R_{d2} \cdot A_1} \quad (1.20)$$

Pentru penetrometrul dinamic ușor respectiv greu prin aplicarea formulelor (1.16) și (1.20) s-a găsit $1 : a' = 1 : 3,44$.

Determinându-se răspindirea raportului $1 : a'$ cu ajutorul diferențelor formule de baterie din prima grupă, s-a găsit că acesta variază de la $1 : a' \neq 1 : 2,44$ pînă la $1 : a' = 1 : 3,50$.

Să constată că valoarea obținută cu relația cea mai simplă (1.19) se găsește foarte aproape de valoarea obținută cu formula Janbu.

DIN 4094/1 [124] nu recomandă folosirea rezistenței dinamice la penetrare obținută cu ajutorul formulelor de baterie a pilotilor din cauza caracterului relativ empiric al formulelor cît și a rezultatelor nesatisfăcătoare ce se obțin în cazul aplicărilor la penetrometre. Totuși există mulți cercetători care pleacă în calcule de la formulele deduse pentru piloti, ele fiind capabile să furnizeze rezultate orientative.

1.3. STUDII CU PRIVIRE LA FACTORII DE INFUENȚĂ ASUPRA REZULTATELOR PENETRARII DINAMICE CU CON

Rezistența pe vîrf statică sau dinamică este influențată de o serie de factori legați de natura și proprietățile fizico-mecanice ale terenului, prezența sau absența apei, caracteristicile utilajului, adâncimea de penetrare etc.

Numai cunoașterea tuturor factorilor și a interdependențelor dintre ei permite interpretarea corectă a rezultatelor penetrării.

Există factori specifici diverselor categorii de terenuri, precum și factori independenți de natura acestora.

O analiză foarte detaliată și sistematizată a factorilor de influență a supraconchidăjului de penetrare dinamică este prezen-

tată în DIN 4094/2 [125].

Majoritatea factorilor acționează în mod asemănător sau identic în cazul sondelor de penetrare statică.

1.3.1. Influența naturii terenului

Natura terenului are influență complexă asupra rezistenței la penetrare, fiind legată în primul rînd de prezența sau de absența coeziunii.

La pămînturile necoezive joacă un rol important compoziție granulometrică și coeficientul de neuniformitate (Un), compozitia mineralogică a granulelor, forma și rugozitatea acestora, prezența sau absența legăturilor structurale.

La pămînturile coezive influențează permeabilitatea, starea de consistență, presiunea ei din pori și legăturile structurale mai complexe decât în cazul pămînturilor necoezive.

1.3.1.1. Influența compozitiei granulometrice

De regulă pentru același grad de îndesare în nisipurile uniforme care au un număr redus de puncte de contact, rezistența la penetrare este mai scăzută decât în nisipurile neuniforme care au un număr mult mai mare de puncte de contact.

Granulele călăuroase și aspre opun o rezistență mai mare decât cele rotunde și netede.

Fragmentele de pietriș și bolcovaniș din masa nisipurilor sau lentilele subțiri de pietriș sunt semnalate în mod evident prin salturi bruse în diagramele de penetrare (fig.1.1c). La interpretarea rezultatelor penetrării se ține seama de aşa zisa "regulă de aur" [95] conform căreia toate valorile rezistenței de penetrare înregistrate sub formă de salturi, se elimină.

În cazul cînd dimensiunile granulelor se apropiie de diametrul conului, se obțin rezistență artificial sporită, astfel că în aceste situații se renunță la cercetarea prin sondaj de penetrare sau nu se utilizează pe grosimea stratului cu fragmente mari.

Penetrometrul dinamic ușor și cel static sunt mai sensibile decît penetrometrele dinamice mijlocii și grele la variația dimensiunilor granulelor și a stării de îndesare a terenului.

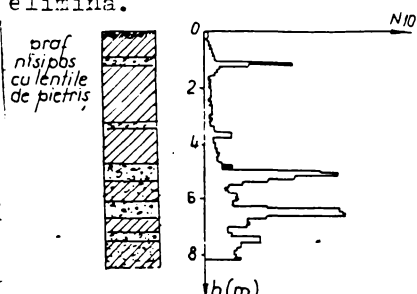


Fig.1.10. Creșterea bruscă a rezistenței la penetrare în cazul lentilelor subțiri de pietriș.

1.3.1.2. - Compoziția mineralogică

Compoziția mineralogică influențează și supra formei și rugozitatea granulelor și asupra rezistenței acestora, vîrful conic putind provoca sfărîmarea fragmentelor mai slabe.

In nisipurile cu conținut ridicat de mică să se semnalată scăderea pronunțată a rezistenței de penetrare pe lîngă unghiul frecării interioare aproape egal; prezența fragmentelor de mică duce la creșterea compresibilității și a fragilității. In (figura 1.11) se prezintă un exemplu după Vesic [30] unde prezența a 10 % mică a dus la scăderea pronunțată a rezistenței de penetrare. Un alt exemplu este prezentat în lucrarea lui de Beer [16] nisipul din regiunea AITTEERF induce mai mult de 50 % glauconit care reduce rezistențe la strivire față de nisipul de cuart (fig. 1.12).

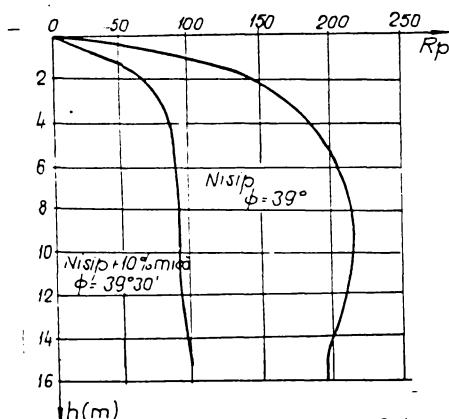


Fig. 1.11 Reducerea rezistenței de penetrare datorită prezenței de mică

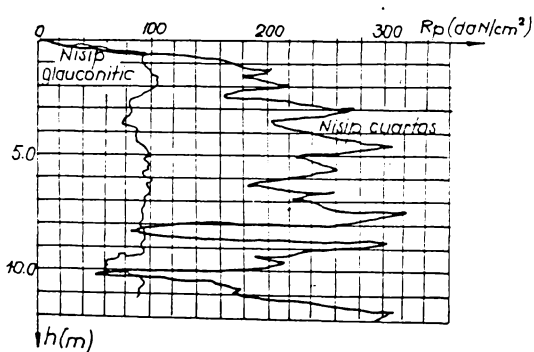


Fig. 1.12 Reducerea rezistenței de penetrare datorită conținutului ridicat de glauconit.

1.3.1.3. Influența îndesării

Incercările efectuate la scară redusă în condiții perfect controlabile precum și la scară mare au scos în evidență creșterea rezistenței la penetrare odată cu creșterea gradului de îndesare [35].

Incercările efectuate într-o groapă mare umplută cu nisip mijlociu-mare având gradul de îndesare $I_D = 0,10 - 0,75$, au scos în evidență acest fapt (fig. 1.13).

1.3.1.4. Influența legăturilor structurale

Incercările de penetrare au permis stabilirea faptului că nisipurile în stare naturală pot avea legătura structurală care

de obicei se pierd cu ocazia recoltării probelor, în special sub nivelul apei subterane. Pensior numește aceste legături "aderență de întărire" [109]. Prezența legăturilor structurale asigură nisipurilor în stare naturală o rezistență de penetrare mai mare decât a acelorași nisipuri în umplutură, în condițiile aceluiași grad de îndesare.

Experiențele au relevat că "întărirea" nisipurilor durează mai mulți ani, fără variația umidității sau densității, ducind la îmbunătățirea caracteristicilor mecanice. Cu cât mai mare este îndesarea inițială cu atît mai intens se desfășoară procesul de formare a legăturilor structurale.

Încercari efectuate cu un penetrometru dinamic greu tip UEP-15, având masa berbecului, $G_1 = 60$ kg, înălțimea de cădere $H = 80$ cm și diametrul conului, $d = 42$ mm, în nisipurile naturale și în umplutură cu nisip de Volga au confirmat influența substanțială a legăturilor structurale.

Datele sunt prezentate în tabelul 1.8.

Tabelul 1.8. Influența legăturilor structurale pentru nisipul Volga

Starea de îndesare	Densitatea uscată d [t/m^3]	Indice e	Număr de lovituri Nlo nisip natural de Volga	Umplutură din nisip de Volga
afinat	1,52	0,75	5-7	2
mediu	1,52-1,63	0,64-0,75	(5-7); (12,15)	2-6
îndesat.	1,63	0,64	12-15	6

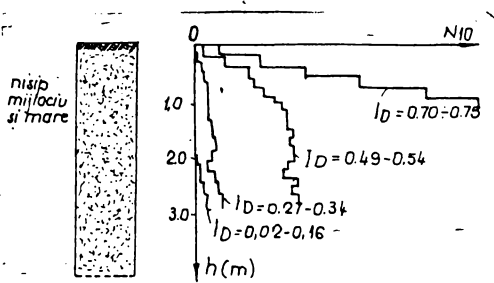


Fig.1.13. Variația rezistenței la penetrare cu gradul de îndesare I_D într-un nisip omogen după F. J. Ducker

1.3.1.3. Starea de consistență

Starea de consistență a pământurilor coeziive influențează în mod asemănător asupra rezistenței la penetrare, ca și starea de îndesare a pământurilor nocoiziive. Atât penetrarea dinamică cât și cea statică, semnalază clar variația stării de consis-

tență a pământurilor coeziive prin numărul de lovituri, respectiv rezistența de penetrare la vîrf, care cresc odată cu constanță.

Sonda jum de penetrare statică este preferat în cazul pământurilor coeziive, care datorită aplicării încărcării cu viteză redusă permite într-o măsură mai mare consolidarea terenului.

Sonda jum de penetrare dinamică dă rezultate concluzioane în pământurile cu consistență ridicată, în cele cu consistență scăzută datele obținute sint mult influențate de frecarea pe tije, date care în speranță ar corespunde unor pământuri de consistență mai ridicate.

1.3.2. Influența adâncimii de penetrare

In pământurile omogene rezistența la penetrare statică și dinamică nu este constantă datorită influenței adâncimii care se manifestă prin așa zisa "adâncime critică" și prin sarcina geologică care acționează la nivelul vîrfului conic al penetrometrului.

Adâncimea critică de penetrare corespunde condiției de margine, terenul fiind o masă semiinfinită marginată la partea superioară. Așa cum s-a arătat la începutul capitolului, prin infilarea conului se produce ruperea terenului în prezență compresiunii și refulării ce corespund unui minim de energie.

La suprafața terenului rezistența la penetrare este scăzută întrucât dislocarea terenului de către conul de penetrare se face

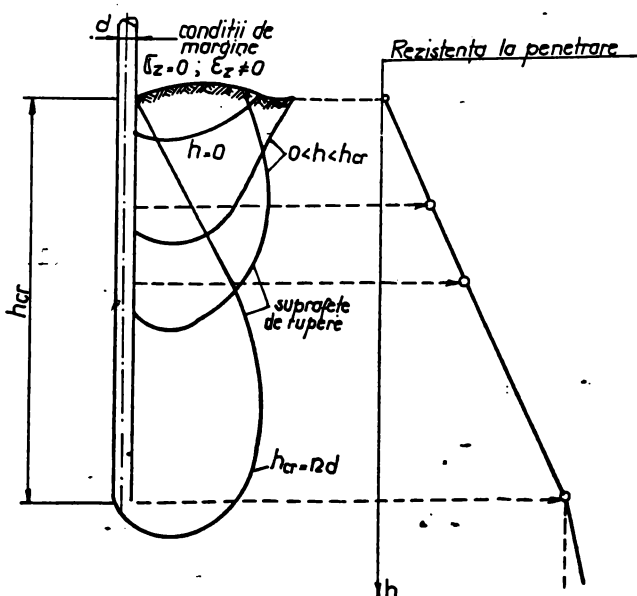


Fig.1.14. Influența condițiilor de margine
și suprafeței de rezistență la penetrare

ușor prin refu-
lare laterală
și în sus.

Pe măsură
ce crește adânci-
mea, refularea
spre suprafață
devine tot mai
greasă, neexistând
mai multă energie
din cauza sarcin-
ii geologice și
starea de solici-
tare se modifică
treptat de la so-
licitare de sup-
rafață la una de
adâncime. În mo-

mentul în care refularea spre suprafață este împiedicată rezistența la penetrare crește foarte lent datorită majorării sarcinii geologice.

In (figura 1.14) este prezentată influența condițiilor de margine în cazul unui pămînt omogen.

La adâncimi reduse, în special la pămînturi îndesate, ruperea se produce după suprafață de alunecare care atinge suprafața terenului [104]. De la o anumită adâncime în jos suprafețele de alunecare nu mai străpung pînă la suprafață, ci se localizează pe tije, sarcina geologică fiind aceea care influențează și modifică forma suprafețelor de alunecare.

Se definește drept adâncimea critică, h_{cr} , aceea adâncime pînă la care rezistența de penetrare crește puternic și după care creșterea acesteia este mult mai mică.

Existența adâncimii critice a fost foarte clar evidențiată prin două încercări de penetrare efectuate într-o gropă umplută cu nisip mijlociu-mare îndesat (fig.1.15).

Penetrarea 1 s-a executat de la suprafață gropii iar 2 - e după îndepărțarea unui strat de 1,3 m grosime.

Așa cum calculele teoretice și experiențele au scos în evidență că mărimea adâncimii critice depinde în afară de sarcina geologică și de gradul de îndesare, respectiv de unghiul de frecare interioară ϕ . Din calculele teoretice, într-un teren omogen, Jaky [45] stabilește pentru adâncimea critică următoarea relație :

$$h_{cr} = d \operatorname{tg} (45 + \frac{\phi}{2}) e^{\frac{d}{h}} \cdot \operatorname{tg} \phi \quad (1.21)$$

Experiențele efectuate cu penetrometre statice au arătat că adâncimea critică crește odată cu scăderea gradului de îndesare ceea ce este în contradicție cu formula (1.21) bazată pe teoria plasticității, care se poate aplica numai la terenuri incomprimibile (de îndesare foarte rară).

In pămînturile affine sau de îndesare medie se produce îndesarea terenului înaintea apariției ruperii, posibilitatea de refulare în sus fiind mai ușoară, adâncimea critică este mult mai mare decît la pămînturile îndesate, [55].

In fig.1.16 se prezintă rezultatele experimentale obținute

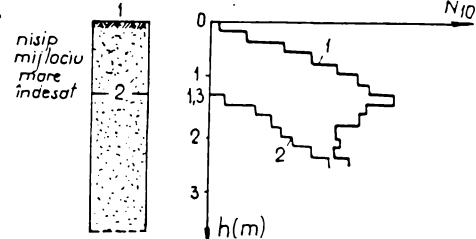


Fig.1.15. Evidențierea adâncimii critice după F.J. Lucker [21].

de diferiți cercetători, privind legătura dintre raportul $n = \frac{h_{cr}}{d}$ și rezistența de penetrare statică R_p .

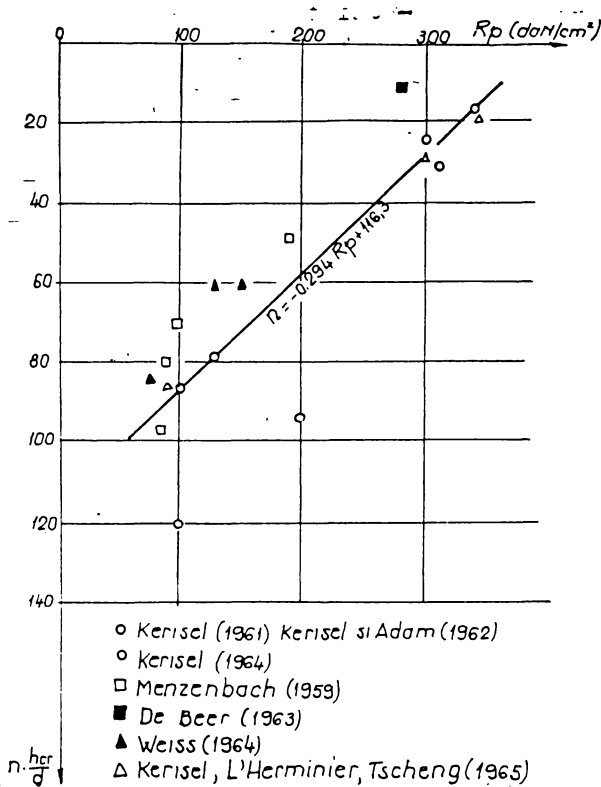


Fig.1.16. Corelația dintre $n = \frac{h_{cr}}{d}$ și R_p

Vesic (1967; 1970) recomandă valoarea "10" pentru adâncimea critică relativă în cazul nisipurilor afinăte și valoarea "20" în cazul celor îndesate.

Tot în lucrările [86] se dă o formulă empirică pentru determinarea adâncimii critice prezentată în fig. (1.18).

Din analiza diagramei de corelație rezultă că odată cu scăderea lui R_p respectiv al gradului de îndesare, crește adâncimea critică.

Față de cele obținute și prezentate de Melzer [55] în lucrarea [22] se arată că între adâncimea critică și gradul de îndesare este o relație directă. În figura (1.17) sunt prezentate diagramele pentru adâncimea critică relativă ($\frac{h_{cr}}{d}$) pentru două conuri cu adâncime diferite.

Bidrez și Cresillon (1972) [86] au stabilit legătura între unghiul frecării interioare, starea de îndesare și adâncime critică relativă, prezentată în tabelul 1.9.

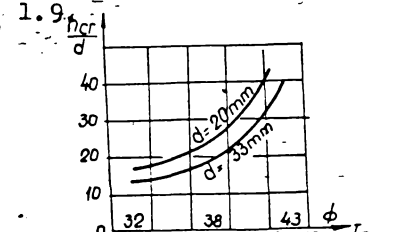


Fig.1.17. Variatia adâncimii critice relative cu gradul de îndesare.

Tabălul.1.9. Legătura între ϕ ; I_D și h_{cr}

Unghiul frecării intericeare	Starea de îndesare	$\frac{h_{cr}}{d}$
- 25	aținut	1,8
30	aținut	2,9
35	aținut	4,8
40	îndesat	9,4
45	îndesat	23,0

de îndesare.

In cazul penetrării dinamic pe lîngă același grad de îndesare se obține o adâncime critică mai scăzută decât la penetrația statică, deoarece sub efect dinamic se obține o îndesare mai puternică care conduce la ruperea mai rapidă a terenului.

In terenurile foarte

afinăte se semnalază foarte slab adâncimea critică, deoarece nu se produce ruperea propriu-zisă prin cedarea laterală a granulelor.

Din încercările executate la Institutul Belgian de Geotehnică s-a observat că 1-2% prezintă diagrame de penetrare excepționale la care adâncimea critică are valori foarte mari [18]. Se pare că există o densitate pentru care rezistența pe con crește liniar cu adâncimea pînă la adâncimi mari. In fig.(1.19) se prezintă creșterea liniară a rezistenței pe con pentru un nisip de îndesare medie din Lulusbourg (Zair) la adâncime de peste 32 m.

Din cele prezentate rezultă că problema stabilității adâncimii critice este mult controversată ajungind chiar crecetătorii cu renume cum este Kerisel, la rezultate contradictorii (fig.1.16 și 1.18).

1.3.2.2. Sarcina geologică

Duce la creșterea rezistenței la penetrare și după depășirea adâncimii critice. Melzer [55] a efectuat încercări într-o cuvă

$$h_{cr} = 25 \sqrt{d(1 + R_p/100)} \quad (1.22)$$

în care:

d - diametrul penetrometrului în cm;

R_p - rezistență pe vîrf în daN/cm².

Din analiza relației (1.22) rezultă că adâncimea critică este direct proporțională cu rezistența la penetrare care la rîndul ei este proporțională cu gradul

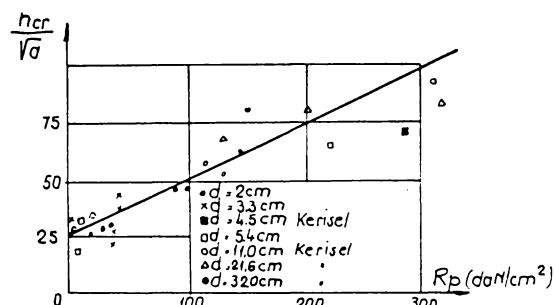


Fig.1.18. Reprezentare grafică a formulei 1.22.

de 6,0 m adîncime și diametru 3,0 m în care a așezat nisip cu grad de îndesare constant pentru a putea determina influența sarcinii geologice.

S-au efectuat mai multe experiențe cu diferite grade de îndesare cuprinse între 0,35 - 0,74 pe baza cărora s-a stabilit următoarea relație :

$$\log y = a_1 + a_2 I_D + a_3 + S_y \quad (1.23)$$

Coefficienții a_1, a_2, a_3 și S_y s-au stabilit pentru diverse tipuri de penetrometre și pentru diverse terenuri.

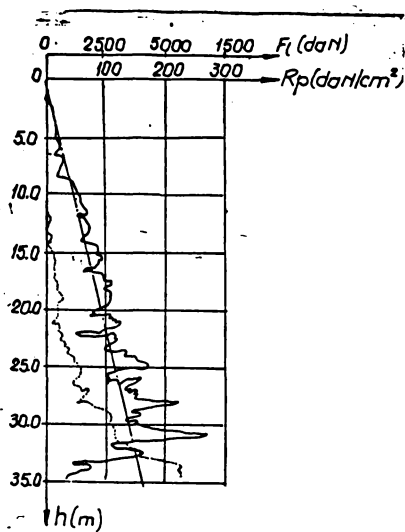


Fig.1.19. Creșterea continuă a rezistenței pe con într-un strat de nisip omogen.

1.3.3. Influența frecării asupra tijei de penetrare

Influența frecării laterale pe coloana tijei trecuie tratată cu discernămînt în cazul penetrometrelor fără manta de protecție. În general penetrometrele statice au tija protejată și sunt prevăzute cu posibilitățile de separată a rezistenței de penetrare pe vîrf și a frecării laterale sau a forței totale din care se poate calcula frecarea laterală.

În condițiile protejării tijei mărimea rezistenței pe vîrf nu poate fi falsificată de influența frecării.

În schimb, la penetrometrele dinamice cu con la care din considerente economice și de rapiditate s-a renunțat la majoritatea ţărilor, la protejarea coloanei de tije, nu este posibil separarea influenței frecării de rezistență pe penetrare pe vîrf.

Pentru reducerea frecării laterale s-a trecut la sporirea diametrului conului, d , față de acela al tijelor, d_1 , astfel că raportul $\frac{d}{d_1} > 1,0$.

Unii autori [128] susțin că dacă $\frac{d}{d_1} \geq 1,7$ în pămînturile nisipoase se poate neglija influența frecării.

Încercări comparative [55], executate cu penetrometrul static olandez ($d_1 = d$) respectiv cu un penetrometru static dotat la vîrf cu o doză de tip Maihak, având vîrful îngrupat numai cu

un penetrometru static dotat la vîrf cu o doză de tip Maihak, avînd vîrful îngropat numai cu 6 mm față de tija, au arătat că această majorare extremă redusă este suficientă pentru a anula în mod practic frecarea pe manta în nisipuri.

Încercările efectuate de Melzer în cuva cu nisip au dovedit că pînă la adîncimea de 6,0 m nu se manifestă practic influența frecării pe manta. Încercările efectuate în paralel cu penetrometru dinamic cu con și standard au dovedit că și sub cota de 6,0 m nu se sesizează prezența frecării în absența apei subterane.

Deasupra nivelului apei subterane influența frecării pe tije este slabă datorită faptului că peretele sondajului nu se prăbușește, fenomen care se explică prin încleștarea granulelor datorită refulării laterale la pătrunderea conului în teren și prin apariția coeziunii aparente datorită forțelor capilare.

Sub nivelul apelor subterane peretele se poate prăbuși în urma vîrfului conic, astfel că odată cu creșterea adîncimii, frecarea pe tijă se poate dezvolta progresiv, cu cît nisipul este mai fin.

În (figura 1.20) se prezintă graficul unei penetrări PDG din care rezultă că, în nisipul fin, sub nivelul apei, rezistența la penetrare crește continuu din cauza frecării, deși îndesarea a rămas aceeași.

La pământurile coeziive de consistență scăzută se semnalează influența frecării pe tijă prin creșterea continuă a numărului de lovitură, pe lîngă aceleasi caracteristici ale terenului. Acest fenomen se explică prin cedarea peretelui golului creat de vîrful conic și încleștarea respectivă aderență terenului pe tija penetrometrului.

În figura (1.21) este prezentată diagrama care evidențiază în mod pregnant aporul frecării pe tijă la creșterea rezistenței de penetrare în stratul de argilă.

1.3.4. Influența apei subterane

Creșterea umidității conduce la reducerea ușoară a rezistenței la penetrare în pămînturile nisipoase.

Influența apei este mai accentuată în nisipurile afinăte cînd odată cu creșterea umidității legăturile structurale slăbesc.

Experiența efectuată în Cehoslovacia [21] într-un bazin umplut cu nisip avînd fragmentele cuprinse între 0,2-0,6 mm, pe lîngă două grade de îndesare și diferite grade de saturatie,

Pe baza experiențelor s-a constatat că reducerea procentuală

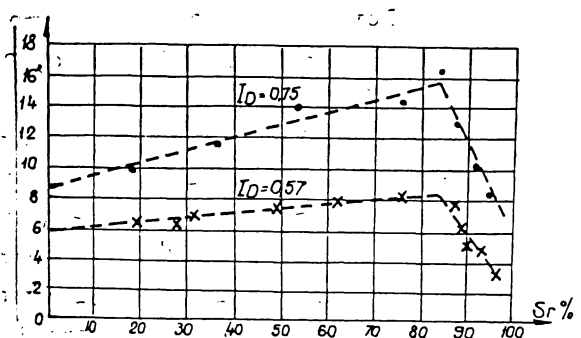


Fig.1.22. Variatia rezistențelor la penetrare în funcție de gradul de saturatie.

penetrometrul static pînă la 40 %.

- Din cele de mai sus, rezultă că prin solicitare dinamică, scăderea rezistenței la penetrare este mai accentuată, fapt ce se explică prin agitarea particulelor de nisip ca și cum ar pluti în apă.

Incercări efectuate pe nisipuri cu pietriș și prafuri nisipoase [125] au scos în evidență același fenomen de scădere mai pronunțată sub apă a rezistenței de penetrare dinamică.

Odată cu creșterea gradului de îndesare respectiv a rezistenței la penetrare, scade și reducerea medie pronunțată adică efectul apei subterane se manifestă din ce în ce mai slab.

- Se poate accepta că sub nivelul apei se produce și reducerea frecării pe tije ca urmare a efectului de curgere a apei, efect constant clar în cazul penetrării statice în pămînturile necoezive.

1.3.5. Influența succesiunii straturilor

In cazul succesiunii unor straturi moi cu altele tari, rezultatele penetrării sunt influențate de stratul care se află și sub cota de măsurare, fenomen care se explică prin forma suprafețelor de alunecare care se formează la pătrunderea penetrometrului în teren. Întrucât aceste suprafețe, având forma unor spirale logaritmice (fig.1.14) coboară sub nivelul vîrfului penetrometrului, este

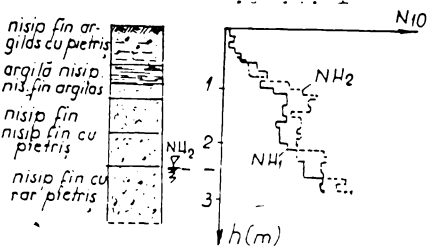


Fig.1.23. Influența apei subterane asupra rezistenței la penetrare după Paproth

relatbat creșterea aproximativ liniară a rezistenței la penetrare

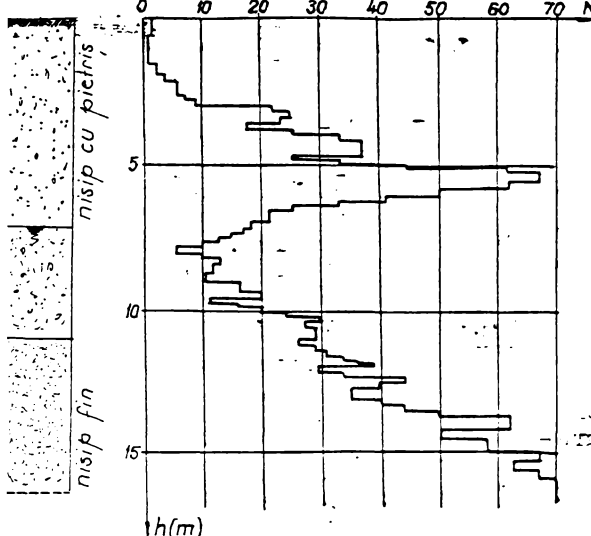


Fig. 1.20. Creșterea continuă a rezistenței de penetrare în stratul de nisip fin situat sub nivelul apelor subterane

în teren, însă la interval de timp, în care nivelul apelor subterane s-a modificat.

Prelucrările statistice efectuate de Melzér [55] pe baza valorilor măsurate deasupra și sub nivelul apelor subterane în cadrul experiențelor efectuate cu diverse tipuri de penetrometre, au stabilit o legătură liniară între rezistența la penetrare deasupra și sub nivelul apelor, având forma generală:

$$y = a_1 x + a_2 \quad \pm s_y \quad \dots \quad (1.24)$$

în care:

- y - rezistență la penetrare deasupra nivelului apelor;
- x - idem, sub nivelul apelor;
- a_1 și a_2 - coeficienți determinați în funcție de natura terenului și tipul penetrometrului; [55]
- s_y - abaterea medie patratică.

exprimat prin numărul de lovitură cu creșterea gradului de saturatie pînă la 0,82 (figura 1.22) după care se semnalază scăderea bruscă a rezistenței la penetrare. Fenomenul de creștere a rezistenței la penetrare se explică prin apariția coeziunii aparente datorită capilarității.

Odată cu coborârea sub nivelul apelor subterane se observă clar scăderea rezistenței la penetrare. În (fig. 1.23) sunt prezentate două diagrame de penetrare executate în ace-

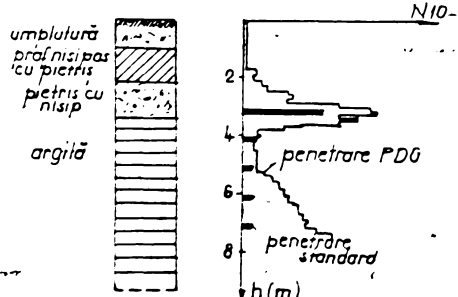


Fig. 1.21. Creșterea rezistenței de penetrare în stratul de argilă după Manzenbach [54].

evidență că sesizarea apariției unui strat mai slab, respectiv mai rezistent să se facă înainte de a pătrunde vîrful penetrometrului în stratul respectiv. De asemenea pătrunderea vîrfului penetrometru într-un strat mai slab decât cel anterior nu va marca scăderea bruscă a rezistenței la penetrare decădere suprafetele de alunecare se ridică mult deasupra vîrfului penetrometrului, ceea ce duce la majorarea rezistenței pînă cînd întreaga suprafață de alunecare se va găsi în interiorul stratului moale. Același fenomen se produce la pătrunderea penetrometrului într-un strat mai rezistent decât cel anterior.

Apariția unui strat moale sau a unui strat rezistent se resimte la o cotă mai ridicată cu 10-15 diametri.

1.3.6. Influența caracteristicilor utilajului

Dintre diferitele caracteristici ale utilajului s-a studiat mai îndeaproape influența mărimei secțiunii conului, a unghiului conului și a lungimii tijelor respectiv influența greutății acestora asupra rezultatelor penetrării.

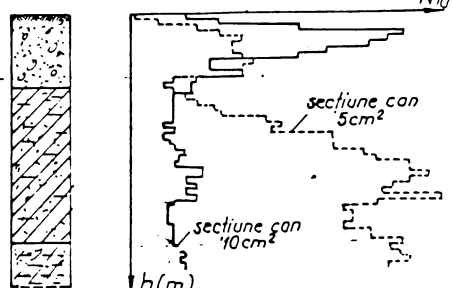
Rezistența la penetrare a pămînturilor necoezive crește cu mărimea secțiunii conului. Cînd penetrometrul nu este prevăzut cu o mantă de protecție a tijelor trebuie să se acorde atenție deosebită raporului $\frac{d}{d_1}$ care ar putea influența asupra rezultatelor penetrării. În (fig.1.24) se observă creșterea rezistenței de penetrare la conul cu secțiunea de $5,0 \text{ cm}^2$ sub cota -1,30m datorită manifestării puternice a forței de frecare pe tijă și nu datorează influenței diametrului.

Încercări efectuate cu penetrometre dinamice în pămînturi nisipoase [113] au reliefat că unghiul vîrfului penetrometrului are influență practic neglijabilă asupra rezistenței de penetrare.

La aceleași rezultate s-a ajuns și în pămînturi argiloase testate prin penetrare statică, cînd unghiul la vîrf depășește 20° [17].

Fig.1.24. Influența mărimi secțiunii conului asupra rezultatului penetrării, după H. Zweck.

Lungimea respectiv greutatea tijelor influentează asun-



rezultatelor penetrării. Odată cu creșterea lungimii se modifică raportul dintre energie cinetică și masa lovită astfel că o parte din această energie se consumă pe fenomene parazitare având drept consecință creșterea artificială a rezistenței terenului la penetrare și adâncimii.

Influența lungimii tijelor este redusă în cazul penetrării statice, dată fiind greutatea mică a tijelor în comparație cu forța statică de penetrare. Dimpotrivă la penetrometrele dinamice cu con - atât calculele bazate pe formula dinamice de baterie cît și încercările comparative semnalează influența crescîndă a lungimii tijelor.

Pînă la adâncimea de cca. 6,0 m, pe baza încercărilor cu PDG și PDU pe nisip în cuva, s-a obținut creșterea redusă a numărului de lovitură de 1,5 - 20 % [109].

Menzenbach [54] exprimă influența lungimii tijelor pe baza unei formule de baterie și ajunge la concluzia că în cazul PLG, la adâncimea de 20 m pentru aceeași rezistență dinamică de 500 dan se obține un număr dublu de lovitură față de sondajul executat la suprafață.

În stadiul actual, unii autori [109] introduc o corecție de adâncime care ține seama atât de influența frecvenții pe tijă cît și de variația raportului $\frac{G_1}{G_2}$, oferînd o reducere a numărului de lovitură cu coeficienții subunitari care pot coborî pînă la 0,48 la adâncime de 14-16 m.

Un alt aspect al creșterii adâncimii respectiv a lungimii tijelor constă în facilitarea abaterii la verticală a coloanei de sondaj, ceea ce duce la introducerea unor erori de măsurare.

Ruiter și alții [17] au propus montarea în vecinătatea conului a unui inclinometru și măsurarea rezistenței cu ajutorul unor timbre tensiometrice.

1.3.7. Influența vitezei de penetrare

În pămînturile coeziive moi, rezistența la penetrare este invers proporțională cu viteza de lucru. Interpretarea penetrării dinamice într-o argilă moale cu cca 4 minute la fiecare prelungire a tijei (fig.125), a condus la creșterea rezistenței la penetrare pe o adâncime mică, imediat după reluarea sondajului, acest fapt se datorește posibilității de filtrare a apei din porii sub efectul loviturilor anterioare.

La penetrarea statică, standardizată în India [19] se indică efectuarea sondajului cu viteză de 1 cm/s; scăderea vite-

zei la $0,5 - 0,3 \text{ cm/s}$ nu influențează asupra rezultatelor penetrării însă creșterea vitezei pînă la $2-3 \text{ cm/s}$ a avut următoarea influență :

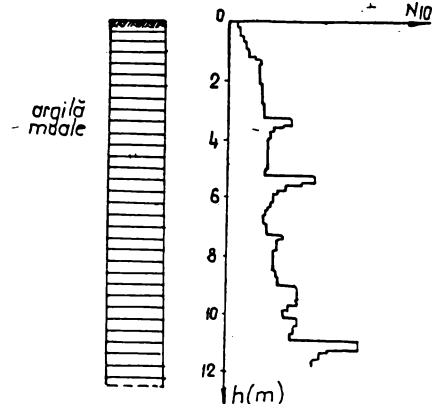


Fig. 1.25. Influența întreruperea provocată de prelungirea tijelor în argilă moale - Krausenberger [28].

pentru pămînturi

coezive avînd $R_p > 10 \text{ daN/cm}^2$ efectul vitezeide penetrare nu este semnificativ;

pentru pămînturile coezive avînd $R_p < 4,0 \text{ daN/cm}^2$, valoarea rezistenței de penetrare crește apreciabil cu viteza;

pentru pămînturile necoezive avînd $15 < R_p < 80 \text{ daN/cm}^2$ rezistența de penetrare cu con sporește cu cea. 20 %. În cazul pămînturilor necoezitive, întreruperile, practic nu au nici o influență asupra rezultatelor penetrării.

La penetrarea dinamică cu con se indică aplicarea loviturilor cu frecvență de $15-30 \text{ lov./minut}$, frecvență pe lîngă care s-a observat că efectele secundare sunt mai reduse.

1.4. STUDII CU PRIVIRE LA INTERPRETAREA CALITATII SI CALITATIVA A REZULTATELOR PENETRĂRII DINAMICE CU CON

1.4.1. Interpretarea calitativă a rezultatelor penetrării dinamice cu con

1.4.1.1. Identificarea uniformității litologice

Datele obținute prin sonde jeli de penetrare dinamică cu con efectuate în cadrul lucrărilor de cercetare a unui amplasament permit reducerea cantitativă a lucrărilor clasice de investigație.

Diagrama obținută pe baza datelor sondajelor pe penetrare, efectuate într-un punct al amplasamentului se compară cu diagrama de penetrare etalon determinat pe o stratificație cunoscută. În cazul în care cele două diagrame au alură asemănătoare, semnalindu-se diferențe foarte mici între numărul de lovituri "Nz", penetrarea efectuată în punctul respectiv poate înlocui forajul, deoarece terenul prezintă uniformitate.

Se va executa un nou foraj, acolo unde alura diagramei diferă de cea a diagramei etalon.

Penetrarea dinamică cu con fiind o metodă de învestigație continuă, permite detectarea și controlul stratificației terenului de fundare deoarece rezistența la penetrare pe vîrf, exprimată prin numărul de lovituri "Nz", variază în funcție de natura terenului. Prin această metodă pot fi sesizate chiar și intercalării subțiri, care se diferențiază pe pachetul în care se găsesc.

La stabilirea diferențelor orizonturi litologice trebuie să se țină seama de influența alternanței structurilor.

In cazul în care diagrama de penetrare nu delimită clar orizonturile litologice sau cînd apar neconcordanțe cu stratificația din forajul de referință, se recomandă utilizarea diagramei integrale sau diferențiale.

Diagrama integrală reprezintă variația numărului de lovitură insumate ($\sum Nz$) cu adîncimea. Diagrama prezintă puncte de inflexiune între care se acceptă o variație liniară (fig. I.3.)

Diagrama diferențială (vezi fig. I.3.) reprezintă variația $\Delta N / \Delta h$ cu adîncimea.

Punctele de inflexiune în diagrame integrale și salturile din cea diferențială, indică cota delimitării dintre straturile cu caracteristici diferite.

Pe baza penetrărilor și a unui număr limitat de foraj se pot întocmi profile litologice sau bloc diagrame, din care să rezulte grosimea diferențelor straturi, adîncimea la care se găsește stratul de portanță ridicată, gradul de uniformitate litologică pe suprafață unui amplasament.

1.4.1.2. Verificarea îndesării depozitelor naturale și a compactării celor artificiale.

In cazul unor depozite naturale de pămînturi nisipoase se poate efectua, prin metoda penetrării, verificarea uniformității îndesării, prin executarea unor sondaje de penetrare în diverse puncte ale amplasamentului. Pe verticala penetrărilor dispuse după diverse profile se reprezintă curbele de egal număr de lovituri obținute prin unirea absciselor egale din diagramele integrale.

Curbele care se mențin aproksimativ echidistante și paralele cu suprafața terenului, pun în evidență îndesarea uniformă pe zona respectivă în adîncime. În zona în care curbele devin concave, se semnalizează creșterea gradului de îndesare a terenului, respectiv acolo unde se îndepărtează, scădereea lui.

Pentru verificarea compactibilității rambleelor sau a pene-

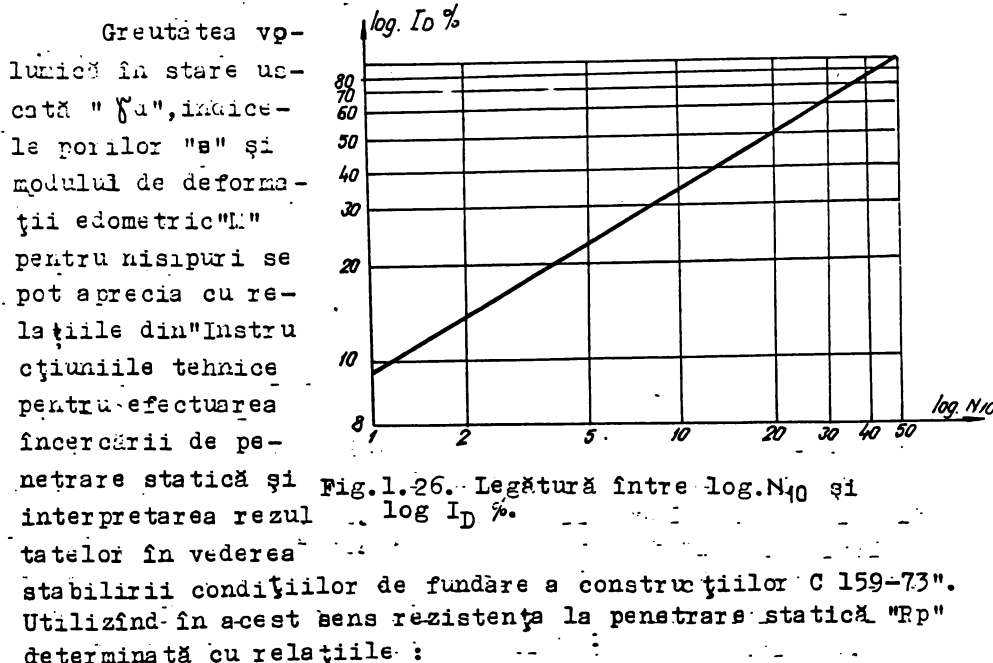
nelor din materiale granulare (pămînt, balast, zgură, etc) se utilizează o diagramă de penetrare etalon, obținute prin executarea unor penetrări într-un material identic cu materialul din care se execută rambleul (aceeași umiditate, granulometrie, etc) și săzat în condiții controlabile, în starea de îndesare impusă.

Prin compararea diagramelor de penetrare, obținute în diferite puncte ale rambleului, cu diagrama etalon, se evidențiază zonele slabe insuficient compactate.

Gradul de îndesare a nisipurilor mijlocii și fine din depozite naturale sau ramblee, se poate aprecia în funcție de numărul de lovituri "Nz" corespunzător penetrometrului dinamic ușor, cu relația [127] :

$$\log I_D \% = 0,554 \cdot \log N_{10} \text{ PDU} + 0,98 \quad (1.25)$$

reprezentată prin diagrama din (fig.1.26).



- pentru nisipuri mijlocii și fine, în cazul utilizării penetrometrului dinamic ușor

$$Rp = 2,03 N_{10} \text{ PDU} \quad (1.26)$$

- pentru nisipuri fine, în cazul utilizării penetrometrului dinamic greu

$$Rp = 2,8 N_{20} \text{ PDG} \quad (1.27)$$

~ pentru nisipuri medii și grosiere, în cazul utilizării penetrometrului dinamic greu;

$$E_p = 6,6 \cdot N_{20} \cdot PDG$$

(1.28)

În relațiile (1.25 ~ 1.28) și în diagrama din fig. (1.26) N_{10} , respectiv N_{20} , reprezintă valoarea corectă a numărului de lovitură în funcție de factorii de influență prezentați în (§. 1.3.) pînă la adîncimi de 3,0 ~ 4,0 m se pot utiliza valoarele N înregistrate (necorectate) după depășirea adîncimii critice.

1.4.1.3. Testarea calității lucrărilor de îmbunătățire ale terenurilor slabă de fundare

Penetrarea dinamică cu con poate fi utilizată pentru verificarea calității lucrărilor de îmbunătățire ale terenurilor slabă de fundare (necozeive sau slab coeziive) și pentru stabilirea adîncimii la care se manifestă efectul acestor lucrări. În acest sens se execută două serii de sondaje de penetrare :

- penetrări martor în terenul natural și
- penetrări de control în terenul îmbunătățit.

Numărul sondajelor de penetrare martor și control, disponibilitatea lor pe amplasament și adîncime pînă la care se execută pentru a depăși zona de influență sint în funcție de procedeul utilizat pentru îmbunătățirea terenului și vor fi stabilite de proiectant cu respectarea normelor și prescripțiilor în vigoare specifice lucrărilor de îmbunătățire.

În cazul îmbunătățirii terenurilor slabă prin procedee mecanice la stabilirea numărului sondajelor de penetrare martor și control la disponerea și interpretarea acestora se vor respecta prevederile respective din Normativul privind consolidarea terenurilor de fundare slabă prin procedee mecanice " C 23-24".

Prin compararea diagramelor de penetrare martor și de control se determină adîncimea pînă la care terenul a suferit modificări datorită lucrării de îmbunătățire. Creșterea numărului de lovitură " N_z " în terenul îmbunătățit față de numărul de lovitură în terenul natural indică sporirea capacitatei portante datorită modificării caracteristicilor geotehnice ale terenului.

Verificarea calității lucrării de îmbunătățire se poate face și prin compararea valorilor " N_z " cu cele obținute în cadrul lucrărilor de compactare experimentală pe baza cărora se fac toamăne diagrame etalon.

1.4.1.4. Aprecierea potențialului de lichefiere a nisipurilor.

Prin lichefiere se înțelege scăderea bruscă a rezistenței

la forfecare a unui pămînt necoeziv saturat, care produce o transformare temporară a materialului respectiv într-o masă fluidă. Este provocată de o prăbușire a structurii datorită socului sau altui tip de solicitare și este însoțită de o creștere bruscă, dar temporară, a presiunii apei din jur.

Se disting două tipuri de fenomene diferite :

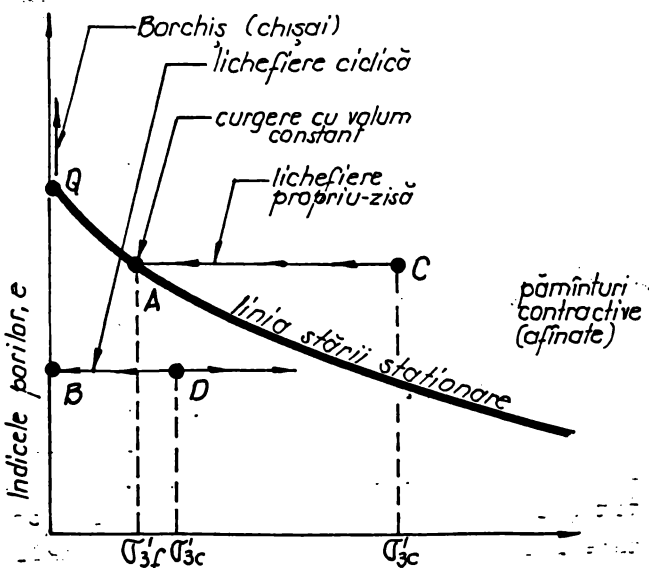
a) - Lichefierea propriu-zisă este fenomenul prin care un pămînt necoeziv saturat afinat își pierde o mare parte rezistență la forfecare și poate curge ca un lichid, datorită unei solicitări monoton crescătoare sau ciclice.

b) - Lichefierea ciclică este fenomenul de cedare progresivă a unui nisip saturat, afinat, cu îndesare medie sau îndesat, supus unei solicitări cu variație ciclică în condiții de volum constant.

Linia stării sta-

ționare (fig.1.27) reprezintă locul geometric al punctelor corespunzătoare stărilor în care pămîntul poate curge păstrându-și nemodificat indicele porilor, sub efort unitar principal minim (σ'_3) constant și sub efort unitar de forfecare (σ) constant.

Punctele de pe curbă le corespunde stări ale



Efortul unitar principal minim efectiv, σ'_3

Fig.1.27 Diagrama de stare la nisipuri pămînturi necoeziv pentru care variația de volum este nulă cind se produce cedarea prin forfecare în condiții drenate.

Lichefierea propriu-zisă este rezultatul cedării în condiții nedrenate a unui nisip saturat contractiv, reprezentat în diagrama de stare (fig.1.27), printr-un punct situat deasupra

liniei stării staționare. De exemplu pornindu-se din starea C se ajunge în starea A căreia în corespunde o curgere în regim permanent, sub volum constant și σ'_3 constant ($\sigma'_3 f$). În timpul curgerii în condiții nădrenate, starea pământului rămîne cea corespunzătoare punctului A din diagrama de stare.

Starea de nisip mișcător (borchiș sau chișai) corespunde punctelor de pe ordonată situată deasupra punctului Q. În această stare nisipul are rezistență zero și nu este niciodată contractiv nici dilativ, granulele din care este format nu sunt permanent în contact.

Lichefiera ciclică este exemplificată în (fig.1.27) cu ajutorul punctului D.

Sensibilitatea de lichefieri este mai mare la nisipurile fine uniforme decât la alte pământuri necoaze, pot fi lichefiate însă în nisipurile medii și grozioare, neuniforme.

Potențialul de lichefieri (P_L) se definește cu relația :

$$P_L = \frac{\sigma'_3 c - \sigma'_3 f}{\sigma'_3 f} = \frac{(\Delta \mu)_f}{\sigma'_3 f} \quad (1.29)$$

în care:

$\sigma'_3 c$ - efortul unitar principal minim efectiv inițial, respectiv cel de consolidare;

$\sigma'_3 f$ - efortul unitar principal minim efectiv în timpul curgerii în regim staționar, respectiv abscisa punctului de pe linia stării staționare corespunzătoare indicelui porilor inițial;

$(\Delta \mu)_f$ - creșterea de presiune a apei din pori.

Pericolul de lichefieri devine efectiv numai când potențialul de lichefieri este mare, depășind valori de ordinul a 5-10. Ca și în cazul lichefierii propriu-zise, lichefiera ciclică este mai probabilă la nisipurile fine și medii decât la nisipurile cu Pietriș sau la nisipurile prăfoase. Lichefiera ciclică este cu atât mai probabilă cu cât pământul nisipos saturat, se află într-o stare mai afinată. Pentru o apreciere calitativă, se recomandă criteriul din tabelul 1.10.

Gradul de intensitate seismică este cel rezultat din harta de macrozonare seismică a țării (STAS. 11100/1-77), care poate fi modificat pe bază unui studiu de microzonare seismică.

Lichefiera ciclică este cu atât mai puțin probabilă cu cât starea de eforturi se caracterizează prin valori mai mari ale eforțurilor unitare normale. Ca urmare, la adâncimi mai mari decât circa 15 m, depozitele naturale cu suprafață practic orizontală

Tabelul.1.10. Criteriul stării de îndesare pentru aprecierea sensibilității la lichefiere

Gradul de intensitate seismică	Gradul de îndesare I_D , la care pământul trebuie considerat suscetibil să se lichefie
mai mult decât VII	Pământul nu este lichefiabil indiferent de I_D
VII	Mai mic decât 0,6
VIII	Mai mic decât 0,7
IX	Mai mic decât 0,85
mai mare decât IX	Pământul este lichefiabil indiferent de I_D

nu se mai consideră lichefiabile, indiferent de compoziția granulometrică și starea de îndesare.

Din același motiv, rezistența la lichefiere " R_f ", pentru un anumit număr de cicluri ale solicitării se exprimă de regulă prin parametrul adimensional (numit și efort unitar de forfecare ciclic normalizat) [130] .

$$R_f = \tau_{\max,1} / \sigma'_0 \quad (1.30)$$

în care:

$\tau_{\max,1}$ - efortul unitar tangențial maxim la care se produce lichefiera într-un număr dat de cicluri de solicitare uniformă ;

σ'_0 - efortul unitar normal efectiv inițial, pentru o stare de eforturi izotropă existentă la începerea solicitării ciclice.

Încercările de teren urmăresc de regulă aprecierea stării de îndesare a depozitelor, ca principal factor care condiționează sensibilitatea de lichefieri.

Se enumerează următoarele tipuri de determinări :

a - prelevarea unor probe pentru determinarea gradului de îndesare ;

- probe netulburate prelevate cu stântă ;

- dispozitivul tip Soiltest ;

- dispozitivul tip Bishop ;

b - încercări de penetrare ;

- penetrarea dinamică standard ;

- penetrare dinamică cu con ;
- penetrare statică ;

Prelevarea unor probe "netulburate" cu staňă este posibilă din řanțuri sau puțuri, de la adîncimi relativ mici și deasupra nivelului apei subterane. La adîncimi mai mari pot apărea erori din cauza řelevarii terenului prin îndepărțarea sarcinii geologice sau îndesării în urma coborârii forțate a nivelului apei freatiche.

Dispozitivul tip Soiltest (ASTMD 2167-66) mășcară cu ajutorul unui balon impins de apă volumul unei gropi din care se scoate o cantitate cunoscută de pămînt.

Dispozitivul tip Bishop poate fi actionat în foraj sub nivelul apei subterane. Greutatea volumică în stare uscată γ_d , se determină cu relația

$$\gamma_d = \frac{G_s}{A \cdot l - \Delta_v} \quad (1.31)$$

în care : G_s - greutatea materialului extras, uscat în etuva la 105-110 °C;

A - aria secțiunii transversale a prelevatorului

l - adîncimea pe care prelevatorul a fost forțat să intre prin presare în pămînt ;

Δ_v - volumul de nisip pierdut la baza prelevatorului.

Incerarea de penetrare dinamică standard este cea mai utilizată metodă indicată pentru aprecierea sensibilității la lichifierea depozitelor de pămînturi necoezive. Metoda recomandată prin STAS 1242/5-81 nu este adecvată folosirii în cazul pămînturilor lichefiaibile.

Penetrarea dinamică cu con se va efectua în conformitate cu prevederile "Instrucțiunilor tehnice pentru cercetarea terenului de fundare prin penetrare dinamică cu con," indicativ Cl76-84.

Penetrarea statică se va efectua conform STAS 1242/2-76.

Efectuarea penetrării standard formează obiectul STAS 1242/3-81, "Teren de fundare. Cercetarea terenului prin penetrarea dinamică și foraj. Metoda nu se poate utiliza în cazul pămînturilor refulante în gaura de foraj sau care manifestă fenomene tixotropice. Ca urmare, metodică prevăzută în STAS 1242/5-81 nu poate fi aplicată la pămînturi lichefiaibile.

Societatea Internațională de Geotehnică și Fundații a numit un comitet tehnic pentru redactarea unor instrucțiuni de efectuare a incercării de penetrare standard (SPT) în 1985. Un material preliminar a fost întocmit în octombrie 1983; aceste recomandări

internationale provizorii au fost folosite la prezenta redactare. Au fost avute de asemenea în vedere standardele în vigoare în SUA și Japonia, țări în care S.P.T. este principala încercare în teren utilizată prin determinarea sensibilității la lichefiere a terenurilor nisipoase.

Cu ajutorul S.P.T. se determină rezistența pământului într-un foraj, prin înfigerea unui tub carotier, obținându-se astfel și probe tulburăte pentru identificare. Rezistența la penetrare poate fi corelată cu caracteristici ale pământului.

Rezistența la penetrare (N) reprezintă numărul de căderi ale unui berbec cu masa de 63,5 kg de la o înălțime de 76 cm pe o nișcovă montată în capul unui teren de tije, necesar pentru înfigerea pe 30 cm a unui tub carotier.

Ca mod de interpretare a rezultatelor, pentru compensarea efectului presiunilor negative în apa din pori care pot apărea la nișipurile cu indicele porilor inferior celui critic, la nișipurile fine sau prăfoase saturate, sub pînză de apă subterană, de căldură, valoarea N' înregistrată depășește 15, rezistența la penetrare standard va fi corectată astfel:

$$N = 15 \pm 0,5 (N' - 15) \quad (1.32)$$

Gradul de îndesare " I_D " poate fi apreciat în mod orientativ cu relația :

$$I_D = 0,21 \sqrt{n(\sigma_v + 0,7)} \quad (1.33)$$

în care: σ_v - este sarcina geologică efectivă exprimată în daN/cm^2 .

Lichefiabilitatea pămînturilor granulometric lichefiabile poate fi apreciată cu ajutorul graficului din (fig.1.28).

Criteriul de apreciere a lichefiabilității din (fig.1.28) poate fi folosit și în cazul acestei determinări stabilind corelația între rezistență la penetrare statică q_c , și rezistență la penetrare dinamică standard "N".

Se admite în general că raportul între " q_c " (daN/cm^2) și "N" (lovituri/30 cm) este de 3,5 ... 4 la nișipuri fine și 4,5 ... 5 la nișipuri groșiare.

1.4.2. Interpretarea cantitativă a rezultatelor penetrării dinamice cu con

Inainte de a trece la determinarea unor caracteristici ale pămînturilor este absolut necesar ca numărul de lovitură "N_z"

să fie reprezentativ pentru stratul respectiv.

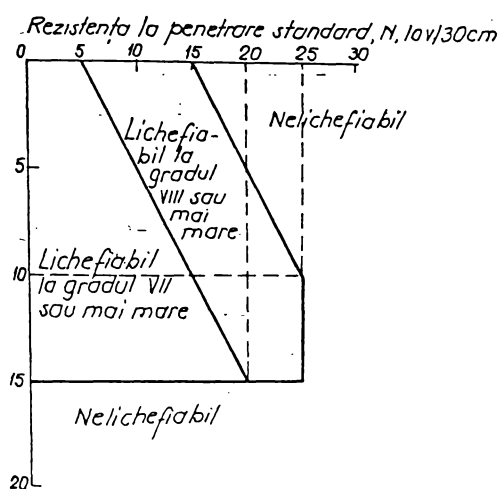


Fig.1.28. Aprecierea lichefiabilității depozitelor de pământuri nisipoase cu suprafața practic orizontală pe baza rezultatelor penetrării dinamice standard.

In acest scop se stabileste :

- natura terenului
- numărul de lovituri care se alege ca o valoare medie pe straturi elementare, numai sub o adâncime critică;
- adâncimea critică rezultate din diagrama de penetrare.

Cu această ocazie se vor elimina vîrfurile din diagrama de penetrare provocată de fragmente mari sau alte incluziuni.

1.4.2.1. Aspecte privind aprecierea unor caracteristici fizice ale pământurilor

a) Gradul de îndesare

Pentru stabilirea gradului de îndesare s-au făcut o serie de experiențe pe medii nisipoase riguroase controlate din punct de vedere al granulozității gradului de îndesare, a capacitatii de îndesare, etc.

Pe baza unor prelucrări statistice Melzer [55] a stabilit o formulă generală pentru calculul gradului de îndesare :

$$I_D = a_1 \cdot \log N_{20} + a_2 \cdot \gamma_h + a_3 + s_y \quad (1.34)$$

în care: N_{20} - numărul de lovituri pentru înaintarea conului penetrometrului pe adâncimea de 20 cm;

γ_h - sarcină geologică la nivelul vîrfului penetrometru;

a_1, a_2, a_3 - coeficienții care depinde de utilaj și de natura terenului;

s_y - abaterea medie.

In tabelul 1.11 se prezintă valorile coeficienților pentru determinarea gradului de îndesare în funcție de rezultatele penetrării cu penetrometrul dinamic ușor și greu în diferite tipuri de

pământuri și domeniul de valabilitate a corelației (1.34).

-Tabelul 1.11. Valori ale coeficienților de determinare
 $I_d = f(R_d)$

Tipul penetrometrului	Natura terenului nului	Coeficientii				Domeniul de valabilitate		
		a_1	a_2	a_3	s_y	starea de îndesare	γ_h (daN/ cm^2)	adîncimea (m)
PDG	Nisip mediu fin	0,283	0,375	0,445	0,068	Mediu îndesat	0,0-0,8	0,5
PDG	Nisip mare	0,378	0,226	0,385	0,059	Idem	0,5-1,0	2,5-6
PDU	Nisip cu pietriș	0,716	0,224	0,193	0,068	Idem	1,0-1,5	6-8
PDU	Nisip mediu fin	0,252	0,309	0,297	0,065	Idem	0,0-0,8	0-5
PDU	Nisip mare	0,364	0,231	0,273	0,062	Idem	0,5-1,0	2,5-6

Menzenbach a stabilit o relație aproximativă pentru determinarea gradului de îndesare în cazul folosirii penetrometrului dinamic greu [94].

$$I_D = 1,15 \times 0,281 \cdot n \frac{N_{20}}{h_{cr} + 0,53 (\gamma_h - 0,16)} \quad (1.35)$$

În care :

$$n = \frac{h_{cr}}{d}$$

h_{cr} = adîncimea critică;

d = diametrul conului penetrometrului;

N_{20} = γ_h su semnificația din relația (1.34).

b) Indicele porilor

Indicele porilor se apreciază pe baza corelațiilor obținute pentru nisipuri [55], care au următoarea formă generală :

$$e = -a_1 \log N_{20} + a_2 \gamma_h + a_3 + s_y \quad (1.36)$$

Termenii din relația (1.36) su aceeași semnificație cu cei din relația (1.34). Pentru penetrometrul dinamic ușor și greu

(A.1) rezultatul măsurării se scrie ca urmă cu care s-au efectuat încercările, formula (1.36) se particularizează :

- pentru PDG :

- indiferent cu fărâmătoare

$$\epsilon = -0,092 \log N_{20} + 0,166 \gamma h + 0,625 \pm 0,033 \quad (1.36a)$$

- pentru PDU :

- indiferent cu fărâmătoare

$$\epsilon = -0,080 \log N_{20} + 0,076 \gamma h + 0,680 \pm 0,032 \quad (1.36.b.)$$

In urma unor încercări efectuate pe nisip cu un penetrometru dinamic greu, Vorobkov [30] a stabilit dependența dintre porozitatea "n" și numărul de lovituri :

$$n = 46 - 7,5 \log N_{10} \quad (1.37)$$

In figura (1.29) se dau corelațiile obținute de Platkin [77] în condiții de laborator între numărul de lovituri N_{10} și gradul de îndesare I_D , indicele porilor "e" și greutatea volumică uscată γ_d pentru o umplutură de nisip fin cu umiditate redusă.

Corelațiile stabilite de diversi cercetaitori, sunt extrem de variate decareces pământurile încercate se deosebesc printre-ose serii de factori care toți concură și influențează rezistența la penetrare.

c) Indicele de consistență

Încercarea de penetrare dinamică este neșigură în cauză pământurilor agriloase din cauză influenței presiunii apei care depinde de viteza de penetrare, permeabilitatea și gradul de umiditate al pământului.

Din această cauză diferele corelații stabilite între rezistență la penetrare și starea de consistență sint satisfăcătoare numai pentru concluzii calitative.

In tabelul 1.12 se prezintă criteriile IPROTIM [27] pentru aprecierea stării de consistență cu penetrometrul mijlociu (PDM)

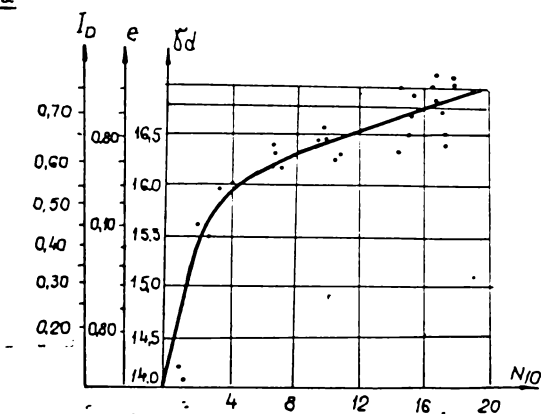


Fig. 1.29. Legătura între N_{10} și I_D , •; γ_d

în cadrul unor soluri care să nu fie foarte friabile sau ușor (PDU) pentru argilă prăfoasă din zona de nord - vest, a orașului Timișoara, pe adâncimi de 1,0-4,0 m.

Tabelul 1.12. Criterii IPROTIM pentru determinarea I_c pentru argilă prăfoasă.

Starea de consistență	Indicele de consistență (I_c)	N_{lo} PDM	N_{30} PDU	Caracteristici argilă prăfoasă
plastic consistent	0,50-0,75	5-10	7-15	$W_L = 43-54 \%$
plastic-vîrtos	0,75-1,00	10-20	15-25	$n = 38-43 \%$
tare	1,00	20	25	$w_p = 17-20 \%$ $s_r = 0,7-0,9$

cu penetrometrul ușor utilizat în Bulgaria, s-a aplicat și consistență criteriile fiind prezentate în tabelul 1.13

Tabelul 1.13. Aprecierea lui I_c pentru categorii de pămînt în funcție de N_{lo} PDU

Numărul de lovitură N_{lo}			Indicele de consistență (I_c)
argilă nisipoasă	nisip argilos	argilă	
4	7	3	$0 < I_c < 0,25$
4-5	7-8	3-5	$0,25 < I_c < 0,50$
5-6	8-10	5-7	$0,50 < I_c < 0,75$
6-la	10-16	7-10	$0,75 < I_c < 1$
-la	-16	14	$I_c = 1$

1.4.2.2. Aspecte privind aprecierea unor caracteristici mecanice

a - unghiul frecării inferioare

Încercări de penetrare efectuate în URSS [112] au dat posibilitatea stabilirii unei corelații între rezistență dinamică pd și unghiul frecării inferioare la diverse pămînturi, rezultatele prezentate în tabelul 1.14.

Tabelul 1.14. Corelațiile între P_d și ϕ pentru diverse pământuri

P_d (daN/cm ²)	Unghiul frecărării interioare ϕ		
	Nisip mediu și grosier	Nisip fin	Nisip prăfos
20	30	28	26
35	33	30	28
70	36	33	30
110	38	35	32
140	40	37	34
175	41	38	35

Presiunea sau rezistența dinamică din (tabelul 1.14) se calculează cu relația :

$$P_d = \frac{K \cdot L \cdot j \cdot n}{z} \quad (1.38)$$

în care :

k - coeficientul care ține seama de pierderea de energie pentru o lovitură de berbec în funcție de adâncimea având valoarea 0,65 ... 0,49 cînd adâncimea ce schimbă de la 0 la 20 m;

L - lucrul mecanic specific pe unitate de suprafață a conului ;

j - coeficientul care ține seama de frecarea din teren și penetrometrul, având valori în intervalul 1-0,6 ;

n - numărul de lovitură ;

z - pătrunderea pentru un număr dat de lovituri.

b) - modul de deformatie edometric, M

pentru aprecierea caracteristicilor de compresibilitate, cercetările efectuate pînă în prezent s-au analizat în direcția stabilirii unor corelații statistice între rezistență la penetrare și caracteristicile de compresibilitate a terenului determinate în laborator sau pe teren.

O largă răspîndire au primit corelațiile pentru aprecierea modulului de deformatie edometric, M, care deși prezintă o împrăștiere destul de mare au de partea lor avantajul rapidității și a prețului de cost scăzut:

In cazul pămînturilor nisipoase Chde [58] și Moussa [56] au stabilit relații :

$$M = \frac{d\sigma}{ds} = \left(\frac{\sigma}{\sigma_1} \right)^w \cdot V \quad (1.39)$$

în care :

σ - efort normal daN/cm²;

σ_1 - efort unitar, 1,0 daN/cm²;

V, w - coeficienți dependenți de natura retenului care rezultă din diagrama presiune - tasare relativă reprezentată în scară dublu logarithmică (fig.1.30).

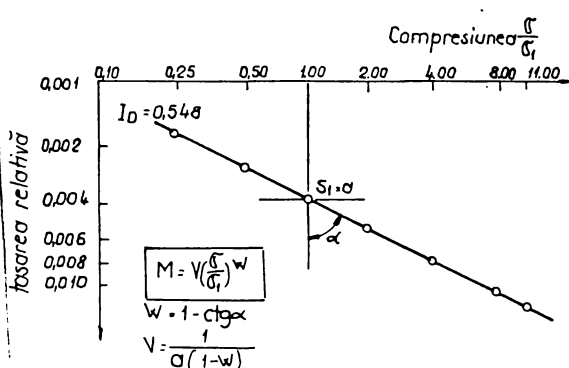


Fig.1.30. Diagrama compresiune - deformare pentru un pămînt ceeziv.

[56] pentru diverse adâncimi.

În (fig.1.31) sunt reprezentate curbele obținute pe baza încercările efectuate în nisip cu PDG, pentru simplificare pe axa ordonatelor s-a reprezentat valoarea M corespunzătoare lui $\sigma = 1,0$ daN/cm²; adică $M = V$.

Coefficientul de rigiditate, V, s-a calculat cu ajutorul rezultatelor penetrării dinamice, cu relație stabilită de Melzer [55] :

$$V = a_1 \log N_{20} - a_2 f_n + a_3 \pm s_y \quad (1.40)$$

în care :

a_1, a_2, a_3 - coeficienții care depind de natura terenului și de tipul penetrometrului;

s_y - abaterea medie.

Valorile modulului M, date de Menzenbach [94] (fig.1.28) sunt mult mai mici ca urmărește a tulburării probelor de nisip cu ocazia recoltării și introducerii probei în edometru.

Incerările efectuate în nisipuri și nișipuri pietriș au arătat că $w = 0,50$ și este independentă de rezistență la penetrare.

In literatură, se prezintă, după Menzenbach [legatura dintre rezistențele de penetrare pentru PDG și PEU în nisipuri sau nișipuri și pietriș și valorile coefficientului de rigiditate, V, calculat cu relațiile lui Moussa,

Cu penetrometrul dinamic ușor utilizat în Bulgaria [105] s-a stabilit următoarele corelații

în funcția de natura terenului :

- nisip cu pietris ;

$$M = 8,0 N_{lo}^{-9};$$

- nisip ;

$$M = 6,5 N_{lo}^{-3};$$

- nisip argilos ;

$$M = 6,7 N_{lo}^{-24};$$

- argilă nisipoasă

$$M = 4,3 M_{lo}^{-27};$$

- argilă ;

$$M = 4,0 N_{lo}^{-11};$$

c. Modulul de deformare liniară E

Experiențele efectuate de Sashkov [96], în terenuri nisipoase cu placă

de 5000 cm^2 cuplate cu sondajele de penetrare dinamică cu penetrometrul dinamic greu tip UBP ($G_1 = 60 \text{ kg}$; $H = 80 \text{ cm}$) au stabilit o dependență liniară între modulul de deformare E și rezistența dinamică la penetrare $R'd$.

$$E = \propto R'd \quad (1.41)$$

Valoarea coeficientului \propto depinde de natura terenului și de tipul penetrometrului.

Dudler lucrând în condiții asemănătoare cu Sashkov a obținut următoarea corelație [96].

$$E = (55 - 5p) N_{lo} \quad (1.42)$$

în care E - modulul de deformare obținut cu placă de încărcare în intervalul $p = 1,0 - 5,0 \text{ daN/cm}^2$;

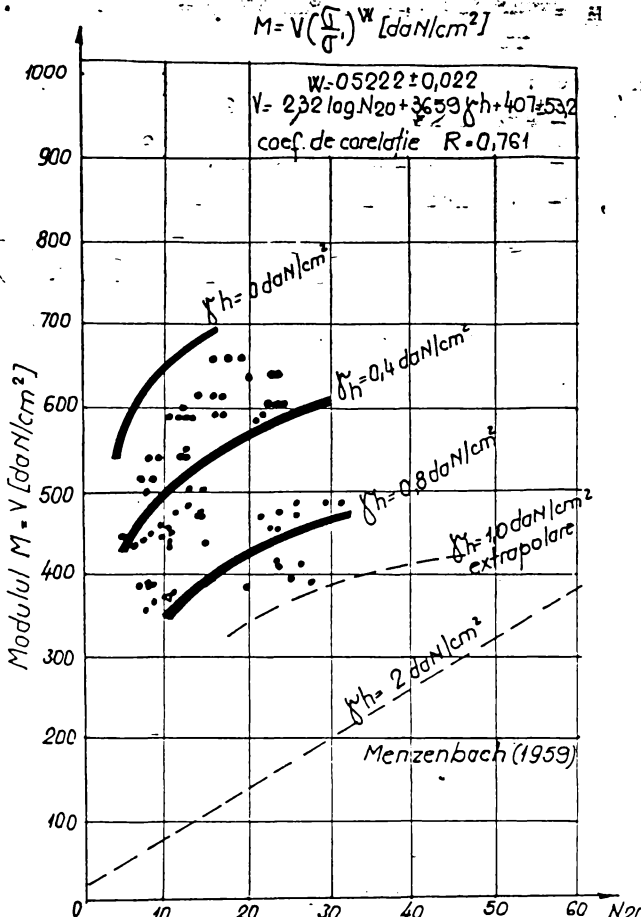


Fig. 1.31. Dependenta dintre modulul M și numărul de lovitură N20 (PDG) în cazul nisipului

- p - presiunea de placă, daN/cm²

Tabelul 1.15. Valorile al a₁, a₂, a₃ și s_y și domeniile de valabilitate

Tipul penetrometru lui	Natura terenului	Coeficienți			A baterii medie s _y	Domeniul de valabilitate		
		a ₁	a ₂	a ₃		V [daN/cm ²]	h max [daN/cm ²]	adin- cimea min (m)
PDG	Nisip mediu fin	232,0	365,9	407,0	53,2	200-700	0,262-0,0-0,366 0,8	0-5
PDG	Nisip mare	740,5	575,5	165,2	114,1	400-1000	0,420-0,5-0,476 1,00	2,5-6
PDU	Nisip mediu fin	229,8	322,0	251,2	49,2	300-700	0,262-0,0-0,336 0,8	0-5
PDU	Nisip mare	687,8	574,5	300,0	121,2	440-1000	0,420-0,6-0,476 1,0	2,5-6

Pentru nisipuri neuniforme de piatră, în intervalul 5-10 lo-
7cm, ce corespunde domeniului (slab îndesat), Dudler a stabilit
relația :

$$E = (55 - 5p) \frac{1}{l_0} - 100 \quad (1.43)$$

Tabelul 1.16. Corelații pentru stabilirea E = f(Pd)

Pd (daN/cm ²)	Modulul de deformatie E (daN/cm ²)		
	Nisip grosier și mijlociu	Nisip fin	Nisip prafos
20	200 - 160	130	80
35	260 - 210	190	130
70	390 - 340	290	220
110	490 - 440	350	280
140	550 - 500	400	320
175	600 - 550	450	350

La Simpozionul de la Stockholm, Trofimencov [112] a prezentat corelația pentru stabilirea modulului de deformare în funcție de rezistență dinamică, calculată cu formula (1.38). Valorile modulu lui sunt prezentate în tabelul 1.16.

Numărul de lovituri N_{lo} se alege ca o medie pe adâncimea activă a plăcii. Cu penetrometrul, dinamic ușor utilizat în Bulgaria [105] s-au stabilit pentru modulul de deformare în funcție de natura terenului următoarele corelații :

- nisip cu pietriș	$E = 2 N_{lo} + 2$
- nisip argilos	$E = 16 N_{lo} - 12$
- argilă nisipoasă	$E = 17 N_{lo} - 80$
- argilă	$E = 11 N_{lo} - 88$
	$E = 9,5 N_{lo} - 50$

1.4.2.3. Aprecierea capacitatei portante a terenului de fundare

In cazurile curente, la fundațiile cu suprafață care în raport cu cota de fundare în terenuri omogene, mărimea presiunii admisibile se calculează cu relația :

$$P_{ad} = \frac{R'd}{20} \quad (1.44)$$

în care : $R'd$ - este rezistența dinamică calculată cu formula plandeză, relația (1.15.a)

Prin compararea expresiilor date de Caquot și Kerisel [11] pentru rezistențele sub vîrful penetrometrului și sub o fundație, rezultă coeficienți de siguranță mari (peste 4) în cazul aplicării relației (1.44), dar la care nu se renunță în cazul când cercetarea terenului se face numai prin penetrare.

Când se dispune de date mai ample asupra terenului obținute cu alte metode de cercetare, este justificat să se reducă valoarea coeficientului de siguranță, astfel în cazul fundațiilor de mică adâncime în terenuri omogene, presiunea admisibilă se poate calcula cu relația :

$$P_{ad} = \frac{R'd}{15} \quad (1.41.a)$$

1.4.2.4. Evaluarea capacitatei portante a piloților

Una din cele mai importante aplicații ale încercărilor de penetrare dinamică este stabilirea piloților purtători pe vîrf introdusi în teren prin bătere [41].

Intre capacitatea portantă a piloților și rezistența de penetrare exprimat prin numărul de lovituri, Nz . Nu s-a stabilit pînă în prezent o relație directă.

In urma unor experiențe efectuate în pămînturi nisipoase [104] s-a ajuns la concluzia că estimarea capacitatei portante a piloților flotanți este posibilă folosind rezultatele penetrației dinamice cu con în bază legăturii stabilite între

rezistență dinamică medie pe lungimea pilotului și echivalentul frecării specifice pe măsură această. Rezistență dinamică de penetrare se calculează cu relația :

$$\text{în care: } R_d = \frac{G_1 \cdot H}{e} \quad (1.45)$$

G_1 = masa berbecului

H = înălțimea de cădere

e = pătrunderea conului sub o lovitură

Echivalentul frecării specifice este :

$$f_{eq} = \frac{R_{d,lim}}{A_f} \quad (1.46)$$

în care: $R_{d,lim}$ = capacitatea portantă a pilotului;

A_f = aria laterală a pilotului

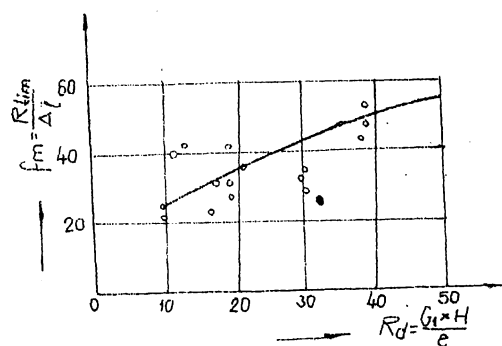


Fig.1.32. Diagramă de variație dintre rezistență dinamică medie și echivalentul frecării specifice

Un procedeu des întilnit pentru aprecierea capacitatei portante a pilotilor este cel bazat pe relații stabilite prin penetrarea statică, prin utilizarea unor corelații de trecere de la rezistență dinamică la cea statică.

NOTA : Particularile prezentate în anexa de față reprezintă studiul documentar elaborat în ideea de-a putea să permită autorului cunoașterea unor aspecte în domeniu, pentru a-i permite abordarea în contimpărare a penetrării dinamice cu colectivă protejată de manta/fără frecare.

În fig.(1.32) se prezintă diagrame de variație a echivalentului frecării specifice în funcție de rezistență dinamică pentru un pilot din beton armat.

Pentru aprecierea capacitatei portante a pilotilor, sondajele de penetrare dinamică se pot utiliza în corelare cu încercări de probă, pentru reducerea volumului acestora [41].

BORDEROU Anexa 2

REZULTATE MĂSURATORI - LISTINGURI

Anexa 2.1 Rezultatele măsurătorilor (de laborator) penetrărilor dinamice usoare (N_{10PDU}) și rezistențele dinamice (R_d) - perioadă mai-octombrie 1987 -

Anexa 2.2. Rezultatele măsurătorilor (de laborator) penetrărilor dinamice usoare cu manta (N_{10PDUm}) și rezistențele dinamice ($R_{d(m)}$) - perioada mai-octombrie 1987

Anexa 2.3. Valori măsurate respectiv calculate a rezultatelor penetrărilor statice cu con - perioada mai-octombrie 1987

Anexa 2.4. Rezultatele măsurătorilor penetrării dinamice cu con (N_{10}) și rezistențele dinamice (R_d) laborator - perioada octombrie-decembrie 1987

Anexa 2.5. Rezultatele măsurătorilor penetrărilor dinamice cu con și manta ($N_{10/m}$) și rezistențelor dinamice ($R_{d(m)}$) laborator - perioadă octombrie-decembrie 1987

Anexa 2.6. Valori măsurate respectiv calculate a rezultatelor penetrărilor statice cu con - perioada octombrie-decembrie

Anexa 2.7. Rezultatele măsurătorilor penetrărilor dinamice usoare (cu și fără manta) și rezistențele dinamice - amplasament curtea catedrei -

Anexa 2.8 Rezultatele măsurătorilor penetrării dinamice cu con (N_{10}) și rezistențele dinamice (R_d) - amplasament stadiion -

Anexa 2.9 Rezultatele măsurătorilor penetrării dinamice cu con și manta ($N_{10/m}$) și rezistențele dinamice ($R_{d(m)}$) amplasament stadiion -

Anexa 2.10 Schema penetrometrului dinamic mijlociu și greu cu acționare mecanică

Anexa 2.11 - 2.32 respectiv listinguri 2.5...2.26 și datele primare de la laborator 1 (stratificatie mai-octombrie 1987) laborator 2 (stratificatie octombrie-decembrie 1987); curtea catedrei; stadiion și datele de pe amplasamentul CET Timisoara, prelucrate de calculator

Anexa 2.1 - Rezultatele măsurătorilor (de laborator) penetrărilor dinamice ușoare (PDU) N_{10} și rezistențele dinamice aferente R_d - perioada mai-oct. 1987 -

nr. crt	adinci- med h [cm]	număr de lovituri					rezistență dinamică				valori medii	
		N_{10} (1)	N_{10} (2)	N_{10} (3)	N_{10} (4)		R_d (1)	R_d (2)	R_d (3)	R_d (4)	N_{10}	R_d [dantri]
0	1	2	3	4	5		6	7	8	9	10	11
1	10,0	2,0	4,0	2,0	2,0		6,25	12,43	6,21	6,21	2,5	7,77
2	20,0	2,0	3,0	3,0	3,0		6,25	9,33	9,33	9,33	2,75	8,56
3	30,0	5,0	4,0	4,0	4,0		14,88	12,43	12,43	12,43	4,25	13,0
4	40,0	7,0	6,0	5,0	6,0		21,74	18,61	15,54	18,62	6,0	18,6
5	50,0	10,0	8,0	6,0	6,0		31,09	24,87	18,61	18,62	7,5	23,2
6	60,0	9,0	8,0	6,0	7,0		28,01	24,87	18,61	21,89	7,5	23,3
7	70,0	14,0	9,0	7,0	7,0		43,79	28,01	21,89	21,89	9,25	28,8
8	80,0	11,0	8,0	7,0	8,0		34,54	24,87	21,89	24,87	8,5	26,5
9	90,0	11,0	9,0	8,0	8,0		34,54	28,01	24,84	24,87	9,0	28
10	100,0	10,0	9,0	6,0	8,0		31,09	28,01	18,61	24,87	8,25	25
11	110,0	10,0	9,0	7,0	8,0		27,65	24,91	19,47	22,12	8,25	23,3
12	120,0	9,0	8,0	8,0	7,0		24,91	22,12	22,12	19,47	8,0	22,1
13	130,0	15,0	14,0	13,0	14,0		41,27	38,95	36,38	38,95	14,0	38,9
14	140,0	17,0	16,0	15,0	16,0		47,01	44,60	41,27	44,60	16,0	44,6
15	150,0	15,0	14,0	14,0	15,0		41,27	38,25	38,95	41,27	14,5	40,6
16	160,0	17,0	16,0	15,0	15,0		47,68	44,61	41,27	41,27	15,75	43,7
17	170,0	18,0	16,0	15,0	16,0		50,28	44,61	41,27	44,60	16,25	45,1
18	180,0	19,0	15,0	16,0	15,0		53,18	41,90	44,60	41,22	16,25	45,2
19	190,0	15,0	15,0	14,0	14,0		41,27	41,27	44,60	38,95	15,0	41,4
20	200,0	15,0	16,0	16,0	15,0		41,27	44,60	44,60	41,27	15,5	42,8
21	210,0	15,0	14,0	15,0	14,0		37,16	35,07	37,16	35,07	14,5	36,6
22	220,0	11,0	11,0	11,0	12,0		27,66	27,66	27,66	30,00	11,25	28,2
23	230,0	9,0	9,0	10,0	10,0		22,43	22,43	24,90	24,90	9,5	23,6
24	240,0	8,0	7,0	8,0	7,0		19,92	17,53	19,92	17,53	7,5	18,72
25	250,0	9,0	8,0	9,0	8,0		22,43	19,92	19,92	22,43	8,5	21,17
26	260,0	9,0	10,0	10,0	12,0		22,43	24,90	24,90	30,00	10,25	25,5
27	270,0	12,0	11,0	12,0	11,0		30,00	27,66	30,00	27,66	11,5	28,8
28	280,0	40,0	40,0	40,0	40,0		99,60	99,60	99,60	40,0	40,0	99,60

Anexa 2.2. Rezultatele măsurătorilor de laborator penetrărilor dinamice usoare cu manta (PDUm) N_{10m} și rezistențele dinamice Rdm - perioada mai-oct. 1987

nr. crt.	adânci- mea h [cm]	număr de lovitură				rezistență dinamică				valori medii	
		N _{10(m1)}	N _{10(m2)}	N _{10(m3)}	N _{10(m4)}	Rd(m1)	Rd(m2)	Rd(m3)	Rd(m4)	N _{10(m)}	Rd
0	1	2	3	4	5	6	7	8	9	10	11
1	10,0	2,0	4,0	2,0	1,0	6,23	24,87	6,21	3,10	2,25	10,1
2	20,0	2,0	3,0	3,0	3,0	6,23	9,35	9,33	9,33	2,75	8,5
3	30,0	4,0	4,0	4,0	3,0	12,43	12,43	12,43	9,33	3,75	11,6
4	40,0	5,0	4,0	5,0	5,0	15,54	12,43	15,54	15,54	4,75	14,7
5	50,0	6,0	5,0	5,0	5,0	18,61	15,55	15,54	15,54	5,25	16,3
6	60,0	8,0	5,0	6,0	5,0	24,87	15,55	18,63	15,54	6,0	18,6
7	70,0	7,0	5,0	6,0	6,0	21,89	15,55	18,63	18,63	6,0	18,6
8	80,0	6,0	4,0	8,0	6,0	18,61	12,43	24,87	18,63	6,0	18,6
9	90,0	6,0	5,0	7,0	6,0	18,61	15,55	21,89	18,63	6,0	18,6
10	100,0	8,0	4,0	8,0	5,0	21,89	12,43	21,89	18,63	6,0	18,6
11	110,0	8,0	4,0	8,0	5,0	22,12	11,06	22,12	13,82	6,25	17,2
12	120,0	6,0	4,0	6,0	5,0	16,55	11,06	16,55	13,82	5,25	14,2
13	130,0	12,0	11,0	11,0	10,0	33,31	30,72	30,72	27,65	11,00	30,7
14	140,0	14,0	13,0	12,0	38,95	38,95	36,38	36,38	33,31	13,0	36,3
15	150,0	12,0	12,0	10,0	13,0	33,31	33,34	37,65	36,38	11,75	32,2
16	160,0	14,0	13,0	12,0	14,0	38,95	36,38	33,31	38,95	13,25	38
17	170,0	15,0	15,0	14,0	14,0	41,27	41,90	38,95	38,95	14,50	40
18	180,0	17,0	13,0	13,0	15,0	47,68	38,95	36,38	41,27	14,75	41
19	190,0	15,0	13,0	14,0	14,0	41,27	36,38	38,95	38,95	14,0	38,2
20	200,0	13,0	11,0	12,0	12,0	36,38	30,72	33,31	33,31	12,0	33,3
21	210,0	10,0	9,0	10,0	9,0	24,90	22,43	24,90	22,43	9,5	23,2
22	220,0	8,0	5,0	10,0	9,0	19,92	12,45	24,90	22,43	8,0	19,9
23	230,0	8,0	5,0	8,0	9,0	19,92	12,45	19,92	22,43	7,5	18,6
24	240,0	6,0	4,0	7,0	7,0	14,91	9,96	17,53	17,53	6,0	14,9
25	250,0	6,0	5,0	6,0	6,0	14,91	14,91	14,91	14,91	5,75	14,25
26	260,0	5,0	6,0	7,0	8,0	12,45	17,53	19,92	17,53	6,25	15,55
27	270,0	6,0	6,0	6,0	7,0	14,91	14,91	17,53	14,91	6,0	14,95
28	280,0	40,0	40,0	40,0	40,6	99,60	99,60	99,60	99,60	40,0	99,6

*Anexa 2.3 - Valori măsurate respectiv calculate a rezultatelor penetrărilor statice cu con-stratificări
- perioadă mai-oct. 1987*

nr. crt.	adincim. stratului h. [cm]	rezistență pe vîrful conului				valori medii
		Rp1 [daN/cm ²]	Rp2	Rp3	Rp4	
0	1	2	3	4	5	6
1	10,0	10,41	10,15	9,95	10,30	10,20
2	20,0	11,22	11,05	10,90	10,80	10,99
3	30,0	17,50	17,55	17,45	17,52	17,50
4	40,0	24,31	24,30	24,35	24,28	24,31
5	50,0	30,22	30,10	30,25	30,15	30,18
6	60,0	30,22	30,25	30,30	30,15	30,23
7	70,0	37,51	37,50	37,45	37,53	37,49
8	80,0	34,80	34,82	34,78	34,81	34,80
9	90,0	36,71	36,70	36,65	36,80	36,71
10	100,0	33,52	33,50	33,51	33,45	33,49
11	110,0	31,85	31,88	31,65	31,70	31,77
12	120,0	56,20	56,25	56,30	56,22	56,24
13	130,0	64,32	64,30	64,28	64,35	64,31
14	140,0	58,25	58,30	58,15	58,32	58,25
15	150,0	63,51	63,50	63,53	63,54	63,52
16	160,0	65,12	64,90	65,20	65,10	65,08
17	170,0	65,20	65,30	65,40	65,10	65,25
18	180,0	60,81	60,60	60,72	60,85	60,74
19	190,0	62,23	62,30	62,35	62,42	62,32
20	200,0	63,20	63,25	63,30	63,15	63,22
21	210,0	62,10	62,20	62,15	62,30	62,18
22	220,0	58,21	58,05	58,20	58,25	58,17
23	230,0	49,83	49,80	49,75	49,85	49,80
24	240,0	38,84	38,84	38,80	38,75	38,80
25	250,0	30,75	30,70	30,72	30,78	30,73
26	260,0	34,10	34,15	34,25	34,20	34,17
27	270,0	41,22	40,95	41,10	41,20	41,11
28	280,0	146,20	148,15	150,10	142,90	146,83

*Anexa 2.4 - Rezultatele măsurătorilor penetrării dinamice cu con N₁₀ și rezistența dinamică (Rd) laborator
- perioada oct.-dec. 1987*

nr. crt	h [cm]	număr de lovituri					rezistența dinamică [daN/cm ²]				Vabri medii	
		N ₁₀ 1	N ₁₀ 2	N ₁₀ 3	N ₁₀ 4		Rd ₁	Rd ₂	Rd ₃	Rd ₄	N ₁₀	Rd
0	1	2	3	4	5		6	7	8	9	10	11
1	10	2	2	2	2		6,21	6,21	6,21	6,21	2,0	6,21
2	20	2	2	3	2		6,21	6,21	9,33	6,21	2,25	6,99
3	30	3	3	2	3		9,33	9,33	6,21	9,33	2,75	8,55
4	40	4	4	4	4		12,43	12,43	12,43	12,43	4,0	12,43
5	50	6	5	6	6		18,61	15,54	18,61	18,61	5,75	17,84
6	60	6	5	5	5		18,61	15,54	15,54	18,61	5,5	17,07
7	70	7	7	7	7		21,89	21,89	21,89	21,89	7,0	21,89
8	80	8	9	8	9		24,87	28,00	24,87	28,00	8,5	26,43
9	90	13	12	12	13		40,90	37,30	37,30	40,90	12,5	39,10
10	100	13	13	13	13		40,90	40,90	40,90	40,90	13,0	40,90
11	110	14	16	15	16		38,95	44,24	38,95	44,24	15,0	41,59
12	120	14	13	14	13		38,95	36,38	38,95	36,38	13,0	37,34
13	130	20	19	19	18		55,30	52,53	52,53	49,77	13,5	52,52
14	140	21	20	21	20		58,82	55,30	58,82	55,30	19,0	57,0
15	150	20	20	21	21		55,30	55,30	58,82	58,82	20,5	57,06
16	160	20	21	22	21		55,30	58,82	60,83	58,82	21,5	58,44
17	170	23	22	24	23		64,30	60,83	66,36	64,30	23,0	63,94
18	180	21	21	22	22		58,82	58,82	60,83	60,83	21,5	59,82
19	190	14	13	15	14		38,94	32,76	41,47	38,94	14,0	38,02
20	200	14	14	14	13		38,94	38,94	38,94	38,94	13,75	38,19
21	210	13	13	11	10		32,76	32,76	27,67	24,90	11,75	29,52
22	220	12	10	11	9		30,00	24,96	27,67	22,43	10,5	25,25
23	230	10	9	9	10		24,90	22,43	22,43	24,90	9,5	23,66
24	240	10	10	10	10		24,90	24,90	24,90	24,90	10,0	24,90
25	250	11	12	11	11		27,67	29,88	27,67	27,90	11,25	28,22
26	260	10	11	11	10		24,90	15,71	15,71	24,90	10,5	20,30
27	270	40	38	41	39		99,60	94,62	102,09	97,11	39,5	98,35
28	280	45	43	45	46		113,18	107,07	113,18	114,54	44,75	111,99

Anexa 2.5 - Rezultatele măsurătorilor penetrațiilor dinamice
cu can și manta (N_{10m}) și rezistența dinamică
(R_{dm}) = laborator, perioada oct.-dec. 1987

nr. crt	h [cm]	numărul de lovituri				rezistența din. [daN/m ²]				Valori med	
		$N_{10}(m_1)$	$N_{10}(m_2)$	$N_{10}(m_3)$	$N_{10}(m_4)$	$R_d(m_1)$	$R_d(m_2)$	$R_d(m_3)$	$R_d(m_4)$	$N_{10}(m)$	$R_d(m_f)$
0	1	2	3	4	5	6	7	8	9	10	1
1	10	1,5	2	1,5	1,5	4,66	6,21	4,66	4,66	4,62	5,0
2	20	2,5	2	2,5	2	7,77	6,21	7,77	6,21	2,25	6,5
3	30	2,5	3	2	2,5	7,77	9,32	6,21	7,77	2,5	7,7
4	40	3,5	3	3,5	3,5	10,88	10,88	9,32	10,88	3,37	10-
5	50	5,5	5	5	5,5	15,54	17,09	15,54	15,54	5,25	5,25
6	60	5,5	5	5	5	17,09	15,54	15,54	15,54	5,12	15-
7	70	6,0	6	5,5	6	18,65	18,65	17,09	18,65	5,87	15-
8	80	7,0	8	6,5	7	21,76	24,87	20,20	21,76	7,12	21-
9	90	11	10	10,5	10	34,54	31,09	32,64	31,09	10,37	32-
10	100	12	12	11	12	37,30	37,30	34,54	37,30	11,75	36-
11	110	11	11	9,5	9,0	30,72	30,72	24,90	24,90	10,00	27-
12	120	12	12	11	11	33,31	33,31	30,72	30,72	11,5	31-
13	130	17	18	15	18	47,68	49,77	41,27	49,77	17,0	47-
14	140	18	17	17,5	17	49,77	47,04	48,38	47,0	17,37	48-
15	150	18	18	18	19	49,77	49,77	52,53	49,77	18,25	50-
16	160	18	18	18	17	49,77	47,68	49,77	47,68	17,50	48-
17	170	20	20	18	18	49,77	49,77	55,30	49,77	19,00	52-
18	180	18	17	18	17	55,30	47,68	49,77	47,68	17,50	48-
19	190	13	12	12	13	49,77	33,18	33,18	35,94	12,50	34,5
20	200	11	10	10	11	35,94	27,65	27,65	30,72	10,50	29-
21	210	11	8	9	8	30,72	19,92	22,43	19,92	9,0	22-
22	220	9,5	7	9	7	27,66	17,43	22,43	17,43	8,12	20,2
23	230	7	7	6,5	7	23,65	17,43	16,18	17,43	6,87	17,1
24	240	7	8	7	8	17,43	19,92	17,43	19,92	7,50	18,6
25	250	7	10	8	9	17,43	24,90	19,92	22,43	8,25	21,-
26	260	9	7	8	8	17,43	17,43	19,92	19,92	8,00	19,9
27	270	35	34	37	36	22,41	84,66	92,13	89,64	35,50	88,3
28	280	40	39	40	41	99,60	97,11	99,60	102,09	40,00	99,6

Anexa 2.6 - Valori măsurate respectiv calculate a rezultatelor penetrărilor statice cu con - perioada oct. - dec. 1987

nr. crt.	h [cm]	rezistență pe vîrful conic [daN/cm²]				valori medii Rp med [daN/cm²]
		Rp1	Rp2	Rp3	Rp4	
0	1	2	3	4	5	6
1	10	12,25	12,22	12,31	12,18	12,24
2	20	13,51	13,50	13,53	13,52	13,51
3	30	16,49	16,50	16,54	16,54	16,51
4	40	24,15	24,10	24,21	24,31	24,19
5	50	31,52	31,52	31,60	31,65	31,57
6	60	33,30	33,35	33,42	33,48	33,38
7	70	35,10	35,16	35,25	35,23	35,18
8	80	38,20	38,24	38,35	38,50	38,32
9	90	50,15	50,25	50,24	50,35	50,24
10	100	52,20	52,15	52,25	52,34	52,23
11	110	60,20	60,25	60,27	60,31	60,25
12	120	54,35	54,35	54,40	54,55	54,41
13	130	76,30	76,36	76,60	76,55	76,45
14	140	82,41	82,45	81,90	82,50	82,31
15	150	82,37	82,30	82,40	82,45	82,38
16	160	83,35	83,87	83,87	83,50	83,64
17	170	92,10	92,50	92,30	92,25	92,28
18	180	86,40	86,45	86,80	86,15	86,45
19	190	56,15	56,10	56,30	56,35	56,22
20	200	55,35	55,40	55,38	55,45	55,39
21	210	47,15	47,15	46,90	46,35	47,03
22	220	42,10	42,24	42,35	42,05	42,18
23	230	38,30	38,35	38,20	38,15	38,25
24	240	40,15	40,15	39,95	40,28	40,13
25	250	45,18	45,25	45,30	45,20	45,23
26	260	52,40	46,25	46,35	46,15	47,78
27	270	52,40	52,35	52,45	52,50	52,42
28	280	158,10	157,50	156,95	158,75	157,82

*Anexa 2.7- Rezultatele măsurătorilor penetrărilor dinamice
usoare cu și fără manta și rezistențele dinamice
(amploasement „catedra”).*

nr. crt.	h [cm]	numărul de lovituri					rezistența dinamică [daN/cm ²]				valori medii [daN/cm ²]			
		N 10 1	N 10 2	N 10 (m ₁)	N 10 (m ₂)	Rd ₁	Rd ₂	Rd(m ₁)	Rd(m ₂)	N 10	Rd	N 10 (m)	Rd(m)	
0	1	2	3	4	5	6	7	8	9	10	11	12	13	
1	10	25	25	25	25	77,73	77,73	77,73	77,73	25	77,73	25,0	77,73	
2	20	27	27	26	26	84,03	81,82	81,82	81,82	27	82,92	26,0	81,82	
3	30	24	24	24	23	75,84	75,84	75,84	72,31	24	75,84	23,8	74,0	
4	40	29	29	24	25	91,45	91,45	75,84	77,73	29	91,45	24,5	76,78	
5	50	29	28	28	26	91,45	88,84	84,03	81,82	28,5	90,14	26,5	82,9	
6	60	31	30	28	27	97,17	91,45	88,84	84,03	30,5	94,31	27,5	86,4	
7	70	25	26	23	24	77,73	81,82	72,31	75,84	25,5	79,77	23,5	74,0	
8	80	21	20	20	19	66,15	62,18	62,18	59,79	20,5	64,16	19,5	60,9	
9	90	14	14	13	12	43,79	43,79	40,91	37,46	14,0	43,79	12,5	39	
10	100	10	11	10	10	31,09	34,54	34,09	31,09	10,5	32,81	10,0	31	
11	110	11	12	9	9	30,72	33,31	33,31	24,91	11,5	32,01	9,0	24,9	
12	120	10	10	9	9	27,65	27,65	24,91	24,91	10,0	27,65	9,0	24,9	
13	130	9	8	8	7	24,91	22,12	22,12	19,47	8,5	23,51	7,5	20,7	
14	140	7	8	7	7	19,47	22,12	19,47	19,47	7,5	20,79	7,0	19,4	
15	150	7	7	6	6	19,47	19,47	16,55	16,55	7,0	19,47	6,0	16,5	
16	160	7	8	7	7	19,47	22,12	19,47	19,47	7,5	20,79	7,0	19,4	
17	170	8	9	7	7	22,12	24,91	19,47	19,47	8,5	23,51	7,0	19,4	
18	180	8	9	6	6	22,12	24,91	16,55	16,55	8,5	23,51	6,0	16,5	
19	190	9	9	8	7	24,91	24,91	22,12	19,47	9,0	24,91	7,5	20,7	
20	200	9	9	8	8	24,91	24,91	22,12	22,12	9,0	24,91	8,0	22,1	
21	210	9	10	9	9	22,43	24,90	22,43	22,43	9,5	23,66	9,0	22,4	
22	220	9	10	9	9	22,43	24,90	22,43	22,43	9,5	23,66	9,0	22,4	
23	230	8	9	8	8	19,92	22,43	19,92	19,92	8,5	21,17	8,0	19,92	
24	240	7	7	7	6	17,53	17,53	17,53	14,91	7,0	17,53	6,5	16,22	
25	250	8	8	8	7	19,92	19,92	19,92	17,53	8,0	16,22	7,5	18,7	
26	260	6	7	6	6	14,91	17,53	14,91	14,91	6,5	16,22	6,0	14,9	
27	270	6	7	5	5	14,91	17,53	12,45	12,45	6,5	16,22	5,0	12,45	
28	280	6	5	4	5	12,45	14,91	9,96	12,45	5,5	13,68	4,5	11,20	

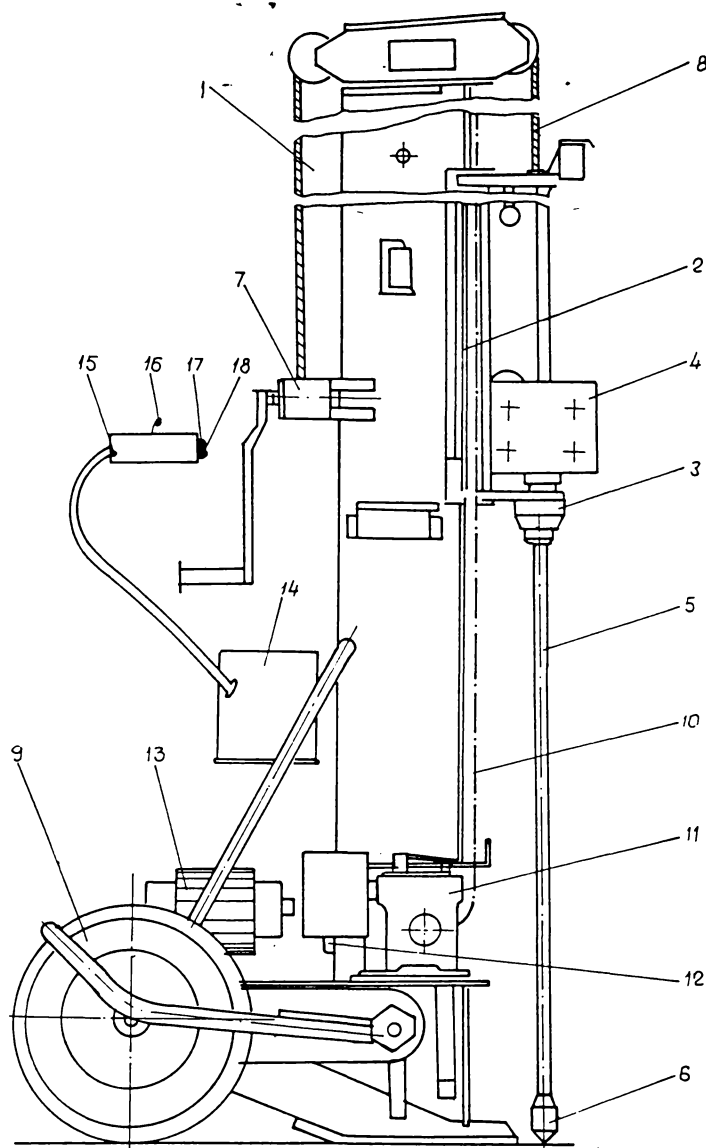
Anexa 2.8 - Rezultatele masurărilor penetrării dinamice cu consi rezistență dinamică
 Rd - amplasament Stădian)

nr. crt	h [cm]	nr. de lovitură				rezistență dinamică [ddN/cm²]				vabri medii	
		N10 1	N10 2	N10 3	N10 4	Rd1	Rd2	Rd3	Rd4	N10	Rd
0	1	2	3	4	5	6	7	8	9	10	11
1	10	9	7	7	9	28,01	21,89	21,89	28,01	8	24,95
2	20	25	19	9	20	73,73	53,61	28,01	62,30	18,25	55,41
3	30	35	21	20	35	111,05	66,15	62,18	111,05	27,75	74,60
4	40	28	28	23	26	88,84	88,84	73,21	81,82	26,25	69,95
5	50	28	28	21	28	88,84	88,84	66,15	88,84	26,25	65,16
6	60	26	30	29	28	81,82	94,22	91,45	88,84	28,25	71,08
7	70	29	30	21	28	91,45	94,22	72,31	88,84	27,00	75,00
8	80	30	32	27	29	94,22	100,30	84,03	91,45	29,50	79,50
9	90	29	36	27	28	91,45	115,16	84,03	88,84	30,00	81,87
10	100	27	30	27	23	84,03	94,22	84,03	72,31	26,75	73,64
11	110	24	28	24	22	67,45	79,01	64,45	61,45	24,50	63,84
12	120	23	29	23	22	64,31	81,33	64,31	61,45	24,50	56,85
13	130	21	23	22	15	58,84	64,31	61,45	41,27	20,25	50,46
14	140	14	18	14	16	38,95	50,28	38,95	44,60	15,50	43,19
15	150	14	15	14	14	38,95	41,27	38,95	38,95	14,25	39,53
16	160	12	14	12	14	33,31	38,95	33,31	38,95	13,00	36,13
17	170	10	16	12	13	26,65	44,60	33,31	36,38	12,75	35,48
18	180	13	18	13	13	36,38	50,38	36,38	36,38	14,25	39,85
19	190	11	19	15	13	30,72	53,18	41,27	36,38	14,50	40,38
20	200	11	15	11	11	30,72	41,27	30,72	30,72	12,00	33,35
21	210	11	13	10	10	27,66	32,76	24,90	24,90	11,00	27,55
22	220	10	13	8	11	24,90	32,76	19,92	27,66	10,50	26,31
23	230	10	12	11	12	24,90	30,00	27,66	30,00	11,25	28,14
24	240	11	12	10	12	27,66	30,00	24,90	30,00	11,25	28,14
25	250	11	14	10	18	27,66	35,07	24,90	45,27	13,25	33,22
26	260	11	14	10	20	24,90	35,07	24,90	49,80	13,75	34,35
27	270	10	18	11	15	24,90	45,27	27,66	37,16	13,50	33,75
28	280	10	21	10	17	24,90	52,97	24,90	42,93	12,00	36,42
29	290	10	16	10	16	24,90	40,16	24,43	40,16	13,00	32,53
30	300	9	16	9	17	22,43	40,16	22,43	42,93	12,75	31,98
31	310	10	19	10	14	22,64	43,54	22,64	31,89	13,25	30,17
32	320	16	18	16	16	36,52	41,17	36,52	36,52	16,50	37,60
33	330	18	18	18	16	41,17	41,17	41,17	36,52	17,50	40,00
34	340	18	10	18	23	41,17	22,64	41,17	52,66	17,25	39,41
35	350	13	11	13	25	29,79	25,16	29,79	56,61	15,50	35,33
36	360	12	10	10	21	27,28	22,64	27,28	48,18	13,75	31,34
37	370	14	15	14	20	31,89	33,79	31,89	45,28	15,75	35,71
38	380	14	12	14	19	31,89	27,28	31,89	45,54	14,75	33,65
39	390	14	14	14	13	31,89	31,89	31,89	39,79	13,75	31,36
40	400	27	14	17	14	39,04	31,89	39,04	31,89	15,50	35,46
41	410	21	20	21	13	44,17	41,52	44,17	27,32	18,75	39,29
42	420	20	20	20	12	41,52	41,52	41,52	25,01	18,00	37,20
43	430	30	25	12	13	61,07	51,91	25,01	27,32	20,00	41,32
44	440	25	20	15	15	51,91	41,52	30,99	30,99	18,75	38,85
45	450	21	22	17	16	44,17	46,14	35,80	33,49	19,00	39,90
46	460	21	21	19	19	41,17	44,17	39,93	39,93	24,00	41,30
47	470	26	25	24	21	54,64	51,91	50,64	44,17	24,00	50,34
48	480	26	26	25	19	64,54	54,64	50,64	39,93	24,00	49,96
49	490	27	25	24	22	56,11	51,91	50,64	46,14	24,50	51,20

Anexa 2.9 - Rezultatele măsurătorilor penetrării dinamice cu consi manta și rezistența dinamică (R_d) - amplasament „Stadion”

nr. crt	h [cm]	nr. de lovitură					rezistență dinamică [dan/cm ²]				vabri medii	
		N ₁₀ (m ₁)	N ₁₀ (m ₂)	N ₁₀ (m ₃)	N ₁₀ (m ₄)	R _d (m ₁)	R _d (m ₂)	R _d (m ₃)	R _d (m ₄)	N ₁₀ (m)	R _d (m)	
0	1	2	3	4	5	6	7	8	9	10	11	
1	10	3	8	7	5	28,01	24,87	21,89	15,54	7,25	22,57	
2	20	30	18	11	20	94,22	56,53	34,54	62,30	19,75	61,89	
3	30	23	25	18	25	72,31	77,73	56,53	77,73	22,15	71,07	
4	40	24	16	19	22	75,84	50,15	59,79	69,09	20,25	63,71	
5	50	24	12	18	24	75,84	37,46	56,53	75,84	22	61,40	
6	60	19	17	27	25	59,79	53,51	84,03	77,73	22	68,79	
7	70	21	29	17	25	66,15	91,45	53,61	77,73	23	72,23	
8	80	26	30	15	26	81,82	34,22	46,40	81,82	24,25	76,44	
9	90	26	35	17	23	81,82	111,05	53,61	72,31	25,25	80,69	
10	100	23	29	18	18	72,31	91,45	56,53	56,53	22	69,20	
11	110	22	28	16	16	61,45	79,01	44,60	44,60	20,50	51,41	
12	120	19	24	16	16	53,18	67,05	44,60	44,60	18,75	52,45	
13	130	19	22	14	14	53,18	61,45	38,95	38,95	17,25	48,13	
14	140	13	17	11	15	36,38	47,68	30,72	41,27	14	39,01	
15	150	13	13	12	13	36,38	36,38	33,31	36,38	12,75	35,61	
16	160	11	13	8	13	30,72	36,38	22,12	36,38	11,25	31,40	
17	170	9	14	11	11	24,91	38,95	30,72	30,72	11,25	31,32	
18	180	11	16	11	11	30,72	44,60	30,72	30,72	12,25	34,99	
19	190	10	17	14	12	27,65	47,68	38,95	33,31	13,25	36,89	
20	200	9	14	10	10	24,91	38,95	37,65	27,61	10,75	29,79	
21	210	7	12	9	9	17,53	30,00	22,43	22,43	9,25	23,09	
22	220	8	12	8	10	19,92	30,00	19,92	24,90	9,5	23,68	
23	230	6	11	10	11	14,91	27,66	24,90	27,66	9,5	23,78	
24	240	7	10	9	10	17,53	24,90	22,43	24,90	9	22,44	
25	250	8	12	9	16	19,92	30,00	22,43	40,16	11,25	28,12	
26	260	7	12	8	18	17,53	30,00	19,92	45,27	11,25	28,18	
27	270	8	16	9	14	19,92	40,16	22,43	35,07	11,75	29,39	
28	280	8	18	8	15	19,92	45,27	19,92	37,16	12,25	30,56	
29	290	8	15	8	13	19,92	37,16	19,92	32,76	11	27,44	
30	300	8	15	8	13	19,92	37,16	19,92	32,76	11	27,44	
31	310	9	18	9	12	20,40	41,17	20,40	27,28	12	27,31	
32	320	10	17	8	14	22,64	39,04	18,11	31,89	12,25	27,92	
33	330	11	18	10	14	25,16	41,17	22,64	31,89	13,25	30,21	
34	340	10	9	13	20	22,64	20,40	29,79	45,28	13	29,52	
35	350	9	10	12	23	20,40	22,64	27,28	52,66	13,0	30,74	
36	360	9	9	11	19	20,40	20,40	25,16	43,54	12	27,37	
37	370	10	13	11	16	22,64	23,79	25,16	36,52	12,5	28,52	
38	380	11	10	12	15	25,16	22,64	27,28	23,79	12	27,21	
39	390	11	11	12	10	25,16	25,16	27,28	22,64	11	25,06	
40	400	13	13	16	11	29,79	29,79	36,52	25,16	13,25	30,31	
41	410	15	15	18	10	30,99	30,99	37,75	20,76	12	30,12	
42	420	13	13	15	9	27,32	27,32	30,99	18,70	12,50	26,08	
43	430	17	16	8	9	35,80	33,49	16,61	18,70	12,50	26,15	
44	440	16	17	12	14	33,49	35,80	25,01	29,24	14,75	30,88	
45	450	14	15	16	13	29,24	33,49	30,99	27,32	14,5	30,26	
46	460	16	16	16	18	33,49	33,49	33,49	37,75	16,5	34,55	
47	470	19	18	20	18	39,93	37,75	41,52	37,75	18,75	39,23	
48	480	18	19	21	17	37,75	35,80	44,17	35,80	18,75	38,38	
49	490	18	18	20	18	37,75	37,75	41,52	37,75	18,5	38,69	
50	500	19	19	19	18	39,93	35,80	39,93	37,75	18,75	38,35	

Penetrometru dinamic mijlociu și greu cu actionare mecanică



- | | |
|---------------------------------|---------------------------------|
| 1 Catarg de ghidare cu talpă | 10 Lanț de antrenare berbec |
| 2 Sistem de lovire | 11 Reductor de turatărie |
| 3 Nicovală cu dispoz. de fixare | 12 Motor termic |
| 4 Berbec | 13 Motor electric |
| 5 Tijă | 14 Tablou electric |
| 6 Con de penetrare | 15 cutia de comandă |
| 7 Troliu manual | 16 Intrerupător |
| 8 Cablu de ridicare | 17 Indicator de nr. de lovitură |
| 9 Roți cu cameră de aer | 18 Bec de semnalizare |

N X0 H1 Y0 H2
28 0,000 1,000 0,000 1,000

- 69 -

Anexo Z-11
listing 2.5

X	Y	M	V	UM	U2M	V	VM	V2M	VVM
2,250	10,200	1	2,250	2,250	5,06	10,200	10,200	\$104,040	22,950
2,750	10,990	1	2,750	2,750	7,56	10,990	10,990	\$120,780	30,223
3,750	17,500	1	3,750	3,750	14,06	17,500	17,500	\$306,250	65,625
4,750	24,310	1	4,750	4,750	22,56	24,310	24,310	\$590,976	115,473
5,250	30,180	1	5,250	5,250	27,56	30,180	30,180	\$910,832	158,445
5,250	56,240	1	5,250	5,250	27,56	56,240	56,240	\$3162,938	1295,260
5,750	30,730	1	5,750	5,750	33,06	30,730	30,730	\$944,333	175,698
1	25,73572			4,25					
6,000	30,230	1	6,000	6,000	36,00	30,230	30,230	\$910,853	181,380
6,000	22,490	1	6,000	6,000	36,00	22,490	22,490	\$505,800	134,940
6,000	34,800	1	6,000	6,000	36,00	34,800	34,800	\$1211,040	208,800
6,000	36,710	1	6,000	6,000	36,00	36,710	36,710	\$1347,624	220,260
6,000	37,490	1	6,000	6,000	36,00	37,490	37,490	\$1405,500	224,940
6,000	38,800	1	6,000	6,000	36,00	38,800	38,800	\$1505,440	232,800
6,000	41,110	1	6,000	6,000	36,00	41,110	41,110	\$1690,032	246,660
6,250	31,770	1	6,250	6,250	39,06	31,770	31,770	\$1009,333	198,563
6,250	34,170	1	6,250	6,250	39,06	34,170	34,170	\$1167,589	213,563
2	34,17445			6,055555					
7,500	49,800	1	7,500	7,500	56,25	49,800	49,800	\$2490,040	373,500
8,000	58,170	1	8,000	8,000	64,00	58,170	58,170	\$3393,749	465,360
8,000	62,180	1	8,000	8,000	81,00	62,180	62,180	\$3866,353	559,620
3	56,71667			8,166667					
11,000	64,310	1	11,000	11,000	121,00	64,310	64,310	\$4135,776	707,410
11,750	63,520	1	11,750	11,750	138,06	63,520	63,520	\$4034,791	745,360
12,000	63,220	1	12,000	12,000	144,00	63,220	63,220	\$3936,763	758,640
13,000	58,250	1	13,000	13,000	169,00	58,250	58,250	\$3393,063	757,250
13,250	65,080	1	13,250	13,250	175,56	65,080	65,080	\$4235,407	881,310
4	62,876			12,2					
14,000	62,220	1	14,000	12,000	186,00	62,220	62,220	\$3663,732	671,480
14,500	55,250	1	14,500	14,500	216,25	55,250	65,250	\$4157,563	846,128
14,750	60,740	1	14,750	14,750	217,56	60,740	60,740	\$3639,348	825,915
49,000	145,330	1	49,000	49,000	\$1600,00	\$145,330	\$145,330	\$21559,650	\$5873,200
5	83,785			20,8125					

SM	SU	SUM	SU2M	SV	SVH	SV2M	SUVH
28,000	253,000	253,000	3640,250	1367,390	1367,390	\$79812,050	\$16544,750

VB	VB	R	H
9,036	46,693	0,239	± 377

XB YB BYX BYY
 9,036 46,693 3,494 0,252
 F= 1,098001
 392X= 50,15609
 392Y= 695,0645
 3X= 7,082097
 3Y= 26,36407
 M= 175,2424
 SY#= 25,889
 T= 6,097522
 TT= 0,8767759

$$Rp = f(N_{10m}) \quad (2.23)$$

$$N_{10m} = f(Rp) \quad (2.24)$$

N X0 H1 Y0 H2
28 0.000 1.000 0.000 1.000

X	Y	M	U	UM	U2M	V	VM	V2M	UVW
2,250	2,500	1	2,250	2,250	5,06	2,500	2,500	6,250	5,625
2,750	2,750	1	2,750	2,750	7,56	2,750	2,750	7,563	7,563
3,750	4,250	1	3,750	3,750	14,06	4,250	4,250	18,063	15,938
4,750	6,000	1	4,750	4,750	22,56	6,000	6,000	36,000	28,500
5,250	7,500	1	5,250	5,250	27,56	7,500	7,500	56,250	39,375
5,250	8,000	1	5,250	5,250	27,56	8,000	8,000	64,000	42,000
5,750	8,500	1	5,750	5,750	33,06	8,500	8,500	72,250	48,875
			5,642857	4,25					
6,000	7,500	1	6,000	6,000	36,00	7,500	7,500	56,250	45,000
6,000	7,500	1	6,000	6,000	36,00	7,500	7,500	56,250	45,000
6,000	8,250	1	6,000	6,000	36,00	8,250	8,250	68,063	49,500
6,000	8,500	1	6,000	6,000	36,00	8,500	8,500	72,250	51,000
6,000	9,000	1	6,000	6,000	36,00	9,000	9,000	81,000	54,000
6,000	9,250	1	6,000	6,000	36,00	9,250	9,250	85,563	55,500
6,000	11,500	1	6,000	6,000	36,00	11,500	11,500	132,250	69,000
6,250	8,250	1	6,250	6,250	39,06	8,250	8,250	68,063	51,563
6,250	10,250	1	6,250	6,250	39,06	10,250	10,250	105,063	64,063
2	8,039889		6,055555						
7,500	9,500	1	7,500	7,500	56,25	9,500	9,500	90,250	71,250
8,000	11,250	1	8,000	8,000	64,00	11,250	11,250	126,563	90,000
9,000	14,500	1	9,000	9,000	81,00	14,500	14,500	210,250	130,500
3	11,75		8,166667						
11,000	14,000	1	11,000	11,000	121,00	14,000	14,000	196,000	154,000
11,750	14,500	1	11,750	11,750	138,06	14,500	14,500	210,250	170,375
12,000	15,500	1	12,000	12,000	144,00	15,500	15,500	240,250	186,000
13,000	16,000	1	13,000	13,000	169,00	16,000	16,000	256,000	208,000
13,250	15,750	1	13,250	13,250	175,56	15,750	15,750	248,063	208,668
4	15,15		12,2						
14,000	15,000	1	14,000	14,000	196,00	15,000	15,000	225,000	210,000
14,500	16,250	1	14,500	14,500	210,25	16,250	16,250	264,063	235,625
14,750	16,250	1	14,750	14,750	217,56	16,250	16,250	264,063	239,598
40,000	40,000	1	40,000	40,000	\$1600,00	40,000	40,000	\$1600,000	\$1600,000
5	21,875		20,8125						

SM SU SUM SU2M SV SVM SV2M SUVW

28,000 253,000 253,000 3640,250 318,000 318,000 4915,875 4176,625

UB VB R H
9,036 11,357 0,981 5,095

XB YB BYX BXV
9,036 11,357 0,962 0,999

F= 0,3562906

SS2X= 50,15609

SS2Y= 48,30754

SX= -0,082097

$$N_{10} = f(N_{10m}) \quad (2.25)$$

$$N_{10m} = f(N_{10}) \quad (2.26)$$

N.	X0	H1	Y0	H2										
28.	0,000	1,000	0,000	1,000	X	Y	M	U	UM	U2M	V	VM	V2M	UVW
8,560	8,560	1	8,560	8,560	73,27	8,560	8,560	73,274	73,274					
10,100	7,770	1	10,100	10,100	102,01	7,770	7,770	60,373	78,477					
11,650	13,040	1	11,650	11,650	135,72	13,040	13,040	1170,042	1151,916					
14,290	21,170	1	14,290	14,290	204,20	21,170	21,170	1448,169	1302,519					
14,490	22,150	1	14,490	14,490	209,96	22,150	22,150	1490,623	1320,954					
14,760	18,630	1	14,760	14,760	217,86	18,630	18,630	1347,077	1274,979					
14,950	28,830	1	14,950	14,950	223,50	28,830	28,830	1031,169	1431,009					
21	17,16429			12,68571										
14,980	18,720	1	14,980	14,980	224,40	18,720	18,720	1350,438	1280,426					
15,580	25,550	1	15,580	15,580	242,74	25,550	25,550	1652,803	1398,059					
16,310	23,290	1	16,310	16,310	266,02	23,290	23,290	1542,424	1379,860					
17,280	23,530	1	17,280	17,280	298,60	23,530	23,530	1553,661	1406,598					
18,630	26,540	1	18,630	18,630	347,08	26,540	26,540	1704,372	1494,440					
18,640	23,340	1	18,640	18,640	347,45	23,340	23,340	1544,756	1435,058					
18,670	28,070	1	18,670	18,670	348,57	28,070	28,070	1787,925	1524,067					
18,670	28,890	1	18,670	18,670	348,57	28,890	28,890	1834,632	1539,376					
18,680	23,660	1	18,680	18,680	348,94	23,660	23,660	1559,796	1441,969					
2	24,62111			17,49333										
18,710	25,640	1	18,710	18,710	350,06	25,640	25,640	1657,410	1479,724					
23,310	36,630	1	23,310	23,310	543,36	36,630	36,630	1341,757	1353,845					
23,690	28,240	1	23,690	23,690	561,22	28,240	28,240	1797,498	1659,006					
3	30,17			21,90333										
30,720	39,950	1	30,720	30,720	943,72	38,850	38,850	1517,103	11195,544					
32,670	40,630	1	32,670	32,670	1067,33	40,580	40,580	1654,862	1329,016					
33,310	42,890	1	33,310	33,310	1163,56	42,880	42,880	1839,594	1428,333					
36,380	44,640	1	36,380	36,380	1323,51	44,640	44,640	1992,723	1624,003					
36,890	43,700	1	36,890	36,890	1360,87	43,700	43,700	1909,690	1612,093					
4	42,17			33,994										
38,950	41,490	1	38,950	38,950	1517,10	41,490	41,490	1721,420	1616,036					
40,260	45,190	1	40,260	40,260	1620,87	45,190	45,190	2042,136	1919,349					
41,070	45,230	1	41,070	41,070	1686,75	45,230	45,230	2045,753	1857,596					
.99,500	99,500	1	99,500	99,500	9920,16	99,600	99,600	19920,160	19920,160					
5	57,8775			54,97										
SM	SU	SUM	SU2M	SV	SVM	SV2M	SUVW							
28,000	701,800	701,800	\$25943,390	874,610	874,610	\$35390,750	\$29938,700							
UB	VB	R	H											
25,064	31,236	0,976	5,073											
XB	YB	BYX	BYX											
25,064	31,236	0,960	0,993											
F= 0,2966149														
SS2X= 309,3802														
SS2Y= 298,9394														
SI= 17,58921														
SY= 17,28986														
M= 296,934														
SY*= 16,97831														
T= 2,503175														
TT= 0,1449246														

$$Rd = f(Rdm) \quad (2.27)$$

$$Rdm = f(Rd) \quad (2.28)$$

SS2X= 172,1928

SS2Y= 2,993492

SX=613,19200

SY= 1,730171

M= 20,02331

SY#= 1,705971

T=0,47991281,800

TT=0,0370913,000

1 1.4

17,500 2,000

20,000 2,000

21,000 2,000

2 2

25,000 3,000

27,500 2,600

27,500 3,200

27,500 3,600

31,500 4,000

3 3,28

35,000 3,400

35,000 4,400

35,000 5,000

37,500 3,200

37,500 3,200

37,500 4,400

37,500 5,000

4 4,095714

40,000 4,000

40,000 6,000

42,500 3,500

42,500 4,200

42,500 5,700

5 4,68

45,000 4,000

45,000 5,600

47,500 4,200

47,500 5,900

47,500 6,900

6 5,36

51,500 5,000

51,500 5,600

51,500 6,600

7 5,733334

55,000 6,600

55,000 7,200

57,500 5,000

57,500 7,000

8 6,45

60,000 6,000

60,000 8,000

9 7

50

SM	SU	SUM	SU2M	SV	SVM	SV2M	SUVM
36,000	1419,000	1419,000	\$61959,000	161,000	161,000	824,800	7046,900

UB	VB	R	H
39,417	4,472	0,892	5,218

XB	YB	BY ₁	BY ₂
39,417	4,472	0,116	6,689

F= 0,74812E-02

- 73 -

Anexo 2
listing 2.1

SS2X= 172,1928

SS2Y= 2,993492

SX= 13,12223

SY= 1,730171

M= 20,02331

SY#= 1,705971

T = 0,4799128

TT=0,0370913

$$-N_{10} = f(R_p) \quad (2.31)$$

N X0 H1 Y0 H2
36 0.000 1,000 0.000 1,000

- 74 -

Anexo 2.1
listing 2.1

X	Y	M	U	UM	U2M	V	VM	W	WV	SS2X = 171,4165
										SS2Y = 42,52678
12,500	3,250	1	12,500	12,500	156,25	3,250	3,250	10,563	40,625	SX = 13,09261
15,000	7,000	1	15,000	15,000	225,00	7,000	7,000	49,000	\$105,000	SY = 6,521256
1	5,125			13,75						M = 81,20344
17,500	7,000	1	17,500	17,500	306,25	7,000	7,000	49,000	\$122,500	SY = 6,430044
20,000	7,400	1	20,000	20,000	400,00	7,400	7,400	54,760	\$148,000	T = 1,185603
21,000	8,000	1	21,000	21,000	441,00	8,000	8,000	64,000	\$168,000	TT = 9,183969E-02
2	7,466667			19,5						
25,000	12,000	1	25,000	25,000	625,00	12,000	12,000	\$144,000	\$300,000	
27,500	13,500	1	27,500	27,500	756,25	13,500	13,500	\$182,250	\$371,250	
27,500	14,100	1	27,500	27,500	756,25	14,100	14,100	\$198,810	\$387,750	
27,500	15,100	1	27,500	27,500	756,25	15,100	15,100	\$228,010	\$415,250	
31,500	15,100	1	31,500	31,500	992,25	15,100	15,100	\$228,010	\$475,650	
3	13,95			27,8						
35,000	16,000	1	35,000	35,000	\$1225,00	16,000	16,000	\$256,000	\$560,000	
35,000	17,300	1	35,000	35,000	\$1225,00	17,300	17,300	\$299,290	\$605,500	
35,000	20,000	1	35,000	35,000	\$1225,00	20,000	20,000	\$400,000	\$700,000	
37,500	17,000	1	37,500	37,500	\$1406,25	17,000	17,000	\$289,000	\$637,500	
37,500	17,000	1	37,500	37,500	\$1406,25	17,000	17,000	\$289,000	\$637,500	
37,500	20,000	1	37,500	37,500	\$1406,25	20,000	20,000	\$400,000	\$750,000	
37,500	22,500	1	37,500	37,500	\$1406,25	22,500	22,500	\$506,250	\$843,750	
4	18,54286			36,42857						
40,000	16,000	1	40,000	40,000	\$1600,00	16,000	16,000	\$256,000	\$640,000	
40,000	19,000	1	40,000	40,000	\$1600,00	19,000	19,000	\$361,000	\$760,000	
42,500	18,000	1	42,500	42,500	\$1806,25	18,000	18,000	\$324,000	\$755,000	
42,500	19,000	1	42,500	42,500	\$1806,25	19,000	19,000	\$361,000	\$807,500	
42,500	20,700	1	42,500	42,500	\$1806,25	20,700	20,700	\$428,490	\$879,750	
5	18,54			41,5						
45,000	17,000	1	45,000	45,000	\$2025,00	17,000	17,000	\$289,000	\$765,000	
45,000	21,000	1	45,000	45,000	\$2025,00	21,000	21,000	\$441,000	\$845,000	
47,500	20,000	1	47,500	47,500	\$2256,25	20,000	20,000	\$400,000	\$950,000	
47,500	21,000	1	47,500	47,500	\$2256,25	22,000	22,000	\$519,840	\$1083,000	
47,500	24,000	1	47,500	47,500	\$2256,25	24,000	24,000	\$576,000	\$1140,000	
6	20,95			45,5						
51,500	21,000	1	51,500	51,500	\$2652,25	21,000	21,000	\$441,000	\$1081,500	
51,500	22,000	1	51,500	51,500	\$2652,25	22,000	22,000	\$519,840	\$1174,200	
51,500	25,000	1	51,500	51,500	\$2652,25	25,000	25,000	\$625,000	\$1287,500	
7	22,93333			51,5						
55,000	22,500	1	55,000	55,000	\$3025,00	22,500	22,500	\$506,250	\$1237,500	
55,000	26,000	1	55,000	55,000	\$3025,00	26,000	26,000	\$676,000	\$1430,000	
57,500	25,500	1	57,500	57,500	\$3306,25	25,500	25,500	\$650,250	\$1466,250	
57,500	29,000	1	57,500	57,500	\$3306,25	29,000	29,000	\$841,000	\$1667,500	
8	25,75			56,25						
60,000	28,000	1	60,000	60,000	\$3600,00	28,000	28,000	\$784,000	\$1680,000	
60,000	31,000	1	60,000	60,000	\$3600,00	31,000	31,000	\$961,000	\$1860,000	
9	29,5			60						

SM	SU	SUM	SU2M	SV	SVM	SV2M	SUVM
36,000	1413,500	1419,500	\$61971,250	660,550	660,550	\$13608,610	\$28887,970

UB VB R H
39,431 18,349 0,951 5,627

XB YB BYX BXY
39,431 18,349 0,474 1,909

$$-R_d_{PDM} = f(R_p) \quad (2.32)$$

F= 1,970014

N X0 H1 Y0 H2
36 0,000 1,000 0,000 1,000

- 75 -

$$\begin{aligned} SS2X &= 0,0270351 \\ SS2Y &= 131,0477 \\ SX &= 0,1644235 \\ SY &= 11,44761 \\ M &= 1,584424 \\ SY &= 11,412 \\ T &= 1,700226 \\ TT &= 10,37279 \end{aligned}$$

X	Y	M	U	UM	U2M	V	VM	V2M	UVW
0,000	15,000	2	0,000	0,000	0,00	15,000	27,000	\$405,000	0,000
1	15		0	0					
0,230	12,000	1	0,230	0,230	0,05	12,000	12,000	\$144,000	2,765
0,301	17,500	2	0,301	0,602	0,18	17,500	35,000	\$612,500	10,536
0,301	20,000	2	0,301	0,602	0,18	20,000	40,000	\$800,000	12,041
0,301	21,000	2	0,301	0,602	0,18	21,000	42,000	\$882,000	12,643
2	18,42857			0,290947					
0,415	27,500	3	0,415	1,245	0,52	27,500	82,500	\$2268,750	34,235
0,477	25,000	3	0,477	1,241	0,59	25,000	65,000	\$1625,000	31,013
3	26,33929			0,4438277					
0,505	27,500	3	0,505	1,616	0,82	27,500	88,000	\$2420,000	44,453
0,505	37,000	4	0,505	1,819	0,92	37,000	\$133,200	\$4928,400	67,286
0,505	37,000	4	0,505	2,021	1,02	37,000	\$148,000	\$5476,000	74,762
0,531	35,000	3	0,531	1,807	0,96	35,000	\$119,000	\$4165,000	63,246
0,531	42,500	4	0,531	2,339	1,24	42,500	\$187,000	\$7947,500	99,387
0,556	27,500	5	0,556	2,782	1,55	27,500	\$137,500	\$13781,250	76,492
4	34,43644			0,5246893					
0,591	40,000	3	0,591	1,891	1,12	40,000	\$128,000	\$5120,000	75,656
0,602	31,500	3	0,602	1,927	1,16	31,500	\$100,800	\$3175,200	60,688
0,602	45,000	4	0,602	2,649	1,59	45,000	\$198,000	\$8910,000	\$119,208
0,623	42,500	5	0,623	3,116	1,94	42,500	\$212,500	\$3031,250	\$132,441
5	40,46203			0,6065386					
0,643	35,000	4	0,643	2,574	1,66	35,000	\$140,000	\$4900,000	90,093
0,643	47,000	6	0,643	3,861	2,48	47,000	\$292,000	\$10254,000	\$181,454
0,663	37,500	4	0,663	2,320	1,54	37,500	\$131,250	\$4921,875	66,987
0,699	35,000	4	0,699	2,936	2,05	35,000	\$147,000	\$5145,000	\$102,749
0,699	51,500	6	0,699	3,984	2,78	51,500	\$293,550	\$15117,820	\$205,183
0,699	57,500	4	0,699	2,796	1,95	57,500	\$239,000	\$13225,000	\$160,763
6	44,56423			0,6740926					
0,740	45,000	6	0,740	4,146	3,07	45,000	\$252,000	\$11340,000	\$186,571
0,740	51,500	4	0,740	3,258	2,41	51,500	\$226,600	\$11669,900	\$167,766
0,748	42,500	6	0,748	4,414	3,30	42,500	\$250,750	\$10556,880	\$187,608
0,763	40,000	7	0,763	5,268	4,02	40,000	\$276,000	\$11940,000	\$210,706
0,763	47,500	5	0,763	3,817	2,91	47,500	\$237,500	\$11281,250	\$181,314
0,778	37,500	6	0,778	4,358	3,39	37,500	\$210,000	\$7875,000	\$163,412
0,778	60,000	7	0,778	5,136	4,00	60,000	\$396,000	\$23760,000	\$308,148
7	46,22125			0,7599045					
0,820	51,500	7	0,820	5,409	4,43	51,500	\$339,900	\$17504,850	\$279,563
0,820	55,000	7	0,820	5,901	4,84	55,000	\$396,000	\$21790,000	\$324,539
0,833	47,500	5	0,833	4,163	3,47	47,500	\$237,500	\$11281,250	\$197,721
0,845	57,500	7	0,845	5,916	5,00	57,500	\$402,500	\$23143,750	\$340,152
0,857	55,000	6	0,857	5,144	4,41	55,000	\$330,000	\$18150,000	\$282,920
8	53,64465			0,8343375					
0,903	60,000	8	0,903	7,225	6,52	60,000	\$480,000	\$28800,000	\$433,493
9	60			0,9030901					

SM SU SUM SU2M - SV SUM SV2M SUVW
161,000 22,015 109,111 78,271 1417,500 7014,050 \$326538,400 5006,975

UB VB R H
0,678 43,566 0,842 10,648

XB YB BYX BXY
0,678 43,566 58,606 0,012

$$Rp = f(N_{10 PDM}) \quad (2.33)$$

F = 3,051815

N X0 H1 Y0 H2 - 76 -

Anexo 2.1E
listing 2.1E

X	Y	M	U	UM	U2M	V	VM	V2M	UVW
18,000	6,750	1	18,000	18,000	324,00	6,750	6,750	45,563	\$121,500
19,000	5,000	1	19,000	19,000	361,00	5,000	5,000	25,000	95,000
1	5,875		18,5						
19,500	5,300	1	19,500	19,500	380,25	5,300	5,300	28,090	\$103,350
20,500	9,000	1	20,500	20,500	420,25	9,000	9,000	81,000	\$184,500
21,500	6,000	1	21,500	21,500	462,25	6,000	6,000	36,000	\$129,000
2	6,766667		20,5						
23,000	6,700	1	23,000	23,000	529,00	6,700	6,700	44,890	\$154,100
24,000	8,000	1	24,000	24,000	576,00	8,000	8,000	64,000	\$192,000
24,500	8,250	1	24,500	24,500	600,25	8,250	8,250	68,063	\$202,125
24,500	11,250	1	24,500	24,500	600,25	11,250	11,250	1126,563	\$275,625
3	8,55		24						
26,000	7,500	1	26,000	26,000	676,00	7,500	7,500	56,250	\$195,000
27,500	15,000	1	27,500	27,500	756,25	15,000	15,000	1225,000	\$412,500
29,000	12,700	1	28,000	28,000	784,00	12,700	12,700	1161,290	\$355,600
4	11,73333		27,16667						
29,000	9,800	1	29,000	29,000	841,00	9,800	9,800	96,040	\$284,200
29,000	9,800	1	29,000	29,000	841,00	9,800	9,800	96,040	\$284,200
30,000	11,700	1	30,000	30,000	900,00	11,700	11,700	136,890	\$351,000
30,000	14,700	1	30,000	30,000	900,00	14,700	14,700	216,090	\$441,000
31,000	11,300	1	31,000	31,000	961,00	11,300	11,300	127,690	\$350,300
31,000	12,000	1	31,000	31,000	961,00	12,000	12,000	144,000	\$372,000
5	11,55		30						
32,000	12,000	1	32,000	32,000	1024,00	12,000	12,000	169,000	\$416,000
32,000	14,300	1	32,000	32,000	1024,00	14,300	14,300	204,490	\$457,600
33,000	11,000	1	33,000	33,000	1089,00	11,000	11,000	121,000	\$363,000
33,000	15,000	1	33,000	33,000	1089,00	15,000	15,000	255,000	\$528,000
6	13,575		32,5						
34,000	10,000	1	34,000	34,000	1156,00	10,000	10,000	100,000	\$340,000
35,000	12,000	1	35,000	35,000	1225,00	12,000	12,000	144,000	\$420,000
36,000	17,700	1	36,000	36,000	1296,00	17,700	17,700	313,290	\$637,200
7	13,23333		35						
37,000	15,000	1	37,000	37,000	1369,00	15,000	15,000	225,000	\$555,000
37,000	16,000	1	37,000	37,000	1369,00	16,000	16,000	256,000	\$592,000
37,000	21,000	1	37,000	37,000	1369,00	21,000	21,000	441,000	\$777,000
8	17,33333		37						
39,000	19,000	1	39,000	39,000	1521,00	19,000	19,000	361,000	\$741,000
40,000	13,000	1	40,000	40,000	1600,00	13,000	13,000	169,000	\$520,000
40,000	16,000	1	40,000	40,000	1600,00	16,000	16,000	256,000	\$640,000
9	16		39,66667						
41,000	17,700	1	41,000	41,000	1681,00	17,700	17,700	313,290	\$725,700
42,000	17,700	1	42,000	42,000	1764,00	17,700	17,700	313,290	\$743,400
10	17,7		41,5						

SM	SU	SUM	SU2M	SV	SVM	SV2M	SUVW
33,000	1004,000	1004,000	\$32049,500	400,150	400,150	5420,818	\$12958,900

CB	VB	R	H
30,424	12,126	0,849	4,800

XB	YB	BXY	EXY
30,424	12,126	0,522	1,380

F= 0,5360359

SS2X= 46,99627

SS2Y= 17,77174

$$N_{10PDM} = f(N_{10PDU}) \quad (2.34)$$

33	0,000	1,000	0,000	1,000	- 77 -					
X	Y	M	U	UM	U2M	V	VM	V2M	UVW	SX = 4,164203
5,000	19,000	1	5,000	5,000	25,00	19,000	19,000	\$361,000	95,000	SY = 6,80933
5,300	19,500	1	5,300	5,300	28,09	19,500	19,500	\$380,250	103,350	M = 24,21622
1	19,25		5,15							SY = 6,70536
6,000	21,500	1	6,000	6,000	36,00	21,500	21,500	\$462,250	129,000	T = 2,180316
6,700	18,000	1	6,700	6,700	44,89	18,000	18,000	\$324,000	120,600	TT = 0,5317034
6,700	23,000	1	6,700	6,700	44,89	23,000	23,000	\$529,000	154,100	
2	20,83333		6,466667							
8,000	24,000	1	8,000	8,000	64,00	24,000	24,000	\$576,000	192,000	
8,300	25,000	1	8,300	8,300	68,99	25,000	25,000	\$625,000	207,500	
8,300	26,000	1	8,300	8,300	68,99	26,000	26,000	\$576,000	215,800	
9,000	21,000	1	9,000	9,000	81,00	21,000	21,000	\$441,000	189,000	
3	24		8,400001							
9,800	29,000	1	9,800	9,800	96,04	29,000	29,000	\$841,000	1284,200	
9,800	29,000	1	9,800	9,800	96,04	29,000	29,000	\$841,000	1284,200	
10,000	34,000	1	10,000	10,000	100,00	34,000	34,000	\$1156,000	340,000	
4	30,666667		9,866667							
11,000	33,000	1	11,000	11,000	121,00	33,000	33,000	\$1089,000	1363,000	
11,300	25,000	1	11,300	11,300	127,69	25,000	25,000	\$625,000	1282,500	
11,300	31,000	1	11,300	11,300	127,69	31,000	31,000	\$961,000	1350,300	
11,700	30,000	1	11,700	11,700	136,89	30,000	30,000	\$900,000	1351,000	
12,300	31,000	1	12,300	12,300	151,29	31,000	31,000	\$961,000	1381,300	
12,300	35,000	1	12,300	12,300	151,29	35,000	35,000	\$1225,000	430,500	
5	30,83333		11,65							
13,000	28,000	1	13,000	13,000	169,00	28,000	28,000	\$784,000	1364,000	
13,000	33,000	1	13,000	13,000	169,00	33,000	33,000	\$1089,000	1429,000	
13,300	40,000	1	13,300	13,300	176,89	40,000	40,000	\$1600,000	1532,000	
14,300	32,000	1	14,300	14,300	204,49	32,000	32,000	\$1024,000	1457,600	
6	33,25		13,4							
14,700	30,000	1	14,700	14,700	216,09	30,000	30,000	\$900,000	1441,000	
14,700	37,000	1	14,700	14,700	216,09	37,000	37,000	\$1089,000	1543,900	
15,000	28,000	1	15,000	15,000	225,00	28,000	28,000	\$784,000	1420,000	
7	31,666667		14,9							
16,000	33,000	1	16,000	16,000	256,00	33,000	33,000	\$1089,000	1529,000	
16,000	37,000	1	16,000	16,000	256,00	37,000	37,000	\$1365,000	1532,000	
16,000	40,000	1	16,000	16,000	256,00	40,000	40,000	\$1600,000	1640,000	
8	36,666667		16							
17,300	42,000	1	17,300	17,300	299,29	42,000	42,000	\$1764,000	1726,600	
17,600	36,000	1	17,600	17,500	309,76	36,000	36,000	\$1295,000	1633,600	
17,600	41,000	1	17,600	17,600	309,76	41,000	41,000	\$1681,000	1721,600	
9	39,666667		17,5							
19,000	39,000	1	19,000	19,000	361,00	39,000	39,000	\$1521,000	1741,000	
21,000	37,000	1	21,000	21,000	441,00	37,000	37,000	\$1369,000	1777,000	
10	38		20							

SM	SU	SUM	SU2M	SV	SVM	SV2M	SUVW
33,000	401,300	401,300	5434,350	1007,000	1007,000	\$32212,500	\$13020,650

SB	VB	R	H
12,161	30,515	0,854	4,931

XB YB B/X BXY
12,161 30,515 1,397 0,522

F= 1,758848

S92X= 17,34059

S92Y= 46,36697

(2)

$$N_{10PDU} = f(N_{10PDM}) \quad (2.35)$$

11/18/2018 10:32

N	X0	H1	Y0	H2
31	0,000	1,000	0,000	1,000

X	Y	M	V	UM	U2M	V	VM	V2M	UVW
76,000	15,200	1	76,000	76,000	\$5776,00	15,200	15,200	\$231,040	\$1155,200
79,000	16,000	1	79,000	79,000	\$6247,00	16,000	16,000	\$256,000	\$1264,000
80,000	19,200	1	80,000	80,000	\$6400,00	19,200	19,200	\$368,640	\$1536,000
	16,8				28,33334				
85,000	18,000	1	85,000	85,000	\$7225,00	18,000	18,000	\$324,000	\$1530,000
90,000	17,600	1	90,000	90,000	\$8100,00	17,600	17,600	\$309,760	\$1584,000
90,000	22,800	1	90,000	90,000	\$8100,00	22,800	22,800	\$519,840	\$2052,000
96,000	19,000	1	96,000	96,000	\$9216,00	19,000	19,000	\$361,000	\$1824,000
	2	19,35			90,25				
100,000	21,000	1	\$100,000	\$100,000	\$10000,00	21,000	21,000	\$441,000	\$2100,000
100,000	23,800	1	\$100,000	\$100,000	\$10000,00	23,800	23,800	\$556,440	\$2380,000
100,000	20,400	1	\$100,000	\$100,000	\$10000,00	20,400	20,400	\$416,160	\$2040,000
100,000	27,000	1	\$100,000	\$100,000	\$10000,00	27,000	27,000	\$729,000	\$2700,000
	3	23,05			100				
100,000	19,200	1	\$100,000	\$100,000	\$10000,00	19,200	19,200	\$368,640	\$1920,000
100,000	24,600	1	\$100,000	\$100,000	\$10000,00	24,600	24,600	\$605,160	\$2460,000
100,000	26,000	1	\$100,000	\$100,000	\$10000,00	26,000	26,000	\$676,000	\$2600,000
	4	23,26667			100				
104,000	22,800	1	\$104,000	\$104,000	\$10816,00	22,800	22,800	\$519,840	\$2371,200
104,000	26,600	1	\$104,000	\$104,000	\$10816,00	26,600	26,600	\$707,560	\$2756,400
107,100	26,600	1	\$107,000	\$107,000	\$11449,00	26,600	26,600	\$707,560	\$2846,200
107,100	29,800	1	\$107,000	\$107,000	\$11449,00	26,800	26,800	\$718,240	\$2867,600
	5	25,7			105,5				
110,000	27,800	1	\$110,000	\$110,000	\$12100,00	27,800	27,800	\$771,840	\$3058,000
110,000	26,800		\$110,000	\$110,000	\$12100,00	26,800	26,800	\$771,840	\$3048,000
110,000	29,200	1	\$110,000	\$110,000	\$12100,00	29,200	29,200	\$851,640	\$3212,000
	6	27,93333			110				
111,000	27,000	1	\$111,000	\$111,000	\$12321,00	27,000	27,000	\$729,000	\$2397,000
111,000	24,800	1	\$111,000	\$111,000	\$12321,00	24,800	24,800	\$615,040	\$2252,800
111,000	28,600	1	\$111,000	\$111,000	\$12321,00	28,600	28,600	\$817,360	\$3174,600
112,000	31,600	1	\$112,000	\$112,000	\$12544,00	31,600	31,600	\$998,560	\$3539,200
	7	28			111,25				
118,000	29,600	1	\$118,000	\$118,000	\$13924,00	29,600	29,600	\$876,160	\$3492,800
120,000	27,200	1	\$120,000	\$120,000	\$14440,00	27,200	27,200	\$739,840	\$3264,000
121,000	28,800	1	\$121,000	\$121,000	\$14641,00	28,800	28,800	\$829,440	\$3484,800
125,000	30,200	1	\$125,000	\$125,000	\$15625,00	30,200	30,200	\$912,040	\$3775,000
	8	28,95			121				
134,000	30,600	1	\$134,000	\$134,000	\$17356,00	30,600	30,600	\$936,360	\$4100,400
135,000	28,200	1	\$135,000	\$135,000	\$18225,00	28,200	28,200	\$795,240	\$3807,000
	9	29,4			134,5				

SM	SU	SUM	SU2M	SV	SVM	SV2M	SUVM
31,000	3246,000	3246,000	\$346166,000	763,000	763,000	\$19419,240	\$81602,200

UB	VB	R	H
104,710	24,613	0,853	4,670

XB	YB	BYX	BXY
104,710	24,613	0,272	2,672

F= 1,863515

SS2X= 209,2796

SS2Y= 21,31983

SX= 14,4665

SY= 4,61734

M= 56,95704

$$N_{OPDM} = f(R_p) \quad (2.36)$$

N	X0	H1	Y0	H2
31	0,000	1,000	0,000	1,000

X	Y	M	U	UM	U2M	V	VM	V2M	UVH	--
76,000	38,100	1	76,000	76,000	\$5776,00	38,100	38,100	\$1451,610	\$2895,600	
79,000	37,220	1	79,000	79,000	\$6241,00	37,220	37,220	\$1385,328	\$2940,390	
80,000	44,740	1	80,000	80,000	\$6400,00	44,740	44,740	\$2001,668	\$3579,200	
1	40,02			78,33324						
85,000	32,530	1	85,000	85,000	\$7225,00	32,530	32,530	\$1058,201	\$2765,050	
90,000	44,110	1	90,000	90,000	\$8100,00	44,110	44,110	\$1945,692	\$3969,900	
90,000	41,290	1	90,000	90,000	\$8100,00	41,290	41,290	\$1704,864	\$3716,100	
96,000	38,650	1	96,000	96,000	\$9216,00	38,650	38,650	\$1493,823	\$3710,400	
2	39,145			90,25						
100,000	42,720	1	\$100,000	\$100,000	\$10000,00	42,720	42,720	\$1824,999	\$4272,000	
100,000	48,420	1	\$100,000	\$100,000	\$10000,00	48,420	48,420	\$2344,496	\$4842,000	
100,000	47,460	1	\$100,000	\$100,000	\$10000,00	47,460	47,460	\$2252,451	\$4746,000	
100,000	51,680	1	\$100,000	\$100,000	\$10000,00	51,680	51,680	\$2670,823	\$5168,000	
3	47,57			100						
102,000	44,670	1	\$100,000	\$100,000	\$10000,00	44,670	44,670	\$1995,409	\$4467,000	
100,000	50,040	1	\$100,000	\$100,000	\$10000,00	50,040	50,040	\$2504,002	\$5004,000	
100,000	52,890	1	\$100,000	\$100,000	\$10000,00	52,890	52,890	\$2797,352	\$5289,000	
4	49,2			100						
104,000	58,970	1	\$104,000	\$104,000	\$10816,00	58,970	58,970	\$3477,461	\$6132,880	
104,000	48,080	1	\$104,000	\$104,000	\$10816,00	48,080	48,080	\$2311,687	\$5000,320	
107,000	45,650	1	\$107,000	\$107,000	\$11449,00	45,650	45,650	\$2093,923	\$4884,550	
107,000	45,680	1	\$107,000	\$107,000	\$11449,00	45,680	45,680	\$2104,975	\$4903,150	
5	49,645			105,5						
110,000	50,250	1	\$110,000	\$110,000	\$12100,00	50,250	50,250	\$2525,063	\$5527,500	
110,000	51,930	1	\$110,000	\$110,000	\$12100,00	51,930	51,930	\$3022,800	\$6047,800	
110,000	55,830	1	\$110,000	\$110,000	\$12100,00	55,830	55,830	\$3123,822	\$6147,900	
6	53,70667			110						
111,000	51,660	1	\$111,000	\$111,000	\$12321,00	51,660	51,660	\$3570,603	\$6736,480	
111,000	47,550	1	\$111,000	\$111,000	\$12321,00	47,550	47,550	\$2289,622	\$5311,350	
111,000	54,750	1	\$111,000	\$111,000	\$12321,00	54,750	54,750	\$2997,563	\$6077,250	
112,000	54,100	1	\$112,000	\$112,000	\$12544,00	54,100	54,100	\$2926,810	\$6059,200	
7	52,095			111,25						
118,000	53,950	1	\$118,000	\$118,000	\$13924,00	53,950	53,950	\$2910,603	\$6366,100	
120,000	52,070	1	\$120,000	\$120,000	\$14400,00	52,070	52,070	\$2711,285	\$6248,400	
121,000	62,920	1	\$121,000	\$121,000	\$14641,00	62,920	62,920	\$3958,926	\$7613,320	
125,000	65,550	1	\$125,000	\$125,000	\$15625,00	65,550	65,550	\$4296,803	\$8193,750	
8	58,6225			121						
134,000	52,380	1	\$134,000	\$134,000	\$17956,00	52,380	52,380	\$2743,665	\$7018,920	
135,000	53,980	1	\$135,000	\$135,000	\$18225,00	53,980	53,980	\$2913,840	\$7287,300	
9	53,18			134,5						

SM	SU	SUM	SU2M	SV	SVM	SV2M	SUVM
31,000	3246,000	3246,000	\$346166,000	1523,450	1523,450	\$76500,270	\$161926,800

$$Rd_{PDM} = f(Rp) \quad (2.37)$$

VB	YB	BYX	BXY
104,710	49,144	0,752	4,118

F= 2,34439

SS21= 209,2796

SS2Y= 54,41719

SX= 14,4665

SY= 7,376801

M= 80,22917

SY = 7,256849

T = 3,092263

TT = 0,2172867

N X0 H1 Y0 H2
41 0,000 1,000 0,000 1,000

- 80 -

X	Y	M	U	UM	U2M	V	VM	V2M	UVW
3,000	7,000	1	3,000	3,000	9,00	7,000	7,000	49,000	21,000
3,000	10,000	1	3,000	3,000	9,00	10,000	10,000	100,000	30,000
4,000	17,000	1	4,000	4,000	16,00	17,000	17,000	289,000	68,000
1	11,000000		3,000000						
4,750	16,000	1	4,750	4,750	22,56	16,000	16,000	256,000	76,000
5,000	14,500	1	5,000	5,000	25,00	14,500	14,500	210,250	72,500
5,000	16,000	1	5,000	5,000	25,00	16,000	16,000	256,000	80,000
5,250	15,500	1	5,250	5,250	27,56	15,500	15,500	240,250	81,375
5,250	18,000	1	5,250	5,250	27,56	18,000	18,000	324,000	94,500
5,250	20,000	1	5,250	5,250	27,56	20,000	20,000	400,000	105,000
2	16,666667		5,000000						
6,000	14,000	1	6,000	6,000	36,00	14,000	14,000	196,000	84,000
6,000	15,000	1	6,000	6,000	36,00	15,000	15,000	225,000	90,000
6,000	16,000	1	6,000	6,000	36,00	16,000	16,000	256,000	96,000
6,000	17,500	1	6,000	6,000	36,00	17,500	17,500	306,250	105,000
6,000	18,500	1	6,000	6,000	36,00	18,500	18,500	342,250	111,000
7,000	18,000	1	7,000	7,000	49,00	18,000	18,000	324,000	126,000
7,000	21,000	1	7,000	7,000	49,00	21,000	21,000	441,000	147,000
3	17,14286		6,285714						
7,500	20,500	1	7,500	7,500	56,25	20,500	20,500	420,250	153,750
7,750	20,500	1	7,750	7,750	60,06	20,500	20,500	420,250	158,875
8,000	24,000	1	8,000	8,000	64,00	24,000	24,000	576,000	192,000
8,500	21,000	1	8,500	8,500	72,25	21,000	21,000	441,000	173,500
8,500	23,000	1	8,500	8,500	72,25	23,000	23,000	529,000	195,500
4	21,8		8,05						
10,000	18,500	1	10,000	10,000	100,00	18,500	18,500	342,250	135,000
10,000	24,000	1	10,000	10,000	100,00	24,000	24,000	576,000	240,000
10,000	25,000	1	10,000	10,000	100,00	25,000	25,000	625,000	250,000
11,000	23,500	1	11,000	11,000	121,00	25,500	25,500	650,250	260,500
11,000	28,000	1	11,000	11,000	121,00	28,000	28,000	784,000	308,000
5	24,2		10,4						
11,900	30,000	1	11,900	11,900	141,61	30,000	30,000	900,000	357,000
11,900	32,500	1	11,900	11,900	141,61	32,500	32,500	1056,250	386,750
12,000	27,000	1	12,000	12,000	144,00	27,000	27,000	729,000	324,000
12,000	27,500	1	12,000	12,000	144,00	27,500	27,500	756,250	330,000
6	29,25		11,35						
15,000	29,000	1	15,000	15,000	225,00	29,000	29,000	841,000	435,000
15,000	30,000	1	15,000	15,000	225,00	30,000	30,000	900,000	450,000
15,000	33,000	1	15,000	15,000	225,00	33,000	33,000	1089,000	495,000
16,000	34,000	1	16,000	16,000	256,00	34,000	34,000	1156,000	544,000
16,000	37,500	1	16,000	16,000	256,00	37,500	37,500	1406,250	600,000
7	32,7		15,4						
17,500	42,500	1	17,500	17,500	306,25	42,500	42,500	1806,250	743,750
17,500	43,500	1	17,500	17,500	306,25	43,500	43,500	1892,250	761,250
8	43		17,5						
19,000	40,000	1	19,000	19,000	361,00	40,000	40,000	1600,000	760,000
19,000	44,000	1	19,000	19,000	361,00	44,000	44,000	1936,000	836,000
20,000	42,000	1	20,000	20,000	400,00	42,000	42,000	1764,000	840,000
20,000	48,000	1	20,000	20,000	400,00	48,000	48,000	2304,000	950,000
9	43,5		19,5						

SM SU SUM SU2M SV SVM SV2M SUVW
41,000 414,550 414,550 5226,783 1024,500 1024,500 29715,250 12352,250

VB R H

$$N_{10PDU} = f(N_{10PDM}) \quad (2.38)$$

12 0,000 1,000 0,000 1,000

- 81 -

listing 2.1

X	Y	M	U	UM	UV2M	V	VM	V2M	UVVM	
7,000	3,000	1	7,000	7,000	49,00	3,000	3,000	9,000	21,000	F = 1,416,192
10,000	3,000	1	10,000	10,000	100,00	3,000	3,000	9,000	30,000	SS2X = 99,389,66
14,000	6,000	1	14,000	14,000	196,00	6,000	6,000	36,000	84,000	SS2Y = 25,671,93
1	4			10,333,33						.SX = 9,969,437
14,500	5,000	1	14,500	14,500	210,25	5,000	5,000	25,000	72,500	SY = 5,066,748
15,000	6,000	1	15,000	15,000	225,00	6,000	6,000	36,000	90,000	M = 48,674,18
15,500	5,250	1	15,500	15,500	240,25	5,250	5,250	27,563	81,375	SY = 5,006,065
16,000	4,750	1	16,000	16,000	256,00	4,750	4,750	22,553	76,000	T = 0,736,3662
16,000	5,000	1	16,000	16,000	256,00	5,000	5,000	25,000	80,000	TT = 0,074,7577
16,000	6,000	1	16,000	16,000	256,00	6,000	6,000	36,000	96,000	
2	5,333,33			15,5						
17,000	4,000	1	17,000	17,000	289,00	4,000	4,000	16,000	68,000	
17,500	6,000	1	17,500	17,500	306,25	6,000	6,000	36,000	105,000	
18,000	5,250	1	18,000	18,000	324,00	5,250	5,250	27,563	94,500	
18,000	7,000	1	18,000	18,000	324,00	7,000	7,000	49,000	126,000	
18,000	10,000	1	18,000	18,000	324,00	10,000	10,000	100,000	180,000	
18,500	6,000	1	18,500	18,500	342,25	6,000	6,000	36,000	111,000	
18,500	6,000	1	18,500	18,500	342,25	6,000	6,000	36,000	111,000	
3	6,321,429			17,928,57						
20,000	5,250	1	20,000	20,000	400,00	5,250	5,250	27,563	105,000	
20,500	7,750	1	20,500	20,500	420,25	7,750	7,750	60,063	158,875	
21,000	7,000	1	21,000	21,000	441,00	7,000	7,000	49,000	147,000	
21,000	8,500	1	21,000	21,000	441,00	8,500	8,500	72,250	178,500	
23,000	7,500	1	23,000	23,000	529,00	7,500	7,500	56,250	172,500	
23,000	8,500	1	23,000	23,000	529,00	8,500	8,500	72,250	195,500	
23,500	10,000	1	23,500	23,500	552,25	10,000	10,000	84,000	225,000	
24,000	8,000	1	24,000	24,000	575,00	8,000	8,000	84,000	192,000	
4	7,612,5			22						
25,000	10,000	1	25,000	25,000	615,00	10,000	10,000	100,000	250,000	
25,500	11,000	1	25,500	25,500	650,25	11,000	11,000	121,000	281,000	
26,000	12,000	1	26,000	26,000	675,00	12,000	12,000	144,000	324,000	
27,000	12,000	1	27,000	27,000	729,00	12,000	12,000	144,000	324,000	
28,000	11,000	1	28,000	28,000	784,00	11,000	11,000	121,000	308,000	
29,000	15,000	1	29,000	29,000	841,00	15,000	15,000	225,000	455,000	
5	11,683,33			56,75						
30,000	12,000	1	30,000	30,000	900,00	12,000	12,000	144,000	350,000	
30,000	15,000	1	30,000	30,000	900,00	15,000	15,000	225,000	450,000	
33,000	12,000	1	33,000	33,000	1029,00	12,000	12,000	144,000	355,000	
33,000	15,000	1	33,000	33,000	1085,00	15,000	15,000	225,000	455,000	
34,000	16,000	1	34,000	34,000	1155,00	16,000	16,000	256,000	544,000	
6	14			32						
38,000	16,000	1	38,000	38,000	1144,00	16,000	16,000	256,000	583,000	
40,000	19,000	1	40,000	40,000	1600,00	19,000	19,000	361,000	750,000	
7	17,5			33						
42,000	20,000	1	42,000	42,000	1764,00	20,000	20,000	400,000	840,000	
42,500	17,500	1	42,500	42,500	1806,25	17,500	17,500	306,250	743,750	
43,500	17,500	1	43,500	43,500	1892,25	17,500	17,500	306,250	751,250	
44,000	19,000	1	44,000	44,000	1996,00	19,000	19,000	361,000	856,000	
46,000	20,000	1	46,000	46,000	2116,00	20,000	20,000	400,000	890,000	
8	18,8			43,6						

SUM SUM SUM UV2M SV SVM SV2M SUVM
42,000 1042,000 1042,000 29925,500 420,750 420,750 5267,563 12434,250

$$N_{10PDM} = f(N_{10PDU}) \quad (2.39)$$

UB VB R H

N X0 H1 Y0 H2
40 0.000 1.000 0.000 1.000

- 82 -

Anexa 2.2c
listing 2.16

Z	X	Y	M	V	VM	V2M	V	VM	V2M	UVN
1	1.602	1.061	1	1.602	1.602	2.57	1.061	1.061	1.125	1.699
1	1.602	1.155	1	1.602	1.602	2.57	1.155	1.155	1.335	1.851
1	1.602	1.163017		1.60206						
1	1.653	1.079	1	1.653	1.653	2.73	1.079	1.079	1.165	1.784
1	1.653	1.204	1	1.653	1.653	2.73	1.204	1.204	1.450	1.991
1	1.672	1.176	1	1.672	1.672	2.80	1.176	1.176	1.383	1.967
2	1.699	1.153131		1.659508						
1	1.699	1.190	1	1.699	1.699	2.89	1.190	1.190	1.417	2.022
1	1.699	1.217	1	1.699	1.699	2.89	1.217	1.217	1.482	2.068
1	1.716	1.161	1	1.716	1.716	2.94	1.161	1.161	1.349	1.993
3	1.740	1.161	1	1.740	1.740	3.03	1.161	1.161	1.349	2.021
1	1.756	1.079	1	1.756	1.756	3.08	1.079	1.079	1.165	1.895
1	1.756	1.332	1	1.756	1.756	3.08	1.332	1.332	1.775	2.340
1	1.756	1.380	1	1.756	1.756	3.08	1.380	1.380	1.905	2.423
4	1.771	1.267	1	1.771	1.771	3.14	1.267	1.267	1.606	2.244
1	1.778	1.362	1	1.778	1.778	3.16	1.362	1.362	1.854	2.421
3	1.799	1.31445		1.774502						
1	1.799	1.290		1.799	1.799	3.24	1.290	1.290	1.514	2.214
1	1.813	1.279		1.813	1.813	3.29	1.279	1.279	1.635	2.318
1	1.820	1.217		1.820	1.820	3.31	1.217	1.217	1.482	2.215
2	1.845	1.241129		1.810599						
1	1.845	1.176		1.845	1.845	3.40	1.176	1.176	1.383	2.170
1	1.845	1.255		1.845	1.845	3.40	1.255	1.255	1.576	2.316
1	1.845	1.312		1.845	1.845	3.40	1.312	1.312	1.721	2.426
7	1.869	1.3176		1.845098						
1	1.869	1.321		1.869	1.869	3.49	1.322	1.322	1.749	2.472
1	1.869	1.331		1.869	1.869	3.43	1.332	1.332	1.775	2.491
1	1.869	1.341		1.869	1.869	3.49	1.342	1.342	1.802	2.509
8	1.886	1.216		1.869232						
1	1.886	1.275		1.886	1.886	3.56	1.279	1.279	1.635	2.412
1	1.886	1.301		1.886	1.886	3.56	1.301	1.301	1.693	2.454
1	1.886	1.312		1.886	1.886	3.56	1.312	1.312	1.721	2.475
1	1.886	1.362		1.886	1.886	3.56	1.362	1.362	1.854	2.569
1	1.892	1.398		1.892	1.892	3.58	1.398	1.398	1.954	2.645
9	1.914	1.303241		1.887612						
1	1.914	1.161		1.914	1.914	3.66	1.161	1.161	1.349	2.223
1	1.914	1.267		1.914	1.914	3.66	1.267	1.267	1.606	2.425
1	1.914	1.332		1.914	1.914	3.66	1.332	1.332	1.775	2.550
1	1.914	1.431		1.914	1.914	3.66	1.431	1.431	2.049	2.739
10	1.924	1.203236		1.913814						
1	1.924	1.217		1.924	1.924	3.70	1.217	1.217	1.482	2.343
1	1.924	1.279		1.924	1.924	3.70	1.279	1.279	1.635	2.461
1	1.924	1.342		1.924	1.924	3.70	1.342	1.342	1.802	2.583
1	1.924	1.362		1.924	1.924	3.70	1.362	1.362	1.854	2.620
11	1.954	1.300097		1.924279						
1	1.954	1.279		1.954	1.954	3.82	1.279	1.279	1.635	2.499
1	1.954	1.301		1.954	1.954	3.82	1.301	1.301	1.693	2.543
1	1.954	1.322		1.954	1.954	3.82	1.322	1.322	1.748	2.584
1	1.954	1.380		1.954	1.954	3.82	1.380	1.380	1.905	2.697
12	1.9620554			1.954243						

SM	SU	SUM	SU2M	SV	SVM	SV2M	SUVM
40.000	73.036	73.036	133.773	50.620	50.620	64.387	92.667

$$\log N_{PDM} = f(\log R_p) \quad (240)$$

N	X0	H1	Y0	H2
40	0,000	1,000	0,000	1,000

- 83 -

Anexo 2
listing 2

	X	Y	Z	U	UM	U2M	V	VM	V2M	UVZ
40,000	11,500	1	40,000	40,000	\$1600,00	11,500	11,500	\$132,250	\$460,000	
40,000	14,300	1	40,000	40,000	\$1600,00	14,300	14,300	\$204,490	\$572,000	
1	12,9		40							
45,000	12,000	1	45,000	45,000	\$2025,00	12,000	12,000	\$144,000	\$540,000	F = 0,956884
45,000	16,000	1	45,000	45,000	\$2025,00	16,000	16,000	\$256,000	\$720,000	SS2X = 229,5256
47,000	15,000	1	47,000	47,000	\$2209,00	15,000	15,000	\$225,000	\$705,000	SS2Y = 14,42421
2	14,33333		45,66667							SX = 15,1501
50,000	15,500	1	50,000	50,000	\$2500,00	15,500	15,500	\$240,250	\$775,000	SY = 3,797921
50,000	16,500	1	50,000	50,000	\$2500,00	16,500	16,500	\$272,250	\$825,000	M = -34,94862
52,000	14,500	1	52,000	52,000	\$2704,00	14,500	14,500	\$210,250	\$754,000	SY = 3,750138
3	15,5		50,66667							T = 1,681806
55,000	14,500	1	55,000	55,000	\$3025,00	14,500	14,500	\$210,250	\$797,500	TT = 0,1124237
57,000	12,000	1	57,000	57,000	\$3249,00	12,000	12,000	\$144,000	\$684,000	
57,000	21,500	1	57,000	57,000	\$3249,00	21,500	21,500	\$452,250	\$1225,500	
57,000	24,000	1	57,000	57,000	\$3249,00	24,000	24,000	\$576,000	\$1368,000	
4	18		56,5							
59,000	18,500	1	59,000	59,000	\$3481,00	18,500	18,500	\$342,250	\$1091,500	
60,000	23,000	1	60,000	60,000	\$3600,00	23,000	23,000	\$529,000	\$1380,000	
5	20,75		59,5							
63,000	17,000	1	63,000	63,000	\$3969,00	17,000	17,000	\$289,000	\$1071,000	
65,000	19,000	1	65,000	65,000	\$4225,00	19,000	19,000	\$361,000	\$1235,000	
65,000	16,500	1	66,000	66,000	\$4356,00	16,500	16,500	\$272,250	\$1069,000	
6	17,5		64,66666							
70,000	15,000	1	70,000	70,000	\$4900,00	15,000	15,000	\$225,000	\$1050,000	
70,000	18,000	1	70,000	70,000	\$4900,00	18,000	18,000	\$324,000	\$1166,000	
70,000	20,500	1	70,000	70,000	\$4900,00	20,500	20,500	\$400,250	\$1405,000	
7	17,83333		70							
74,000	21,000	1	74,000	74,000	\$5476,00	21,000	21,000	\$441,000	\$1554,000	
74,000	21,500	1	74,000	74,000	\$5476,00	21,500	21,500	\$461,250	\$1551,000	
74,000	22,000	1	74,000	74,000	\$5476,00	22,000	22,000	\$481,000	\$1628,000	
8	21,5		74							
77,000	19,000	1	77,000	77,000	\$5929,00	19,000	19,000	\$361,000	\$1463,000	
77,000	20,000	1	77,000	77,000	\$5929,00	20,000	20,000	\$400,000	\$1540,000	
77,000	20,500	1	77,000	77,000	\$5929,00	20,500	20,500	\$420,250	\$1578,500	
77,000	23,000	1	77,000	77,000	\$5929,00	23,000	23,000	\$529,000	\$1771,000	
78,000	25,000	1	78,000	78,000	\$6084,00	25,000	25,000	\$625,000	\$1950,000	
9	21,5		77,2							
82,000	14,500	1	82,000	82,000	\$6724,00	14,500	14,500	\$210,250	\$1189,000	
82,000	18,500	1	82,000	82,000	\$6724,00	18,500	18,500	\$342,250	\$1517,000	
82,000	21,500	1	82,000	82,000	\$6724,00	21,500	21,500	\$462,250	\$1763,000	
82,000	27,000	1	82,000	82,000	\$6724,00	27,000	27,000	\$729,000	\$2214,000	
10	20,375		82							
84,000	16,500	1	84,000	84,000	\$7056,00	16,500	16,500	\$272,250	\$1386,000	
84,000	19,000	1	84,000	84,000	\$7056,00	19,000	19,000	\$351,000	\$1596,000	
84,000	22,000	1	84,000	84,000	\$7056,00	22,000	22,000	\$484,000	\$1848,000	
84,000	23,000	1	84,000	84,000	\$7056,00	23,000	23,000	\$529,000	\$1932,000	
11	20,125		84							
90,000	19,000	1	90,000	90,000	\$8100,00	19,000	19,000	\$361,000	\$1710,000	
90,000	20,000	1	90,000	90,000	\$8100,00	20,000	20,000	\$400,000	\$1890,000	
90,000	21,000	1	90,000	90,000	\$8100,00	21,000	21,000	\$441,000	\$1890,000	
90,000	24,000	1	90,000	90,000	\$8100,00	24,000	24,000	\$576,000	\$2160,000	
12	21		90							

$$N10_{PDM} = f(R_p) \quad (2.41)$$

SM	SU	SUM	SU2M	SV	SVM	SV2M	SUVM
40,000	2750,000	2750,000	\$198014,000	752,800	752,800	\$14730,240	\$53118,000

N X0 H1 Y0 H2
40 0,000 1,000 0,000 1,000

- 84 -

X	Y	M	U	UM	U2M	V	VM	V2M	G1	R _P	Rd PDM
40,000	30,000	1	40,000	40,000	\$1600,00	30,000	30,000	\$900,000	\$1200,000		F = 1/253479
40,000	32,500	1	40,000	40,000	\$1600,00	32,500	32,500	\$1056,250	\$1300,000		SS2 X = 229,5256
1	31,25		40								SS2 Y = 49,5178
45,000	30,500	1	45,000	45,000	\$2025,00	30,500	30,500	\$930,250	\$1372,500		SX = 15,1501
45,000	33,500	1	45,000	45,000	\$2025,00	33,500	33,500	\$1122,250	\$1567,500		SY = 7,030837
47,000	30,000	1	47,000	47,000	\$2209,00	30,000	30,000	\$900,000	\$1410,000		M = 63,61859
2	31,33333		45,66667								SY = 6,948374
50,000	37,000	1	50,000	50,000	\$2500,00	37,000	37,000	\$1369,000	\$1850,000		T = 3,147588
50,000	39,500	1	50,000	50,000	\$2500,00	39,500	39,500	\$1560,250	\$1975,000		TT = 0,2104069
52,000	32,500	1	52,000	52,000	\$2704,00	32,500	32,500	\$1056,250	\$1690,000		
3	36,33333		50,66667								
55,000	32,500	1	55,000	55,000	\$3025,00	32,500	32,500	\$1056,250	\$1787,500		
57,000	30,000	1	57,000	57,000	\$3249,00	30,000	30,000	\$900,000	\$1710,000		
57,000	45,500	1	57,000	57,000	\$3249,00	46,500	46,500	\$1262,250	\$2650,500		
57,000	50,000	1	57,000	57,000	\$3249,00	50,000	50,000	\$2500,000	\$2950,000		
4	39,75		56,5								
59,000	42,000	1	59,000	59,000	\$3481,00	42,000	42,000	\$1764,000	\$2479,000		
60,000	46,000	1	60,000	60,000	\$3600,00	46,000	46,000	\$2116,000	\$2760,000		
5	44		59,5								
63,000	40,000	1	63,000	63,000	\$3969,00	40,000	40,000	\$1800,000	\$1920,000		
55,000	49,000	1	65,000	65,000	\$4225,00	49,000	48,000	\$2304,000	\$3120,000		
55,000	59,000	1	65,000	65,000	\$4356,00	59,000	59,000	\$1521,000	\$1574,000		
6	42,33333		64,66666								
70,000	32,500	1	70,000	70,000	\$4900,00	32,500	32,500	\$1056,250	\$1275,000		
70,000	42,500	1	70,000	70,000	\$4900,00	42,000	42,000	\$1764,000	\$1949,000		
70,000	47,000	1	70,000	70,000	\$4900,00	47,000	47,000	\$2219,000	\$3290,000		
7	40,5		70								
74,000	47,000	1	74,000	74,000	\$5476,00	47,000	47,000	\$2219,000	\$3476,000		
74,000	48,500	1	74,000	74,000	\$5476,00	48,500	48,500	\$2352,125	\$3559,000		
74,000	49,500	1	74,000	74,000	\$5476,00	49,500	49,500	\$2450,125	\$3553,000		
8	48,33333		74								
77,000	41,500	1	77,000	77,000	\$5929,00	41,500	41,500	\$1721,125	\$3195,500		
77,000	43,000	1	77,000	77,000	\$5929,00	43,000	43,000	\$1849,000	\$3311,000		
77,000	45,000	1	77,000	77,000	\$5929,00	45,000	45,000	\$2025,000	\$3465,000		
77,000	49,500	1	77,000	77,000	\$5929,00	49,500	49,500	\$1450,125	\$3511,500		
78,000	51,500	1	78,000	78,000	\$6084,00	51,500	51,500	\$2652,250	\$4017,000		
9	46,1		77,2								
82,000	30,000	1	82,000	82,000	\$6724,00	30,000	30,000	\$500,000	\$2460,000		
82,000	41,500	1	82,000	82,000	\$6724,00	41,500	41,500	\$1722,550	\$2462,000		
82,000	45,000	1	82,000	82,000	\$6724,00	45,000	45,000	\$2025,000	\$3590,000		
82,000	52,000	1	82,000	82,000	\$6724,00	52,000	52,000	\$2704,000	\$4254,000		
10	42,125		82								
84,000	38,500	1	84,000	84,000	\$7056,00	38,500	38,500	\$1482,250	\$3234,000		
84,000	45,000	1	84,000	84,000	\$7056,00	45,000	45,000	\$2025,000	\$3780,000		
84,000	48,000	1	84,000	84,000	\$7056,00	48,000	48,000	\$2304,000	\$4032,000		
84,000	50,000	1	84,000	84,000	\$7056,00	50,000	50,000	\$2509,000	\$4200,000		
11	45,375		84								
90,000	41,000	1	90,000	90,000	\$8100,00	41,000	41,000	\$1681,000	\$3690,000		
90,000	44,000	1	90,000	90,000	\$8100,00	44,000	44,000	\$1936,000	\$3950,000		
90,000	45,000	1	90,000	90,000	\$8100,00	45,000	45,000	\$2025,000	\$4050,000		
90,000	50,000	1	90,000	90,000	\$8100,00	50,000	50,000	\$2500,000	\$4500,000		
12	45		90								

$$Rd_{PDM} = f(R_p) \quad (2.42)$$

SM	SU	SUM	SU2M	SV	SVM	SUVM	SU2M
40,000	2750,000	2750,000	\$196014,000	1666,500	1666,500	\$71361,750	\$117053,000

N X0 H1 Y0 H2 - 35 -
43 0,000 1,000 0,000 1,000

X Y M V UM U2M V VM V2M UVW

3,800	24,500	1	3,800	3,800	14,44	24,500	24,500	\$600,250	93,100	F = 0,3271062
4,400	20,000	1	4,400	4,400	19,36	20,000	20,000	\$400,000	88,000	SS2X = 11,70737
4,400	19,000	1	4,400	4,400	19,36	19,000	19,000	\$361,000	83,600	SS2Y = 49,15726
4,400	19,000	1	4,400	4,400	19,36	19,000	19,000	\$361,000	83,600	SX = 3,421604
4,800	19,500	1	4,800	4,800	23,04	19,500	19,500	\$380,250	93,600	SY = 7,011223
5,200	22,500	1	5,200	5,200	27,04	22,500	22,500	\$506,250	\$117,000	M = 21,63437
1	20,75				4,5					SY = 6,929216
6,000	19,500	1	6,000	6,000	36,00	19,500	19,500	\$380,250	\$117,000	T = 1,627285
6,000	22,000	1	6,000	6,000	36,00	22,000	22,000	\$484,000	\$132,000	TT = 0,4812198
6,000	27,000	1	6,000	6,000	36,00	27,000	27,000	\$729,000	\$162,000	
6,500	21,000	1	6,500	6,500	42,25	21,000	21,000	\$441,000	\$136,500	
7,000	25,000	1	7,000	7,000	49,00	25,000	25,000	\$625,000	\$175,000	
7,000	31,500	1	7,000	7,000	49,00	31,500	31,500	\$992,250	\$220,500	
7,600	27,500	1	7,600	7,600	57,76	27,500	27,500	\$756,250	\$209,000	
7,800	24,500	1	7,800	7,800	60,84	24,500	24,500	\$600,250	\$191,100	
2	24,75				6,7375					
8,000	22,000	1	8,000	8,000	64,00	22,000	22,000	\$484,000	\$176,000	
8,200	30,000	1	8,200	8,200	67,24	30,000	30,000	\$900,000	\$245,000	
8,500	25,000	1	8,500	8,500	73,96	25,000	25,000	\$625,000	\$175,000	
8,600	27,000	1	8,600	8,600	73,96	27,000	27,000	\$729,000	\$232,200	
9,100	32,000	1	9,100	9,100	82,81	32,000	32,000	\$1024,000	\$231,200	
9,200	38,000	1	9,200	9,200	84,64	38,000	38,000	\$900,000	\$275,000	
9,500	27,000	1	9,500	9,500	92,16	27,000	27,000	\$729,000	\$255,200	
9,600	14,000	1	9,600	9,600	92,16	34,000	34,000	\$1155,000	\$325,400	
3	28,375				8,652581					
10,000	23,000	1	10,000	10,000	100,00	23,000	23,000	\$529,000	\$210,000	
10,200	23,500	1	10,200	10,200	104,04	29,500	29,500	\$870,250	\$310,000	
10,400	32,000	1	10,400	10,400	108,16	32,000	32,000	\$1024,000	\$332,600	
10,400	38,500	1	10,400	10,400	108,16	38,500	38,500	\$1122,250	\$348,400	
11,100	33,500	1	11,100	11,100	123,21	38,500	38,500	\$1122,250	\$371,850	
11,400	30,000	1	11,400	11,400	129,96	30,000	30,000	\$900,000	\$341,000	
11,400	35,000	1	11,400	11,400	129,96	35,000	35,000	\$1225,000	\$399,000	
4	30,92857				10,7					
12,000	28,500	1	12,000	12,000	144,00	28,500	28,500	\$812,250	\$342,000	
12,000	33,000	1	12,000	12,000	144,00	33,000	33,000	\$1089,000	\$396,000	
12,000	35,500	1	12,000	12,000	144,00	35,500	35,500	\$1260,250	\$426,000	
12,400	33,000	1	12,400	12,400	153,76	39,000	39,000	\$1521,000	\$493,600	
13,000	33,000	1	13,000	13,000	169,00	33,000	33,000	\$1089,000	\$429,000	
13,000	34,000	1	13,000	13,000	169,00	34,000	34,000	\$1156,000	\$442,000	
13,000	37,000	1	13,000	13,000	169,00	37,000	37,000	\$1369,000	\$481,000	
13,000	40,000	1	13,000	13,000	169,00	40,000	40,000	\$1600,000	\$520,000	
5	35				12,55					
14,000	39,000	1	14,000	14,000	196,00	39,000	39,000	\$1521,000	\$546,000	
14,200	37,500	1	14,200	14,200	201,64	37,500	37,500	\$1406,250	\$532,500	
15,000	37,500	1	15,000	15,000	225,00	37,500	37,500	\$1406,250	\$562,500	
6	38				14,4					
15,100	43,500	1	15,100	15,100	228,01	43,500	43,500	\$1992,250	\$556,850	
15,600	40,000	1	15,600	15,600	243,36	40,000	40,000	\$1600,000	\$524,000	
16,000	44,000	1	16,000	16,000	256,00	44,000	44,000	\$1936,000	\$704,000	
7	42,5				15,55667					

$$N_{10PDU} = f(N_{10PDM}) \quad (2.43)$$

SM SU SUM SU2M SV SVM SV2M SVW
43,000 417,000 417,000 4535,641 1287,500 1287,500 \$40614,750 \$10394,400

N X0 H1 Y0 H2 - 36 -
43 0,000 1,000 0,000 1,000

X	Y	M	V	UM	U2M	V	VM	V2M	UVW	
19,000	4,400	1	19,000	19,000	361,00	4,400	4,400	19,360	83,600	$F = 0,1035938$
19,000	4,400	1	19,000	19,000	361,00	4,400	4,400	19,360	83,600	$SS2X = 49,34469$
19,500	4,800	1	19,500	19,500	380,25	-4,800	4,800	23,040	93,600	$SS2Y = 11,81551$
19,500	6,000	1	19,500	19,500	380,25	6,000	6,000	36,000	\$117,000	$SX = 7,024578$
20,000	4,000	1	20,000	20,000	400,00	4,000	4,000	16,000	90,000	$SY = 3,437371$
21,000	6,400	1	21,000	21,000	441,00	6,400	6,400	40,960	\$134,400	$M = 21,758$
22,000	6,000	1	22,000	22,000	484,00	6,000	6,000	36,000	\$132,000	
22,000	8,000	1	22,000	22,000	484,00	8,000	8,000	64,000	\$176,000	
1	5,5			20,25						$SY = 3,397166$
22,500	5,200	1	22,500	22,500	505,25	5,200	5,200	27,040	\$117,000	$T = 0,8005842$
23,000	10,000	1	23,000	23,000	529,00	10,000	10,000	\$100,000	\$230,000	$TT = 0,1153178$
24,500	3,800	1	24,500	24,500	600,25	3,800	3,800	14,440	93,100	
24,500	7,800	1	24,500	24,500	600,25	7,800	7,800	60,840	\$191,100	
25,000	7,000	1	25,000	25,000	625,00	7,000	7,000	49,000	\$175,000	
25,000	8,700	1	25,000	25,000	625,00	8,700	8,700	75,690	\$217,500	
2	7,083334			24,08333						
27,000	6,000	1	27,000	27,000	729,00	6,000	6,000	36,000	\$162,000	
27,000	9,700	1	27,000	27,000	729,00	9,700	9,700	94,090	\$261,900	
27,500	7,500	1	27,500	27,500	756,25	7,500	7,500	57,750	\$209,000	
28,000	8,600	1	28,000	28,000	784,00	8,600	8,600	73,960	\$240,800	
28,500	12,000	1	28,500	28,500	812,25	12,000	12,000	12,000	\$144,000	\$342,000
29,500	10,200	1	29,500	29,500	870,25	10,200	10,200	\$104,040	\$300,900	
30,000	8,000	1	30,000	30,000	900,00	8,000	8,000	64,000	\$240,000	
30,000	9,200	1	30,000	30,000	900,00	9,200	9,200	84,640	\$276,000	
30,000	11,400	1	30,000	30,000	900,00	11,400	11,400	\$129,960	\$342,000	
3	9,188889			29,61111						
31,000	7,000	1	31,000	31,000	961,00	7,000	7,000	49,000	\$117,000	
32,000	9,100	1	32,000	32,000	\$1024,00	9,100	9,100	\$21,810	\$291,290	
32,000	10,500	1	32,000	32,000	\$1024,00	10,500	10,500	\$116,120	\$395,000	
33,000	12,000	1	33,000	33,000	\$1089,00	12,000	12,000	\$144,000	\$396,000	
33,000	13,000	1	33,000	33,000	\$1089,00	13,000	13,000	\$169,000	\$415,000	
4	10,32			32,2						
33,500	11,100	1	33,500	33,500	\$1122,25	11,100	11,100	\$123,210	\$371,850	
34,000	9,600	1	34,000	34,000	\$1156,00	9,600	9,600	92,160	\$326,400	
34,000	10,400	1	34,000	34,000	\$1156,00	10,400	10,400	\$108,160	\$353,600	
34,000	13,000	1	34,000	34,000	\$1156,00	13,000	13,000	\$169,000	\$442,000	
35,000	11,400	1	35,300	35,300	\$1225,00	11,400	11,400	\$129,960	\$399,000	
35,500	12,000	1	35,500	35,500	\$1260,25	12,000	12,000	\$144,000	\$426,000	
37,000	13,000	1	37,000	37,000	\$1369,00	13,000	13,000	\$159,000	\$481,000	
37,500	14,200	1	37,500	37,500	\$1406,25	14,200	14,200	\$201,640	\$532,500	
37,500	15,000	1	37,500	37,500	\$1406,25	15,000	15,000	\$225,000	\$552,500	
5	12,188889			35,33333						
39,000	12,400	1	39,000	39,000	\$1521,00	12,400	12,400	\$153,760	\$483,600	
39,000	14,000	1	39,000	39,000	\$1521,00	14,000	14,000	\$196,000	\$546,000	
40,000	15,600	1	40,000	40,000	\$1600,00	15,600	15,600	\$243,360	\$624,000	
40,500	13,000	1	40,500	40,500	\$1640,25	13,000	13,000	\$169,000	\$526,500	
42,500	15,000	1	43,500	43,500	\$1892,25	15,000	15,000	\$225,000	\$652,500	
44,000	16,000	1	44,000	44,000	\$1936,00	16,000	16,000	\$256,000	\$704,000	
6	14,33333			41						

$$N_{10PDM} = f(N_{10PDU}) \quad (2.44)$$

SM	SU	SUM	SU2M	SV	SVM	SU2M	SUVM
43,000	1289,000	1289,000	\$40712,500	416,500	416,500	4530,491	\$1399,150

UB	VB	R	H
29,977	9,686	0,301	5,840

$$N_{10PDU} = f(N_{10PDM}) \quad (2.45)$$

$$TT = 0,7740685$$

N X0 H1 Y0 H2
33 0,000 1,000 0,000 1,000

- 38 -

Anexa 2.J
listing 2.2

X	Y	M	U	UM	U2M	V	VM	V2M	UVB
2,500	1,000	1	2,500	2,500	6,25	1,000	1,000	1,000	2,500
6,500	2,600	1	6,500	6,500	42,25	-2,600	2,600	6,750	16,300
9,000	2,000	1	9,000	9,000	81,00	2,000	2,000	4,000	18,000
1	1,866667	6							
11,500	4,800	1	11,500	11,500	132,25	4,800	4,800	23,040	55,200
13,000	4,200	1	13,000	13,000	169,00	4,200	4,200	17,640	54,600
14,000	3,000	1	14,000	14,000	196,00	3,000	3,000	9,000	42,000
14,000	6,000	1	14,000	14,000	196,00	6,000	6,000	36,000	84,000
15,000	3,000	1	15,000	15,000	225,00	3,000	3,000	9,000	45,000
15,000	6,600	1	15,000	15,000	225,00	6,600	6,600	43,560	99,000
2	4,6		13,75						
16,000	5,000	1	16,000	16,000	256,00	5,000	5,000	25,000	80,000
17,000	5,600	1	17,000	17,000	289,00	5,600	5,600	31,360	95,200
18,000	3,600	1	18,000	18,000	324,00	3,600	3,600	12,960	64,800
18,000	8,000	1	18,000	18,000	324,00	8,000	8,000	64,000	144,000
19,000	7,000	1	19,000	19,000	361,00	7,000	7,000	49,000	133,000
3	5,84		17,6						
20,000	6,600	1	20,000	20,000	400,00	6,600	6,600	43,560	132,000
20,000	7,800	1	20,000	20,000	400,00	7,800	7,800	60,840	156,000
21,000	6,000	1	21,000	21,000	441,00	6,000	6,000	36,000	126,000
21,000	8,400	1	21,000	21,000	441,00	8,400	8,400	70,560	176,400
21,000	9,000	1	21,000	21,000	441,00	9,000	9,000	81,000	189,000
21,500	10,000	1	21,500	21,500	462,25	10,000	10,000	108,000	215,000
22,000	6,300	1	22,000	22,000	484,00	6,300	6,300	39,690	138,500
23,000	6,500	1	23,000	23,000	529,00	6,500	6,500	42,250	143,500
23,000	9,000	1	23,000	23,000	529,00	9,000	9,000	81,000	227,000
4	7,700004		21,3289						
24,500	8,000	1	24,500	24,500	600,25	8,000	8,000	64,000	156,000
25,000	6,500	1	25,000	25,000	625,00	6,500	6,500	39,690	157,500
25,000	10,500	1	25,000	25,000	625,00	10,500	10,500	4112,360	265,000
25,500	9,000	1	25,500	25,500	650,25	9,000	9,000	81,000	229,500
27,000	7,200	1	27,000	27,000	729,00	7,200	7,200	51,840	194,400
27,500	10,000	1	27,500	27,500	756,25	10,000	10,000	100,000	275,000
27,500	11,000	1	27,500	27,500	756,25	11,000	11,000	121,000	302,500
5	8,871428		26						
29,000	10,000	1	29,000	29,000	841,00	10,000	10,000	100,000	290,000
29,000	10,000	1	29,000	29,000	841,00	10,000	10,000	100,000	290,000
31,000	11,200	1	31,000	31,000	961,00	11,200	11,200	125,440	347,200
6	10,4		29,56667						

SM SU SUM SU2M SV SVM SV2M SUVM
33,000 652,000 652,000 \$14039,000 225,300 225,300 1782,550 4970,300

UB VB R H
19,758 6,827 0,970 4,924

. XB YB BYX BXY
19,758 6,827 0,956 2,126
F= 0,1933849
SS2X= 45,53315
SS2Y= 7,63642
SX= 6,747826
SY= 2,763407
M= 16,23183
SY*= 2,721215
T = 0,8371578
TT = 0,1259869

$$N_{10PDM} = f(N_{10PDU}) \quad (2.46)$$

N	X0	H1	Y0	H2						
41	0,000	1,000	0,000	1,000						
X	Y	M	U	UM	U2M	V*	VM	V2M	UVW	
6,000	4,500	1	6,000	6,000	36,00	4,500	4,500	20,250	27,000	F = 0,6788331
6,000	6,000	1	6,000	6,000	36,00	6,000	6,000	36,000	36,000	SS2X = 765,1248
9,000	7,000	1	9,000	9,000	81,00	7,000	7,000	49,000	63,000	SS2Y = 22,85923
1	5,833333	7								SX = 27,6609
11,000	4,500	1	11,000	11,000	121,00	4,500	4,500	20,250	49,500	SY = 4,781133
12,000	5,500	1	12,000	12,000	144,00	5,500	5,500	30,250	66,000	M = 115,9974
13,000	4,500	1	13,000	13,000	169,00	4,500	4,500	20,250	58,500	SY = 4,722467
13,000	6,000	1	13,000	13,000	169,00	6,000	6,000	36,000	78,000	T = 1,263945
2	5,125		12,25							TT = 4,626192E-02
14,000	4,000	1	14,000	14,000	196,00	4,000	4,000	16,000	56,000	
14,000	4,250	1	14,000	14,000	196,00	4,250	4,250	18,063	59,500	
14,500	5,000	1	14,500	14,500	210,25	5,000	5,000	25,000	72,500	
14,500	8,500	1	14,500	14,500	210,25	8,500	8,500	72,250	1123,250	
14,500	10,000	1	14,500	14,500	210,25	10,000	10,000	100,000	1145,000	
16,000	4,000	1	16,000	16,000	256,00	4,000	4,000	16,000	64,000	
3	5,958333		14,58333							
18,000	11,250	1	18,000	18,000	324,00	11,250	11,250	126,563	202,500	
18,000	11,750	1	18,000	18,000	324,00	11,750	11,750	138,063	211,500	
20,000	6,000	1	20,000	20,000	400,00	6,000	6,000	36,000	120,000	
22,000	6,000	1	22,000	22,000	484,00	6,000	6,000	36,000	132,000	
23,000	6,750	1	23,000	23,000	529,00	6,750	6,750	45,563	155,250	
4	8,35		20,2							
28,000	10,000	1	28,000	28,000	784,00	10,000	10,000	100,000	1280,000	
30,000	5,000	1	30,000	30,000	900,00	5,000	5,000	25,000	150,000	
31,000	7,500	1	31,000	31,000	961,00	7,500	7,500	55,250	1230,500	
35,000	8,500	1	35,000	35,000	1215,00	8,500	8,500	72,150	1197,500	
5	7,75		31							
49,000	7,000	1	49,000	49,000	1600,00	7,000	7,000	49,000	1300,000	
49,000	10,000	1	49,000	49,000	1600,00	10,000	10,000	100,000	1400,000	
6	8,5		40							
50,000	10,000	1	50,000	50,000	2500,00	10,000	10,000	100,000	500,000	
50,000	11,250	1	50,000	50,000	2500,00	11,250	11,250	126,563	562,500	
50,000	12,500	1	50,000	50,000	2500,00	12,500	12,500	156,250	525,000	
7	11,25		50							
55,000	7,000	1	55,000	55,000	3025,00	7,000	7,000	49,000	1385,000	
55,000	13,500	1	55,000	55,000	3025,00	13,500	13,500	182,250	742,500	
55,000	14,500	1	55,000	55,000	3025,00	14,500	14,500	210,250	797,500	
57,000	12,000	1	57,000	57,000	3249,00	12,000	12,000	144,000	584,000	
8	11,75		55,5							
63,000	15,500	1	63,000	63,000	3969,00	15,500	15,500	240,250	976,500	
67,000	14,000	1	67,000	67,000	4489,00	14,000	14,000	196,000	938,000	
9	14,75		65							
70,000	16,250	1	70,000	70,000	4900,00	16,250	16,250	264,063	1137,500	
75,000	13,500	1	75,000	75,000	5625,00	13,500	13,500	182,250	1012,500	
77,000	18,500	1	77,000	77,000	5929,00	18,500	18,500	342,250	1424,500	
10	16,08333	74								
85,000	17,000	1	85,000	85,000	7225,00	17,000	17,000	289,000	1445,000	
90,000	13,000	1	90,000	90,000	8100,00	13,000	13,000	169,000	1170,000	
90,000	17,000	1	90,000	90,000	8100,00	17,000	17,000	289,000	1530,000	
90,000	20,000	1	90,000	90,000	8100,00	20,000	20,000	400,000	1800,000	
90,000	20,500	1	90,000	90,000	8100,00	20,500	20,500	420,250	1645,000	
11	17,5		89							

$$R_p = f(N_{10 \text{ PDM}}) \quad (2.47)$$

SM	SU	SUM	SU2M	SV	SVM	SU2M	SUVM
41,000	1631,500	1631,500	95526,750	409,500	409,500	5004,375	20935,000

N X0 H1 Y0 H2
41 0,000 1,000 0,000 1,000

- 90 -

Anexo 2.3
listing 2.2

X	Y	M	U	UM	U2M	V	VM	V2M	UVW
6,000	12,000	1	6,000	6,000	36,00	12,000	12,000	\$144,000	72,000
6,000	15,000	1	6,000	6,000	36,00	15,000	15,000	\$225,000	90,000
9,000	19,000	1	9,000	9,000	81,00	19,000	19,000	\$361,000	\$171,000
1	15,33333								
11,000	13,500	1	11,000	11,000	121,00	13,500	13,500	\$182,250	\$148,500
12,000	14,000	1	12,000	12,000	144,00	14,000	14,000	\$196,000	\$168,000
13,000	18,500	1	13,000	13,000	169,00	18,500	18,500	\$342,250	\$240,500
13,000	22,000	1	13,000	13,000	169,00	22,000	22,000	\$484,000	\$286,000
2	17				12,25				
14,000	16,500	1	14,000	14,000	196,00	16,500	16,500	\$272,250	\$231,000
14,000	17,500	1	14,000	14,000	196,00	17,500	17,500	\$306,250	\$245,000
14,500	13,500	1	14,500	14,500	210,25	13,500	13,500	\$182,250	\$195,750
14,500	16,000	1	14,500	14,500	210,25	16,000	16,000	\$256,000	\$232,000
14,500	18,500	1	14,500	14,500	210,25	18,500	18,500	\$342,250	\$268,250
16,000	29,500	1	16,000	16,000	256,00	29,500	29,500	\$870,250	\$472,000
3	18,58333			14,58333					
18,000	30,000	1	18,000	18,000	324,00	30,000	30,000	\$300,000	\$540,000
18,000	32,000	1	18,000	18,000	324,00	32,000	32,000	\$1024,000	\$576,000
20,000	18,500	1	20,000	20,000	400,00	18,500	18,500	\$342,250	\$370,000
22,000	18,000	1	22,000	22,000	484,00	18,000	18,000	\$324,000	\$396,000
23,000	26,000	1	23,000	23,000	529,00	26,000	26,000	\$676,000	\$598,000
4	24,9			20,2					
28,000	49,000	1	28,000	28,000	784,00	49,000	49,000	\$1600,000	\$1120,000
30,000	18,500	1	30,000	30,000	900,00	18,500	18,500	\$342,250	\$555,000
31,000	27,000	1	31,000	31,000	961,00	27,000	27,000	\$729,000	\$837,000
35,000	25,000	1	35,000	35,000	\$1225,00	25,000	25,000	\$225,000	\$875,000
5	27,625			31					
40,000	29,000	1	40,000	40,000	\$1600,00	29,000	29,000	\$841,000	\$1160,000
40,000	40,000	1	40,000	40,000	\$1600,00	40,000	40,000	\$1600,000	\$1600,000
6	34,5			40					
50,000	38,000	1	50,000	50,000	\$2500,00	38,000	38,000	\$1444,000	\$1900,000
50,000	40,000	1	50,000	50,000	\$2500,00	40,000	40,000	\$1600,000	\$2000,000
50,000	43,000	1	50,000	50,000	\$2500,00	43,000	43,000	\$1845,000	\$2150,000
7	40,33333			50					
55,000	20,000	1	55,000	55,000	\$3025,00	20,000	20,000	\$400,000	\$1100,000
55,000	48,500	1	55,000	55,000	\$3025,00	48,500	48,500	\$2352,250	\$2657,500
55,000	52,000	1	55,000	55,000	\$3025,00	52,000	52,000	\$2784,000	\$3860,000
57,000	48,000	1	57,000	57,000	\$3249,00	48,000	48,000	\$2304,000	\$2796,000
8	42,125			55,5					
63,000	51,000	1	63,000	63,000	\$3969,00	51,000	51,000	\$2601,000	\$3213,000
67,000	50,000	1	67,000	67,000	\$4489,00	50,000	50,000	\$2500,000	\$3350,000
9	50,5			65					
70,000	51,000	1	70,000	70,000	\$4900,00	51,000	51,000	\$2601,000	\$3570,000
75,000	50,000	1	75,000	75,000	\$5625,00	50,000	50,000	\$2500,000	\$3750,000
77,000	52,000	1	77,000	77,000	\$5929,00	52,000	52,000	\$2704,000	\$4004,000
10	51			74					
85,000	42,500	1	85,000	85,000	\$7225,00	42,500	42,500	\$1806,250	\$3612,500
90,000	45,000	1	90,000	90,000	\$8100,00	45,000	45,000	\$2025,000	\$4050,000
90,000	53,000	1	90,000	90,000	\$8100,00	53,000	53,000	\$2309,000	\$4770,000
90,000	55,000	1	90,000	90,000	\$8100,00	55,000	55,000	\$3025,000	\$4950,000
90,000	59,500	1	90,000	90,000	\$8100,00	59,500	59,500	\$3540,250	\$5355,000

11 51 89

SM	SU	SUM	SU2M	SV	SVM	SVM	SUV	SUVW
41,000	1631,500	1631,500	\$95526,750	1328,000	1328,000	\$51982,000	\$67465,000	

$$Rd_{PDM} = f(Rp) \quad (2.48)$$